

საქართველოს ფედერაციული უნივერსიტეტის

პიდრომეტეროლოგიის ინსტიტუტი

შ0ფრ0 № IHM-13-12- GTU-2429

“ვამტკიცებ”

პიდრომეტეროლოგიის ინსტიტუტის
დირექტორი

გ.მ.დ. თ. ცინცაძე

25 დეკემბერი 2013 წ.

წყალდიდობაზე მთის მდინარეებზე და მათი

პროგნოზირება ინფორმაციის უპარისობის პირობებში

წყლის რესურსებისა და
პიდროლოგიური პროგნოზების
განყოფილების უფროსი,
ფ.მ.დ.

6. ბეგალიშვილი

თემის ხელმძღვანელი და
პასუხისმგებელი შემსრულებელი,
მთავარი მეცნიერ თანამშრომელი,
გ.მ.დ.

ც. ბასილაშვილი

თბილისი
2013

შემსრულებელთა სია

თემის ხელმძღვანელი და
პასუხისმგებელი შემსრულებელი,
მთავარი მეცნიერ თანამშრომელი
გ.მ.დ.

ცისანა ბასილაშვილი

მთავარი მეცნიერ თანამშრომელი
ტ.მ.დ.

გურამ გრიგოლია

უფროსი მეცნიერ თანამშრომელი
გ.მ.ა.დ.

სოფიო გორგიჯანიძე

დირექტორის მოადგილე

გივი ფიფია

რ ე ც ე რ ა ტ 0

ანგარიში შედგება

ტექსტი 78 გვ., 6 ნახ., 12 ცხრ.

მდინარეთა წყალდიდობების წყლის ხარჯების მახასიათებლები,
ცვალებადობის ტენდენციები, წყალდიდობების საშუალო და მაქსიმალური
ხარჯების საპროგნოზო მეთოდიკები და უსაფრთხოების ოეკომენდაციები

ქრონოლოგიურად აღწერილია საქართველოს მდინარეებზე გავლილი
კატასტროფული წყალდიდობები და მათგან მიყენებული ზარალი.
დაზუსტებულია მთავარ მდინარეთა წყალდიდობებისა და მაქსიმალური
ხარჯების მახასიათებლები. მიღებულია მარტივი ფორმულები შეუსწავლელ
მდინარეთა წყალდიდობების ჩამონადენის განსაზღვრისათვის. ყველა ამ
მონაცემებს აქვთ პრაქტიკული დანიშნულება საპროექტო და სამეცნიერო
ორგანიზაციებში წყალსამეურნეო გაანგარიშებებისათვის.

გამოვლენილია წყალდიდობების განვითარების ტენდენციები და
მიღებულია მათი ტრენდები.

მთავარ მდინარეთა სამეურნეო დანიშნულების ჰიდროკვეთებისათვის
შემუშავებულია წყალდიდობების საშუალო და მაქსიმალური წყლის ხარჯების
გრძელვადიანი საპროგნოზო მეთოდიკები არსებული სადამკირგებლო
ინფორმაციის უკმარისობის პირობებში. მათ მიხედვით შედგენილი ოპერატორიული
პროგნოზების საფუძველზე შეიძლება ყოველწლიურად შედგეს წყლის
რესურსების რაციონალურად ხარჯვის გეგმები, წყალსაცავების დაცლა –
შევსების დისპეტჩერული გრაფიკები და სხვა გაანგარიშებები. გარდა ამისა,
პროგნოზები აუცილებელია მოსალოდნელი მაღალი წყალდიდობის დროს
პრევენციული დონისძიებების დროულად ჩატარებისათვის, რისთვისაც
შედგენილია სათანადო ოეკომენდაციები.

მიღებული პროგნოზები უზრუნველყოფს ელექტროენერგიის, წყალ-
მომარაგებისა და სასოფლო-სამეურნეო კულტურების მოსავლიანობის გაზრდას
და წყალდიდობებისაგან მიყენებული ზარალის შემცირებას, რაც ქვეყანას
მისცემს დიდ ეკონომიკურ ეფექტს.

შ 0 6 ა ა რ ს 0

| | |
|---|--------------|
| შესავალი | 5 |
| თავი I. მყალდიდობების პატასტროზული გამოვლინებები | 8-20 |
| 1. კატასტროფული წყალდიდობები დასავლეთ საქართველოში . | 8 |
| 2. კატასტროფები აღმოსავლეთ საქართველოს მდინარეებზე . | 13 |
| თავი II. საქართველოს მდინარეთა მყალდიდობების დახასიათება | 21-32 |
| 2.1. მდინარეთა წყალდიდობების ფორმირება | 21 |
| 2.2. წყალდიდობების მთავარი მახასიათებლები | 26 |
| თავი III. მდინარეთა მყალდიდობების მყლის ხარჯების დინამიკა | |
| და მათი განვითარების მასშტაბები | 33-45 |
| 3.1. მდინარეთა მაქსიმალური ხარჯების სივრცულ-დროითი ცვლილების ტენდენციები | 33 |
| 3.2. უდიდესი მაქსიმალური ხარჯების განვითარების მასშტაბები . | 39 |
| თავი IV. საპოვნო მეთოდოლოგია ინფორმაციის | |
| უპარისობის პირობები | 46-54 |
| 4.1. მთის მდინარეთა ჩამონადენის პროგნოზირების თავისებურებანი | 46 |
| 4.2 საპროგნოზო მეთოდოლოგიის აღწერა | 50 |
| თავი V. საქართველოს მდინარეთა მყალდიდობების ჩამონადენის | |
| გრძელვადიანი პროგნოზირება | 55-65 |
| 5.1 წყალდიდობების საშუალო ჩამონადენის პროგნოზირება . | 55 |
| 5.2 წყალდიდობების მაქსიმალური ხარჯების პროგნოზირება . | 60 |
| თავი VI. რმავენდაციები მდინარეთა მყალდიდობების | |
| უსაფრთხოებისათვის | 66-71 |
| დასპენები | 72-74 |
| ლიტერატურა | 75-78 |

შ მ ს ა ვ ა ლ ი

დედამიწაზე კლიმატის გლობალური დათბობის, ასევე ბუნების ანთროპოგენური დატვირთვის შედეგად, მოსალოდნელია კატასტროფული მოვლენების გამომწვევი ფაქტორების მკვეთრი ცვლილება, რაც ზეგავლენას მოახდენს ამ მოვლენების მასშტაბებსა და სიხშირეზე. შესაბამისად ზარალის შესამცირებლად საჭირო საიმედო ღონისძიებების ოპტიმალურად დაგეგმვასა და ლირებულებაზე. ამდენად მოსალოდნელი ცვლილებების სივრცულ – დროითი პროგნოზისა და საშიშროების შემცირების რეკომენდაციების პრობლემა მეტად აქტიალურია.

მდინარეთა ჩამონადენი, როგორც მეტად ხელმისაწვდომი და განახლების უნარის მქონე მტკნარი წყლის რესურსი, ფართოდ გამოიყენება მეურნეობის თითქმის ყველა დარგში. ამის გამო საზოგადოებისა და ქვეყნის სოციალურ – ეკონომიკური განვითარება ბევრად არის დამოკიდებული წყლის რესურსების მართვის ეფექტურობაზე.

საქართველო, მიუხედავად მისი მცირე ფართობისა, წარმოადგენს საკმარისად მსხვილ წყალსამეურნეო და პიდროენერგეტიკულ რეგიონს. აქ აშენებულია მრავალი პიდროკვანძი, ელექტროსადგური, სარწყავი და წყალმომარაგების სისტემები. მაგრამ მათი წყლით უზრუნველყოფა და სწორი ექსპლუატაცია დაკავშირებულია მდინარეთა ჩამონადენის ფართო რეგულირებასთან, რაც საკმაოდ რთულია, რადგან აქ მდინარეთა ჩამონადენი არათანაბრადაა განაწილებული დროსა და სივრცეში. ხშირად წყალმოთხოვნა არ ეთანხმება წყალუზრუნველყოფას და წარმოიქმნება მწვავე დეფიციტური სიტუაციები. გარდა ამისა, ბოლო ორი ათეული წლის განმავლობაში იმატა კატასტროფულმა წყალდიდობა – წყალმოვარდნებმა, რომელთაც მოსახლეობას და ქვეყნის ეკონომიკას დიდი ზარალი მიაყენეს.

წყალდიდობები მდინარეებზე ყოველ წელს აღირიცხება, მაგრამ ისინი ყოველთვის არ არიან დამანგრეველები, პირიქით მათ დიდი სარგებელიც მოაქვთ, რადგან სწორედ მათი წყლის ჩამონადენით ივსება საქართველოში არსებული 44 წყალსაცავი, რომელთა ბაზაზე მუშაობენ ენერგეტიკული და საირიგაციო სისტემები. წყალდიდობების რესურსების ხარჯზე ხდება ელექტროენერგიის გამომუშავება, მოსავლიანობის გაზრდა და მოსახლეობისა და საწარმო – სამურნეო ობიექტების წყალმომარაგება.

ამრიგად წყალდიდობებს მოაქვთ როგორც დიდი ზიანი, ასევე დიდი სარგებელიც. წყალდიდობების წყლის რეგულირებისა და მათი ნებატიური შედეგების თავიდან აცილების მიზნით საჭიროა მათი ჩამონადენისა და მაქსიმალური ხარჯების მახასიათებლების სწორად გაანგარიშება და მათი ყოველწლიური მნიშვნელობების პროგნოზირება. აქედან გამომდინარე, პრაქტიკული დანიშნულების თვალსაზრისით განსაკუთრებული მნიშვნელობა ენიჭება პიდროლოგიურ პროგნოზს, რომლის მომხმარებელს წარმოადგენს ენერგეტიკა, სოფლის მეურნეობა, წყალმომარაგება, სარკინიგზო და სავტომობილო გზები.

პროგნოზირება ასევე აქტუალურია მიმდინარე გლობალური დათბობისა და გაუდაბნოების პირობებში, როდესაც იზრდება გარემოს დაჭუჭყიანება და მცირდება სუფთა წყლის მარაგი. ამიტომ საჭიროა წყლის რესურსების მოხმარების მკაცრი კონტროლი, წყალსამეურნეო სისტემების რაციონალური მართვა და წყლის ხარჯვის ოპტიმალური დაგეგმვა მისი მომავალი ოდენობის გათვალისწინებით. ამრიგად საქართველოს მდინარეთა ჩამონადენის საპროგნოზო მეთოდების დამუშავება არის მნიშვნელოვანი სამეცნიერო პრობლემა, რომლის გადაწყვეტასაც დიდი ეკონომიკური და სოციალური ეფექტის მოტანა შეუძლია.

ადსანიშნავია, რომ პიდროლოგიაში მთის მდინარეთა ჩამონადენის პროგნოზირება ითვლება ყველაზე რთულ პრობლემად. განსაკუთრებით რთულია საქართველოს მდინარეთა პროგნოზირება, რადგან აქ ცალკეული მდინარის აუზში ჩამონადენის მაფორმირებელი ფაქტორების ცვალებადობა სხვადასხვა ხასიათს ატარებს, როგორც დროში, ისე სივრცეში. ამიტომ მდინარეთა წყალდიდობები და მათი პიკები არ არის იდენტური და ხასიათდება გარკვეული ინდივიდუალურობით. გარდა ამისა მდინარეთა აუზებში არ არის ინფორმაციული სადამკვირვებლო ქსელი, რომელთა მონაცემების საფუძველზე შესაძლებელი იქნება იმ კანონზომირებათა დადგენა, რომლებიც საჭიროა თანამედროვე მათემატიკური საპროგნოზო მოდელების გამოყენებისათვის.

ვინაიდან გასული საუკუნის 90-იანი წლებიდან საქართველოს მდინარეებზე აღარ ხდება მდინარეთა წყლიანობის აღრიცხვა და აღარ იზომება მდინარეთა წყლის ხარჯები, ამიტომ წყალდიდობის პერიოდის ჩამონადენისა და მაქსიმალური ხარჯების მახასიათებლების, აგრეთვე მათი პროგნოზებისათვის გამოყენებულ იქნა პიდრომეტეოროლოგიურ ფაქტორებზე 1990 წლამდე არსებული სადამკვირვებლო ქსელის სტანდარტულ დაკვირვებათა

მრავალწლიური მონაცემები 40-60 წლიანი რიგებით: მდინარეთა წყლის ხარჯებისა, ატმოსფერული ნალექებისა, ჰაერის ტემპერატურისა და თოვლის საფარისა. საკვლევ ობიექტებად შერჩეულ იქნა პიდროკვეთები მდინარეებზე, რომელთა პიდრორესურსები ფართოდ გამოიყენება ენერგეტიკაში და ირიგაციაში.

ყველა სახის გაანგარიშებებისა და საპროგნოზო მეთოდიკების შესადგენად გამოყენებულ იქნა ავტორის მიერ შემუშავებული მრავალფაქტორიანი სტატისტიკური საპროგნოზო მოდელი შესაბამისი ალგორითმებითა და კომპიუტერული პროგრამებით.

თავი I. წყალდიდობების პატასტროფული გამოვლინებები

1.1. კატასტროფული წყალდიდობები დასავლეთ საქართველოში

საქართველოში ყველაზე ადრეული ინფორმაცია წყალდიდობაზე VIII საუკუნეში ისტორიულად დაღუპულთა რაოდენობითაა დაფიქსირებული. ისტორიაში ცნობილია, რომ ეს მოხდა 735 წელს, როცა მდ.ცხენისწყლის წყალდიდობამ იმსხვერპლა საქართველოში შემოსეული მტრის მურვან ყრუს 3500 მეტარი მათი ცხენებით, რისთვისაც მდინარეს უწოდეს ცხენისწყალი. აღნიშნულია, რომ მაშინ წყალდიდობა გამოწვეული იყო დასავლეთ საქართველოში ხანგრძლივი თავსხმა წვიმებით, რასაც მოჰყვა წყალდიდობები ამ რეგიონის სხვა მდინარეებზეც, მათ შორის მდ. ჭოროხზეც.

უფრო ძლიერმა წყალდიდობამ გაიარა დასავლეთ საქართველოში 1895 წლის 25 ოქტომბერს, როცა მდ. რიონის ადიდებამ გამოიწვია ქ. ფოთის დატბორვა 5-6 მ. სიღრმის წყლით. მნიშვნელოვანი ზარალი მიაყენა მდ. რიონის წყალდიდობამ 1902 წლის 2 იანვარს, როცა ქ. ფოთის მისადგომებთან მდინარეელი ყინულებით და ნაზვავი თოვლით დაიტბორა საავტომობილო და სარკინიგზო გზები, რომლებიც მოებიდან ჩამოიტანა მდ. ტებურამ.

მდ. რიონზე კოლხეთის დაბლობის ფარგლებში, სადაც ხშირად აღინიშნება დიდი ინტენსივობის ნალექები, კატასტროფულ წყალმოვარდნებს ადგილი ჰქონდა აგრეთვე 735, 1444, 1895, 1902, 1910, 1920, 1982, 1987, 1996 წლებში. ცნობილია, რომ 1911 წლის იანვარში დაბალი ტემპერატურების პირობებში მოვიდა დიდი თოვლის საფარი, რომლის სიმაღლე ზოგგან 4 მ. იყო, მდინარეები კი დაიფარა ყინულით, მაგრამ 4 თებერვალს დაიწყო დათბობა და უხვი წვიმები მოვიდა, მდინარეთა კალაპოტები აივსო წვიმისა და თოვლის ნადნობი წყლებით, გადმოვიდა ნაპირებიდან და 2-3 მ. სიმაღლის წყლით დაიტბორა მიმდებარე ტერიტორიები ქ.ფოთის, ჭალადიდისა და სენაკის მიდამოებში. მდინარეთა წყლის სიჩქარე 4 მ/წმ-ს შეადგენდა. მოსახლეობა სახლის სახურავებსა და ხეებზე აფარებდა თავს, მრავალი პირუტყვი კი დაიღუპა, შეწყდა სარკინიგზო მოძრაობა გზების დაზიანების გამო [1].

მდ. რიონზე უდიდესმა კატასტროფულმა წყალმოვარდნამ გაიარა 1922 წ. 25 ოქტომბერს, რომლის მაქსიმალური ხარჯი 1470 მ³/წმ. მის ზემო წელში ს.ალპანასთან, დღემდე ითვლება უდიდეს მაქსიმუმად. ქვემო წელში ს.საქოჩაკიძესთან მაქსიმუმმა 5468 მ³/წმ შეადგინა. უფრო დიდი წყალდიდობა იყო მდ. რიონზე 1982 წ. 2 აპრილს, სადაც მის ქვემო წელში გ. სვანიძის [2]

შეფასებით მაქსიმალურმა ხარჯმა 6000 მ³/წ-ს მიაღწია, ხოლო მდ. ყვირილაზე ქ.ზესტაფონთან 1200 მ³/წ იყო. მანამდე კი, დაკვირვებათა მონაცემების მიხედვით მაქსიმალური ხარჯები შეადგენდა მდ. რიონზე 4650 მ³/წ და მდ. ყვირილაზე 883 მ³/წ. ამ წყალმოვარდნის დროს მდ. რიონმა ქვემო წელში გაარღვია ნაპირსამაგრი დამბა, დატბორა დიდი ფართობის საძოვრები მდ. ფიჩორის აუზში და პალიასტომის ტბის დონე 70 სმ-ით აიწია.

1987 წ. 1 თებერვლის წყალმოვარდნის დროს მდ. რიონის მაქსიმალური ხარჯმა 5000 მ³/წ შეადგინა, მას დაემატა ვარცისის წყალსაცავის ერთდროული დაცლის შედეგად 1600 მ³/წ წყალი, რის გამოც გაირღვა მარჯვენა სანაპიროს დამბა და დატბორა მიმდებარე ტერიტორიები (ნახ.1), დაიღუპა მრავალი პირუტყვი და ადამიანებიც. ზარალმა მაშინ 500-550 მლნ. ლარი შეადგინა [3]. მაღალი წყალმოვარდნა მდ. რიონზე იყო აგრეთვე 1996 წლის 30 დეკემბერს, როცა დამბის გარღვევის შედეგად წყლით დაიტბორა ტერიტორიები აბაშის მხარეზე (ს. სუჯუნა, ეწერი).

კატასტროფული წყალმოვარდნები განსაკუთრებით ხშირია შავიზღვისპირა მდინარეებზე, სადაც ხშირია მაღალი ინტენსივობის ნალექები. მაგ. ორდღიანი ნალექების ჯამმა შეადგინა 1942 წ. 14-15 სექტემბერს 264 მმ (მ/ს შრომა), 1962 წლის 11-12 სექტემბერს 342 მმ (მ/ს ჩარნალი). ასეთი დიდი ნალექები იწვევენ მდინარეთა უეცარ აღიდებას და ნგრევას. 1924 წ. 8 მაისს მდ. ჭოროხზე ს. ერგესთან 3840 მ³/წ მაქსიმალურმა ხარჯმა გაიარა. 1927 წ. აჭარაში ხანგრძლივი ინტენსიური წვიმების შედეგად მდინარეთა დონეები აიწია 4 მ-მდე მდ. ქორულის წყალზე და 5 მ-მდე მდ. ნატანებზე ს. ნატანებთან. წყლის ნაკადის სიჩქარემ 4-4,7 მ/წ შეადგინა რკინიგზის ხიდთან, რომელიც მნიშვნელოვნად დააზიანა და დაანგრია 8 სააგტომობილო ტრასის ხიდი. 1979 წლის 31 აგვისტოს დამით წყალმოვარდნამ დაანგრია რამდენიმე საცხოვრებელი და საზოგადოებრივი შენობები, აგრეთვე რამდენიმე ხიდი, გზები, დაზიანდა წყალსადენის სათავე ნაგებობები, კავშირგაბმულობის და ელექტროგადამცემი ხაზები, ბალები, მრავალწლიანი ნარგავები [4].

ბოლო წლების წყალმოვარდნების შესწავლამ გვიჩვენა, რომ ისინი არ ცხრებიან და პირიქით ძლიერდებიან. განსაკუთრებით რთული სიტუაცია იყო 1996 წლის დეკემბერში, როცა 1400-2000 მეტრზე მაღლა მდებარე რაიონებში იდგა -8-10°C ყინვები, ხშირად თოვდა და მისმა სისქემ 3 მეტრს მიაღწია. 400-1800 მეტრის სიმაღლის ზონაში მდებარე ტერიტორიაზე ადგილი ჰქონდა თბილი და

ცივი დღეების, წვიმებისა და თოვის ხშირ მორიგეობას. 400 მეტრზე დაბლა იდგა თბილი დღეები, სუსტი და ძლიერი თავსება წვიმების ხშირი მორიგეობით.

1996 წლის 24-25 და 29-30 დეკემბერს თოვლ-წვიმის წყალმოვარდნებს მდ.მდ. ფრონებზე, ჩეერიმელაზე, ძირულაზე, ყვირილაზე, რიოზე, აჭარისწყალზე და მათ შენაკადებზე, მოპყვა დიდი ნგრევა და ზარალი, დატბორა სოფლები, გაირღვა დამბები, დაზიანდა ხიდები, გზები, რამდენიმე ოჯახი წაიღო ნიაღვარმა, წყალმა წალეკა 173 ჰა სასოფლო დანიშნულების ფართობი. 1996 წელს მარტო აჭარაში წყალმოვარდნების შედეგად ზარალმა 5 მლნ. ლარს გადააჭარბა. ასეთი მოვლენები გაგრძელდა 1997 წლის იანვარ-თებერვალში, მარტში, აპრილში და მაის-ივნისში.

საქართველოში ყველაზე დიდი მასშტაბურობით გამოირჩეოდა 2005 წლის წყალდიდობა, რომლის დროსაც კატასტროფულმა წყალმოვარდნებმა მოიცვა ქვეყნის მრავალი რეგიონი. დიდი წყალდიდობა განპირობებული იყო ზამთარში დაგროვილი დიდი თოვლის საფარით. გაზაფხულზე აპრილიდან ივნისის ჩათვლით უხვი თოვლის საფარის დნობისა და მრავალჯერადი ინტენსიური ხასიათის წვიმების თანხვედრის შედეგად წალეკა გზები, მრავალი საცხოვრებელი სახლი, ნათესი ფართობები, შინაური პირუტყვი და ფრინველი. მრავალ ოჯახს წყალმა წაუღო როგორც სახლი, ისე ყველაფერი და დარჩა სრულიად ხელცარიელი. ასეთ მდგომარეობაში დაახლოებით 500 ოჯახს შეექმნა ბინის პრობლემა. იყო რამოდენიმე ადამიანის მსხვერპლიც. მთლიანად წყალდიდობით მიუქნებულმა ზარალმა საქართველოს ფარგლებში დაახლოებით 300-500 მლნ. ლარი შეადგინა. დასავლეთ საქართველოში უკვე აპრილის თვეში მდინარეთა აღიდებამ გამოიწვია დიდი ზარალი (ცხრილი № 1).

საქართველოში კატასტროფული წყალმოვარდნები იყო აგრეთვე 2008 წლის სექტემბერ-ოქტომბერში ბათუმის, ხელვაჩაურის, ქობულეთის, ფოთის, დაიტბორა ქ.ფოთი, რასაც აღილი არ ჰქონდა 1895 წლის შემდეგ. დღე-დამური მაქსიმალური ნალექების რაოდენობა ზოგგან 160-180 მმ-ს აღემატებოდა. რაიონის ცენტრს მოწყვეტილი იყო 7 სოფელი, დაიტბორა 6 სოფელი, ასობით ჰექტარი ნათესები, 100 სახლი, დაზიანდა 50 და დაინგრა 11 სახლი. დაიღუპა 8 ადამიანი, დაინგრა 3 ხიდი, წყლით დაიფარა ტერიტორიები, სადაც განლაგებული იყო ელექტროსადგურები, დაზიანდა ელექტროგადამცემი ხაზები და 39 ათას აბონენტს შეუწყდა ელექტროენერგიის მიწოდება. მატერიალურმა ზარალმა შეადგინა 3-4 მლნ. ლარი [3].

წყალმოვარდნებმა გაიარეს 2009 და 2010 წლებშიც. 2011 წელს პირველი წყალმოვარდნა აღინიშნა 8 თებერვალს, როცა წყალტუბოს რაიონში დაიტორა სახენავ – სათესი მიწები, გზები და მოსახლეობის საკარმიდამოები.

შემზარავი კატასტროფა მოხდა 2011 წლის 15 ივნისს რიკოთის უღელტეხილზე, სადაც ძლიერი წვიმების გამო მდინარეთა წყალმოვარდნებმა და აზიანა საავტომობილო გზა, დაანგრია კვების ობიექტები, დააზიანა დასავლეთ და აღმოსავლეთ საქართველოს დამაკავშირებელ გვირაბთან მიმავალი გზები და რამდენიმე დღით მოძრაობა შეჩერდა. კატასტროფას 5 ადამიანის სიცოცხლე ემსხვერპლა. 18 ივნისს მდ. ჭანისწყლის ადიდებამ დააზიანა საგზაო მაგისტრალები და მოსახლეობის საკარმიდამოები, წალენჯიხაში კი მდინარემ დააზიანა გზები და ხიდები [5, 6].

ცხრილი 1

2005 წლის წყალდიღობის კატასტროფული გამოვლინებები
დასავლეთ საქართველოს მდინარეებზე

| მდინარის აუზი | მიუქნებული ზარალი |
|------------------|--|
| ყვირილა | ქ.ზესტაფონთან ყვირილამ გაარღვია სანაპირო ჯებირები და დატბორა მიმდებარე სასოფლო-სამეურნეო მიწები. |
| რიონი | <p>ქ.ქუთაისში რამდენიმე ადგილას რიონმა გაარღვია ნაპირდამცავი ჯებირები, დატბორა სახლები, დააზიანა გზები. წყალტუბოს რაიონში დაზარალდა 66 ოჯახი.</p> <p>ვანის რაიონში რიონი გადავარდა ს.ჭყვიშში და დატბორა საცხოვრებელი სახლები და ნათესები, წყალმა წაიღო პირუტყვი და ფრინველი. ნათესები დაიტბორა ქ.სამტრედიასა და ს.ჭალადიდშიც.</p> <p>ონის რაიონში დაიტბორა 100 სახლი, დაინგრა 8 ხიდი და საავტომობილო გზები, 18 სოფელი მოწყდა რაიონულ ცენტრს. მოიშალა წყალმომარაგების სათავე ნაგებობები და წყლის მიწოდება შეუწყდა ქ.ონის.</p> |
| ცხენისწყალი | რაჭა-ლეჩხეუმში ცხენისწყალმა დაანგრია ჯებირები და ხიდები, დატბორა სასოფლო-სამეურნეო სავარგულები, დაზიანდა წყლის სათავე ნაგებობები და კომუნიკაციები. |
| ენგური | <p>მესტიის რაიონში წარმოიქმნა ღვარცოფული ნაკადები, დაზიანდა მრავალი საცხოვრებელი სახლი, დაინგრა ხიდები, გზები და 8 სოფელი მოწყდა რაიონულ ცენტრს.</p> <p>ჯვრის წყალსაცავში ჭარბი წყლის (≈ 500 მ³) გაშვების შედეგად ქვემო ბიეფში ენგურის წყლის დონემ აიწია და დატბორა ზუგდიდის რაიონის სოფლების სავარგულები.</p> |
| აჭარისწყალი | აჭარაში დაინგრა ხიდები და 17 სოფელი მოწყდა რაიონულ ცენტრს. ს.თხინვანში და ს.ღურგასთან ჩამოწვა მეწყერები და დაზიანდა გზები. |

1. 2. კატასტროფები აღმოსავლეთ საქართველოს მდინარეებზე

პირველად წყალდიდობის შესახებ ცნობა გამოქვეყნდა 1839 წელს გაზეთ „კავკაზში”, სადაც აღნიშნული იყო, რომ მტკვარმა დატბორა რიყის ტერიტორია. თითქმის ასეთივე დატბორვა განმეორდა 1853 წლის 25 ივნისს. 1858 წლის 29 აგვისტოს ადიდებულმა მტკვარმა წაიღო 13 ადამიანი, 10 კამეჩი, 38 ხარი, 23 ურემი, 16 აქლემი, მრავალი ცხენი, 4 წისქვილი და სხვა [7].

ქ. თბილისში მდ. მტკვრის 1896 წლის წყალმოვარდნა აღწერა მაშინდელმა გაზეომა „ივერიაში”, როცა გადაუდებელი წვიმის შედეგად 5 მაისს მტკვრის დონემ ისე აიწია, რომ წაიღო მადათაფის კუნძულის ნაწილი, მარჯვენა სანაპიროზე კი წალეკა სახლები, შეწყდა კონკის მოძრაობა, ხალხი ქუჩებში ნავებით გადაადგილდებოდა, სახლების ქვედა სართულები წყლით იყო დაფარული. 10 მაისს დაიტბორა რიყე, ორთაჭალის ბაღები, წყალმა წაიღო მარცხენა სანაპიროზე არსებული ხის სახერხი ქარხანა და მთელი ხის მასალა. დიდი წყალდიდობა განმეორდა აგრეთვე 1915 წ. 6 მაისს [7].

მდ. მტკვარზე გავლილი წყალდიდობების შესახებ ინფორმაცია მოცემულია 1.2.1. ცხრილში, რომელიც შედგენილია საქართველოში გამოცემული გაზეთებისა და ქურნალების, ჰიდრომეტცენტრში არსებული მასალებისა და გამოქვეყნებულ შრომებში [7, 8] მოძიებული ცნობებით.

XX საუკუნის 30-იან წლებში, მდ. მტკვრის სანაპიროზე, აიგო ნაპირსამაგრი ნაგებობები და შეწყდა რიყის დატბორვები. წყალდიდობების ზოგადი, ძირითადად, ვიზუალური დახასიათებები, შეიცვალა სპეციალიზებული სტაციონარული დაკვირვების მასალით. მაგ., მდ.მტკვარზე მოქმედებდა 29 ჰიდროლოგიური საგუშაგო. 1980 წლამდე არსებული დაკვირვების სისტემატიზირებული მონაცემები გამოქვეყნდა ყოველწლიურების, ცნობარების, წყლის კადასტრისა და კაპიტალური მონოგრაფიების სახით [2, 9–11], სადაც მითითებულია წყალდიდობების რიცხობრივი მახასიათებლები.

ცხრილი 12.1. კატასტროფული წყალმოვარდნები მდ.მტკვარზე

| წელი თარიღი | მიუენებული ზარალი |
|----------------|---|
| 1 | 2 |
| 1839 17.05 | მდინარე გადმოვიდა ნაპირებიდან და ქ.თბილისში მთლიანად დაფარა რიყე |
| 1853 25.07 | მდინარის წყლით მთლიანად დაიტბორა რიყე |
| 1858 29.08 | რიყე დაიტბორა, დაიღუპა 13 ადამიანი, დაიხრჩო 38 ხარი, 10 კამეჩი, წყალმა წაიღო 16 აქლემი, ცხენები, 23 ურემი, 4 წისქვილი |
| 1896 05.05 | რიყეზე წაიღო სახლი, დაიტბორა სხვა სახლების ქვედა სართულები, კონკის მოძრაობა შეწყდა, ადამიანები ქუჩაში ნავებით მოძრაობდნენ |
| 1896 10.05 | ქ.თბილისში მდინარემ მთლიანად დატბორა რიყე, ორთაჭალის ბაღები, წყალმა წაიღო ხის სამხერხაო და ხის მასალები |
| 1897 23.03 | მდინარე გადმოვიდა ნაპირებიდან, ქ.გორთან დაანგრია ხიდი |
| 1897 29.05 | მდინარემ გადმოხეთქა ნაპირები, იყო ადამიანთა მსხვერპლი |
| 1898 28.03 | მდინარეს მიჰქონდა ძირკვები, ხეები, დიდი ზარალი იყო ქ.გორში |
| 1900 22.05 | ქ.თბილისში მდინარემ წალეპა ავჭალისა და აგურხანის ბაღები |
| 1900 3.06 | მდინარე გადმოვიდა ნაპირებიდან და წალეპა ორთაჭალა |
| 1900 19.06 | მდინარემ ქ.თბილისში ჩაწყვიტა ვერის ბორნის ჯაჭვი და იყო ადამიანთა მსხვერპლი |
| 1902 2.05 | მდინარეს დიდი რაოდენობით მიჰქონდა ხეები და კუნძები |
| 1903 22.07 | მდ.ლეღვთა ხევის აუზში, რომელიც გადის ბოტანიკურ ბაღზე, მთიდან დაშვებულმა წყალმა მთლიანად დაფარა დაბახანას რაიონი |
| 1915 6.05 | მდინარემ გადმოხეთქა ნაპირები, დატბორა რიყე, წალეპა ორთაჭალა |
| 1922 24.10 | გორსა და თბილისში დაზიანდა გზები, ხიდები, რკინიგზა |
| 1924 24.09 | მდინარემ ზაჟესთან გაგლიჯა ხიდის ოთხი ჯებირი |
| 1926 9.05 | მდინარის წყლის სიჩქარე 900 მ/წმ ზაჟესი – თბილისის მიმართულებით |
| 1926 22.05 | მდინარის დონემ საგრძნობლად აიწია ზაჟესთან |
| 1928 25.04 | მდინარის წყალმა დაფარა ორთაჭალის და ნავთლულის ბაღები, წყლის დონე 4-10 მ. სიჩქარე 900 მ/წმ. |
| 1932 15.05 | ქ.ქარელთან წყალმა გაიტაცა ბორანი სადაც 25 კაცი იყო, დამის 11 საათზე თბილისში მდინარემ წალეპა ორთაჭალის ბაღები |
| 1939 | მდინარემ ქ.გორთან დაანგრია მცირე ნაგებობები |

| | | |
|------|-------|---|
| 1955 | 5.10 | თბილისში მთიდან წამოსულმა წყალმა წალეპა აბანო. წყლის ხარჯი იყო 100 მ ³ /წმ |
| 1968 | 18.04 | შეწყდა სარკინიგზო და საავტომობილო მიმოსვლა თბილისიდან ბორჯომის მიმართულებით, დაინგრა ხიდები და ჯებირები |
| 1987 | 1.05 | ქ.ბორჯომთან მდინარის დონემ 1,5 მ-ით აიწია. ოჯახები გაიხიზნენ. ხაშურთან დაიტბორა რამდენიმე სოფელი |
| 1990 | 5.05 | ქ.ხაშურთან დაანგრია ნაპირები, დატბორა 30 ჰა ნაოესები, საძოვრები, ფერმა, გაიტაცა საქონელი |
| 1997 | 28.04 | მდინარემ გადარეცხა ახალციხე – რუსთავის საავტომობილო გზა და მოძრაობა შეწყდა |
| 2005 | 27.04 | მდინარის დონე ქ.თბილისში 565 სმ. იყო და მხოლოდ 157 სმ-ით ჩამორჩებოდა 1968წ. 722სმ. დონეს |
| 2005 | 7.06 | ქ.თბილისში მდ.მტკვარზე 500სმ. სიმაღლის წყალმა გაიარა |

მათგან ყველაზე აღსანიშნავია 1968 წლის 18-19 აპრილის წყალმოვარდნა, რომელსაც ადგილი ჰქონდა მდ.მტკვრის თითქმის მთელ სიგრძეზე. სოფ. ხერთვისიდან ქ.თბილისამდე მდინარემ დაანგრია ნაპირსამაგრი ნაგებობები, ხიდები, შეწყდა საავტომობილო და სარკინიგზო მიმოსვლა.

საქართველოში ხშირად მცირე ზომის მდინარეთა წყალმოვარდნებიც იწვევს დიდ ზარალს. მაგ., მდ. მტკვრის მცირე შენაკადმა ქ. თბილისში, მდ. ლეღვაცხევმა, როგორც რუსულენოვანი გაზეთი „კავკაზი“ (№ №165) იტყობინებოდა, 1903 წ. 22 ივნისს დატბორა დაბახანის მთელი ტერიტორია. ანალოგიური მოხდა 1955 წლის 5 ოქტომბერს, როცა ადიდებული მდ.ლეღვაცხევი შევარდა ჭრელ აბანოში [12].

მდ. ქსანი მდ. მტკვრის მარცხენა შენაკადია, რომელზეც ყველაზე დიდმა კატასტროფულმა წყალმოვარდნამ გაიარა 1952 წლის 24 ივლისს, როცა მის შეა წელში სოფ. კორინთასთან გავლილი მაქსიმალური ხარჯი – 262 მ³/წმ უდიდესია, დღემდე არსებულ დაკვირვებათა შორის. ამ წყალმოვარდნამ დიდი ზარალი მოუტანა ქსნის ხეობის მთელ მოსახლეობას, დაიტბორა სოფლები: ქსოვრისი, თეხი, ფერმა და სხვა. ამ წყალმოვარდნის შემდეგ მდინარეზე აიგო ნაპირსამაგრი ნაგებობები (მიწაყრილები, რეინა-ბეტონის ბლოკები, ქვის ხიმინჯები და სხვა). მიუხედავად ამისა, 1987 წლის 11 ივნისს გავლილმა წყალმოვარდნამ დააზიანა დაბა ახალგორთან არსებული ხიდი, გაარღვია სანაპირო დამბა და რამდენიმე წუთში დატბორა ახალგორის ტერიტორიაზე მდებარე სამეურნეო დანიშნულების ობიექტები: სკოლა-ინტერნატი, საბავშვო ბაღი, რაიონული საავადმყოფო, საშუალო სკოლა, სასოფლო საბჭო,

კომუნალური სახლები და სხვა. დიდი საფრთხე შექმნეს მდ. ქსნის შენაკადებმაც ქახალგორის ზევით. სოფ. ლარგვისში წყლის დონემ 3,5-4 მ-ით აიწია, შევარდა კლუბში და იქ სკამებზე მყარი ნატანი დატოვა. მოვარდნილმა წყალმა მთლიანად დაანგრია სოფ. წირქოლი და ამიტომ იქაური მოსახლეობა დაბა ახალგორში გადაასახლეს. წყალმა წალეკა აგრეთვე მდ. ქსნის სანაპიროებთან არსებული ნათესები, ბაღებში ძირფესვიანად მოგლიჯა ხეები [13].

1972 წლის 6 ივლისს, მდ. შულავერისწყალზე გაიარა წყალმოვარდნამ, რომლის მაქსიმუმმა 10-ჯერ გადააჭარბა წინა წლების მაქსიმუმს. კიდევ უფრო მეტი იყო მდ.იაღლუჯზე 1983 წლის 6 და 20 ივნისის წყალმოვარდნები, რომელთა დონემ 2 მეტრს გადააჭარბა, სიგანემ - 200 მეტრს. წყლის ხარჯები კი იყო 230 და 272 მ³/წმ, ანუ 3000 და 3417 ლ/წმ კმ². აღსანიშნავია, რომ ასეთ კატასტროფულ წყალმოვარდნას ადგილი ჰქონდა ერთ წელიწადში ორჯერ და ისიც - ერთ თვეში. წყალმოვარდნას აქ ხელს უწყობდა რკინიგზის ხიდის ნაკლები წყალგამტარობა და სარწყავი არხებიდან მონადენი წყლები. აქ ადგილი ჰქონდა წყლის შეტბორვას, რომლის სიგანე 600 მეტრი იყო, ხოლო სიღრმე - 2-3 მეტრი. წყალმოვარდნამ დაანგრია ხიდი, დააზიანა რკინიგზა, დატბორა მარნეულის ქუჩები, საცხოვრებელი სახლები, ქალაქის ელექტროკესადგური, რკინიგზის სადგური, მაღაზიები, პურის ქარხანა და სხვა. ასეთივე ვითარება შეიქმნა თელეთის ქედის სამხრეთ-აღმოსავლეთის მდინარეებზე. წყალმოვარდნის შედეგად დაინგრა ხიდი მდ.ქცია-ხრამზე სოფ. არვანლოში.

1983 წლის 11 ივნისს მძლავრმა წყალმოვარდნამ გაიარა მდ. მეჯუდაზე, რომელმაც დატბორა ქ. გორის ქუჩები და სახლები (ფოტო – ნახ. 1.2.1).

მდ. მტკვრის აუზში ყველაზე დიდი მასშტაბურობით გამოირჩეოდა 2005 წლის წყალდიდობა, რომლის დროსაც კატასტროფულმა წყალმოვარდნებმა გაიარა მის მრავალ შენაკადზე - აპრილიდან ივნისის ჩათვლით. მაშინ აღრიცხული მდინარეთა დონეები ზოგან მიუახლოვდა მათ უდიდეს მნიშვნელობებს – ცხრ. 1.2.2. ამ წყალმოვარდნებით გამოწვეული ზარალი მოცემულია ცხრ. 1.2.3-ში [14].

აქ აღსანიშნავია ის ფაქტი, რომ 2005 წლის 6-7 ივნისს უინგალის წყალსაცავში მოიმატა დონემ და წყლის მოცულობამ მაქსიმუმს მიაღწია, რის გამოც საჭირო გახდა ჭარბი წყლის გაშვება საგანგებო არხით. 600 მ³ მოცულობის წყლის გაშვებამ კი გამოიწვია წყალსაცავის ქვედა ბიუფში მდ.არაგვსა და თვით მდ.მტკვარზეც წყლის დონის მკვეთრი მომატება. მას

მოჰყვა ახლომდებარე სახლებისა და ნაკვეთების დატბორვა. მაგრამ უნდა ითქვას, რომ უინგალის წყალსაცავმა მრავალჯერ შეაკავა ადიდებული არაგვი და გადაარჩინა მიმდებარე გარემო უფრო დიდი დაზიანებისაგან.

აღსანიშნავია აგრეთვე, რომ 2005 წლის მაის-ივნისში და სექტემბერშიც კოკისპირული წვიმების შედეგად ადიდდა მდ. ალაზანი, რასაც მოჰყვა გზებისა და ხიდების ნგრევა, ნათესების დატბორვა; ზარალმა 20-25 მლნ. ლარს მიაღწია (ცხრ. 1.2.4.).

ამრიგად, მთელი საქართველოს ფარგლებში 2005 წლის გაზაფხულზე, აპრილიდან ივნისის ჩათვლით, უხვი თოვლის საფარის დნობისა და ინტენსიური წვიმების თანხვედრის შედეგად, წაილება გზები, საცხოვრებელი სახლები, განადგურდა ნათესი ფართობები, გაწყდა შინაური პირუტყვი და ფრინველი. მრავალი ოჯახი დარჩა უსახლკაროდ და უჭირნახულოდ. დაახლოებით 500 ოჯახს შეექმნა ბინის პრობლემა. იყო რამდენიმე ადამიანის მსხვერპლიც. მთლიანად წყალდიდობით მიყენებულმა ზარალმა, საქართველოს ფარგლებში დაახლოებით 300-500 მლნ. ლარი შეადგინა.

საქართველოში კატასტროფული წყალდიდობა იყო, აგრეთვე, 2008 წლის სექტემბერ-ოქტომბერში გარდაბნის, თბილისისა და კახეთის რეგიონებში, სადაც დაიტბორა: სოფლები, ასობით ჰექტარი ნათესი ფართობი, დაზიანდა და დაინგრა სახლები, განადგურდა ყურძნის მოსავლის 70% [3].

2009 წლის 30-31 ოქტომბრისა და 1 ნოემბრის კატასტროფულმა წყალმოვარდნამ კახეთის რეგიონს 7-8 მლნ. დოლარის ზარალი მიაყენა. 2010 წლის გაზაფხულზე საქართველოს მდინარეებზე კვლავ გაიარა კატასტროფულმა წყალმოვარდნებმა, განსაკუთრებით აღმოსავლეთ საქართველოში, რამაც დიდი ზარალი მიაყენა კვლავ კახეთის რეგიონს. ჭერემის წყალსაცავის არასწორმა ექსპლუატაციამ დიდი საშიშროება შეუქმნა სოფ. ველისციხეს.

2010 წლის 23 ივნისს ქ.თბილისში მდ.გლდანულაზე წყლის დონემ 6-7 მ-ით აიწია და სოფ.ცხვარიჭამიასთან ხიდს გამოუნგრია ბურჯები, რის შედეგადაც ჩაინგრა ხიდი და ჩაიყოლა მანქანა და ხალხი. ორი ადამიანი იქვე დაიღუპა, სხვები კი საავადმყოფოებში გადაიყვანეს.

2010 წლის 7 და 12 ივლისს თაგსხმა წვიმის შედეგად, დაბა დუშეთში, მოვარდა მდ.დუშეთისხევი და დატბორა დასახლება, ნათესები, დაიღუპა შინაური ფრინველი და ცხოველი. ადგილობრივი მოსახლეობის გადმოცემით მატერიალური ზარალი 2010 წელს აქ უფრო დიდი იყო ვიდრე 2005 წელს. 2010

წლის 18 ივლისს თავსხმა წვიმის შედეგად დაიტორა, აგრეთვე, დედოფლისწყაროს დასახლება, ნათესები, დაიღუპა ფრინველი და პირუტყვი.

ცხრილი 12.2. მდინარეთა დონეები (სმ) 2005 წლის წყალდიდობების დროს

| მდინარე- პუნქტი | აუზის ფართობი კმ. კმ | მრავალ- წლიური მაქსიმუმი | 2005 წ. დონეები (სმ) | | | | | | |
|-------------------------------|----------------------------|--------------------------------|----------------------|------|------|------|-----|-----|-----|
| | | | სმ. | წელი | 26IV | 27IV | 5VI | 6VI | 7VI |
| მტკვარი- ხერთვისი | 4980 | 460 | 1968 | 250 | 217 | | 106 | 117 | 112 |
| მტკვარი- მინაძე | 8010 | 362 | 1968 | 305 | 273 | | 135 | 145 | 145 |
| მტკვარი- ლიქანი | 10540 | 516 | 1968 | 387 | 400 | 260 | 256 | | |
| მტკვარი- ობილისი | 21120 | 722 | 1968 | 455 | 565 | 318 | 430 | 500 | 363 |
| ვარავანი- ხერთვისი | 2350 | 304 | 1968 | 270 | 251 | | | | |
| ვოკეოვი- სხვილისი | 1730 | 605 | 1968 | 490 | 453 | | 400 | 399 | |
| თეთრი არაგვი- ვასანაური | 335 | 250 | 1934 | 218 | 212 | 204 | | | |

ცხრილი 12.3.

2005 წლის წყალდიდობები მდ. მტკვრის აუზში

| თარიღი | მდინარის აუზი | მიყენებული ზარალი |
|-----------------|------------------|---|
| 25-27 აპრილი | მტკვარი | ქ.თბილისთან მტკვრის დონე 237 სმ-ით აჭარბებდა მაქსიმუმების საშუალო დონეს (328 სმ). სამცხე-ჯავახეთში მდინარეთა დონეები გადასცილდა საშიშ ზღვარს, რამაც გამოიწვია ნაპირსამაგრი ჯებირების ნგრევა და 35 ჰექტარი ნაოესების დატბორვა, ქვალები მოიშალა წყალმომარაგების სათავე ნაგებობები. |
| 4-5 მაისი | ქსანი | დაბა ახალგორში რამდენიმე ადგილას ქსანმა გაარღვია სანაპირო ჯებირები და დატბორა ნაოესები. |
| | ფშავის არაგვი | ჩარგალში მდინარემ დააზიანა ვაჟა-ფშაველას სახლ-მუზეუმი. |
| 6-7 ივნისი | მტკვარი | ქ.თბილისში მტკვრის წყლის ხარჯი 2250 მ ³ /წმ იყო, რაც 200 მ ³ /წმ ჩამორჩა 1968 წლის მაქსიმუმს (2450 მ ³ /წმ). |
| | არაგვი | ადიდებულმა არაგვმა წააქცია მაღალი ძაბვის ანძა, დაზიანდა ბულაჩაურის, საგურამოსა და ნატახტრის სასმელი წყლის წყალსაცავები, გაჩერდა საფილტრო სადგურები, რის გამოც ქ.თბილისს წყალი დიდი შეზღუდვით მიეწოდებოდა. ჟინვალის წყალსაცავიდან 600 მ ³ წყლის გაშვებამ ქვემო ბიეფში არაგვზეც და მტკვარზეც წყლის დონე მკვეთრად ასწია. |
| 13-15 ივნისი | დუშეთის ხევი | ხევის ადიდების შედეგად, დაიღუპა 2 ადამიანი, დაინგრა 50 სახლი, წყალმა გაიტაცა პირუტყვი, ფრინველი, მსუბუქი და მძიმე ტექნიკა, დაინგრა სასმელი წყლის სათავე ნაგებობა, ქვალორდით აიგსო სახლების პირველი სართულები. |
| 2005 წ. | სულ | მიყენებული ზარალი მთლიანობაში 300-500 მლნ. ლარი იყო. |

ცხრილი 12.4. 2005 წლის წყალდიდობები მდ. ალაზნის აუზში

| თარიღი | მიუენებული ზარალი |
|---------------|--|
| 7 მაისი | კოკისპირული წვიმის შედეგად ადიდდა მდ. კაბალა, დაიტბორა ლაგოდების რაიონის სოფლები: ხაინდროვალი, კართუბანი, კაბალა. წყალმა გადარეცხა თბილის-ლაგოდების საავტომობილო გზა. |
| 14-15 მაისი | წვიმამ დიდი წყალმოვარდნა გამოიწვია მდ. დიდხევზე, დატბორა სოფ. არტანა, წალეკა საკარმიდამო ხაკვეთები, დაიხოცა ფრინველი და წვრილფეხა საქონელი. ადიდდა, აგრეთვე, მდ. ილტო და რამდენიმე კილომეტრზე წალეკა საავტომობილო გზა და 4 სოფელი მოწყვიტა გარე სამყაროს, მოსახლეობა დარჩა სასმელი წყლის გარეშე. მდ. ალაზნის ადიდებამ პანკისის ხეობაში დაანგრია ჯებირები, ხიდები, დატბორა ხაკვეთები. |
| 29 მაისი | კოკისპირული წვიმის შედეგად, მდ. ალაზანმა დატბორა საავტომობილო გზა და ჩაკეტა მოძრაობა. |
| 5-6 ივნისი | მდ. ალაზნის წყალმოვარდნამ მთლიანად დატბორა სოფ.არტანა და ზემო ალვანი. ქ. თელავში დაინგრა სარწყავი სათავე ხაგებობა, დაიხოცა ფრინველი. მდ. ილტოს წყალი შეერია სასმელ წყალს და მოსახლეობა დარჩა წყლის გარეშე, დაზიანდა ელექტრო-ტრანსფორმატორები და ელექტროგადამცემი ხაზები. სოფ. კოდასთან მოწყდა მთა, დაინგრა ხიდი, განადგურდა ვენახები და სახნავ-სათესი სავარგულები. |
| 15 ივნისი | კოკისპირული წვიმის შედეგად თელავის რაიონში, სოფ.არტანასთან დაზიანდა რკინა-ბეტონის ხიდი, ადიდებულმა წყალმა დატბორა და ქვა-ლორდი შეიტანა მოსახლეობის საკარმიდამო ხაკვეთებში, სახლებსა და დამხმარე სათავსოებში. დაიტბორა სოფ. აკურის ტერიტორია, ნათესები და სამოვრები. მდ. თურდოს ხეობაში მდინარემ გაარღვია ჯებირები, და დამბები. მდ. კისისხევი და ვანთისხევი კალაპოტიდან გადმოვიდა და წალეკა ვენახები, ნათესები და სხვა. სერიოზულად დაზიარალდა ქ.თელავიც, სადაც კალაპოტიდან გადმოვიდა მდ.თელავისხევი და დატბორა მიმდებარე ტერიტორია. |
| 26 სექტემბერი | კოკისპირული წვიმის შედეგად დაზიარალდა სიღნაღის რაიონი, განსაკუთრებით სოფ. ქველი ანაგა, სადაც დაიტბორა 150 სახლი, განადგურდა სურსათისა და ჭირნახულის ზამთრის მარაგი. ძლიერ დაზიანდა ქველი ანაგის საშუალო სკოლის შენობა და შეწყდა სწავლა. დატბორებებს დაემატა ძლიერი სეტყვა, რომელმაც დიდი ზიანი მიაყენა ვენახებს. |
| 2005 წ. | მიუენებული ზარალი მთლიანობაში 20-25 მლნ. ლარი იყო |

თავი II

საქართველოს მდინარეთა წყალდიდობების მახასიათებლები

§ 2. 1. მდინარეთა წყალდიდობების ფორმირება

კლიმატის თანამედროვე ცვლილების ფონზე, წყალდიდობების შემდგომი განვითარების შესაფასებლად, გადამწყვეტი მნიშვნელობა აქვს ამა თუ იმ მდინარის აუზში პიდრომეტეოროლოგიური ქსელის არსებობას. აღსანიშნავია, რომ 90-იან წლებამდე საქართველოში მოქმედებდა 210 მეტეოროლოგიური, 153 პიდროლოგიური და 22 პიდროგლაციოლოგიური დაკვირვების პუნქტი, რომელთა მონაცემები იყო ხელმისაწვდომი. ამჟამად კი მოქმედებს 15 მეტეოროლოგიური სადგური, 26 მეტეოროლოგიური და 20 პიდროლოგიური საგუშაგო.

ცხრ. 2.1.1. და ნახ. 2.1.1-ში მოცემულია სადღეისოდ არსებული პიდრომეტეოროლოგიური ქსელი, საიდანაც ირკვევა, რომ საქართველოში, სხვებთან შედარებით, უკეთ არის გაშუქებული მდ. მტკვრის აუზი, სადაც მოქმედებს 5 მეტეოსადგური და 7 პიდროლოგიური საგუშაგო. მდ.რიონის აუზში 2 მეტეოსადგურია და თითო მეტეოსადგურია მდინარეების: არაგვის, ქციახრამისა და ალაზნის აუზში. აღარც ერთი სადგურია ისეთ მნიშვნელოვან სამეურნეო დანიშნულების მდინარეთა აუზებში, როგორიცაა მდინარეები: ენგური, ცხენისწყალი, აჭარისწყალი, იორი და სხვა.

პიდრომეტეოროლოგიური ქსელის შემცირების გარდა, მეტად სამწუხაროა ის ფაქტი, რომ მდინარეებზე აღარ იზომება მათი წყლიანობა – წყლის ხარჯები, რომლებიც აღრე დღეში ორჯერ იზომებოდა. ახლა 20 პიდროლოგიურ საგუშაგოზე მხოლოდ წყლის დონეები იზომება, რომლებიც მეტად ცვალებადია მდინარის წყლის რეჟიმის ცვლილებასთან დაკავშირებით. ამიტომ ისინი არ არიან საკმარისი მახასიათებლები მდინარეთათვის.

საქართველოს მთიანი რელიეფი სხვადასხვა წარმოშობისა და აგებულებისაა, ამიტომ აქ მდინარეთა ჩამონადენზე მუდმივმოქმედი აუზის ზედაპირული ფაქტორები: რელიეფი, ნიადაგ – მცენარეული საფარი, გეოლოგია, პიდროგეოლოგია და სხვა დიდი მრავალფეროვნებით გამოირჩევა.

მდინარეთა ჩამონადენზე მთავარი მოქმედი ფაქტორებია აუზის ცვალებადი კლიმატური ელემენტები: ატმოსფერული ნალექები, ჰაერის ტემპერატურა, აორთქლება, ინფილტრაცია, კონდენსაცია, ტრანსპირაცია და სხვა, რომლებიც განსაზღვრავს მდინარეთა საზრდოობის წყაროებს. მათ შორის გადამწყვეტი მნიშვნელობა აქვს კლიმატის ისეთ ელემენტებს, როგორიცაა ჰაერის

ტემპერატურა, ატმოსფერული ნალექები და თოვლის საფარი, რაც ჩამონადენის მთავარი წარმომშობი ფაქტორებია.

ჰაერის ტემპერატურა განაპირობებს თოვლის საფარისა და ყინულის დაგროვებას, მის დნობასა და აორთქლებას. განსახილველ ტერიტორიაზე ყველაზე ციფი თვე იანვარია, თბილი კი ივლის - აგვისტო. ტემპერატურული რეჟიმი აქ მკვეთრი ვერტიკალური ზონალობით ხასიათდება: სიმაღლის მომატებასთან ერთად, ტემპერატურა მცირდება და შესაბამისად, იზრდება ციფი პერიოდის ხანგრძლივობა. დაბლობში საშუალო წლიური ტემპერატურა 13 - 15 °C, ზამთრის ტემპერატურა მთისწინებში დადებითია, შედარებით მკაცრი ზამთარი აღინიშნება ჯავახეთის პლატოზე, სადაც იანვრის ტემპერატურა 2 - 3 °C-ით დაბალია, ვიდრე კავკასიონის იმავე სიმაღლის ფერდობებზე.

მდინარეთა წყლიანობის განმსაზღვრელი ძირითადად ატმოსფერული ნალექია, რომლის რაოდენობა, ინტენსივობა, განაწილება დროსა და სივრცეში განაპირობებს მდინარეთა ჩამონადენის ოდენობასა და მის რეჟიმს. ვინაიდან საქართველოში დასავლეთიდან შემოჭრილი ნოტიო ჰაერის მასების ინტენსიური კონდენსაცია ხდება, ქედების ქარპირა დასავლეთ ფერდობებზე, ამიტომ, აღმოსავლეთ კალთებზე, უკვე შედარებით მშრალი ჰაერის მასები, დაღმავალი მოძრაობის გამო, ამცირებს ნალექების რაოდენობას. ამ მიზეზით დასავლეთ საქართველოში თუ ნალექების წლიური ჯამი საშუალოდ 1300-2700 მმ-ის ფარგლებში მერყეობს, აღმოსავლეთ საქართველოში იგი მხოლოდ 400-800 მმ-ია.

საქართველოში ყველაზე მშრალი პერიოდია ზამთარი. ციფი პერიოდის (ნოემბერი-მარტი) ნალექები შეადგენს წლიური ნალექების 20-30%-ს, ხოლო თბილ სეზონში მოსული ნალექები ორჯერ აღემატება მათ. მაქსიმალური ნალექები აღინიშნება მაის - ივნისში, ზაფხულში ნალექები მცირდება და შემდეგ – შემოდგომით იზრდება.

ნალექების რაოდენობის ცვალებადობა, წლიდან წლამდე საკმაოდ მაღალია ზამთრის თვეებში, როცა მათი ვარიაციის კოეფიციენტი $Cv = 0,70-0,90$, თბილი სეზონის თვეებში კი $Cv = 0,30-0,60$.

პროფ. ე. ელიზბარაშვილის მიერ, კლიმატის გლობალური დათბობის პირობებში, საქართველოს ტერიტორიაზე გამოვლენილია უკუკავშირი ნალექების ჯამსა და ჰაერის ტემპერატურას შორის. თბილი თვეების განმეორებადობის გაზრდასთან ერთად, მოსალოდნელია ატმოსფერული ნალექების მკვეთრი შემცირება, განსაკუთრებით, წლის ციკ პერიოდში. წლის თბილი პერიოდის განმავლობაში კი ტემპერატურის მნიშვნელოვანი ანომალიის დროს (3°C და

ცხრილი 2.1.1. პიდროლოგიური სადამკვირვებლო ქსელი

კოლხეთის პიდრომეტეოროლოგიური ობსერვატორია (1 კატეგორია)

| | |
|-------------------------------|--------|
| 1. მდ. ენგური – ს. ხაიში | |
| 2. მდ. ხობი – ს. ლეგახარე | |
| 3. მდ. რიონი – ს. ალბანა | 365,28 |
| 4. მდ. რიონი – ს. ჭალადიდი | |
| 5. მდ. ყვირილა – ქ. საჩხერე | |
| 6. მდ. ცხენისწყალი – ს. ლუჯი | |
| 7. მდ. ტეხური – ს. ნაქალაქევი | |
| 8. მდ. სუფსა – დ. ჩოხატაური | 126,87 |

შავი ზღვის პიდრომეტეოროლოგიური ობსერვატორია (1 კატეგორია)

| | |
|------------------------------|--------|
| 1. მდ. ჭოროხი – ს. მირვეთი | 44,00 |
| 2. მდ. აჭარისწყალი – დ. ქედა | 171,64 |

სამცხე-ჯავახეთის პიდრომეტეოროლოგიური ობსერვატორია

| | |
|-------------------------------|---------|
| 1. მდ. მტკვარი – ს. ხერთვისი | 1122,83 |
| 2. მდ. მტკვარი – ქ. ბორჯომი | 792,78 |
| 3. მდ. ფარავანი – ს. ხერთვისი | 1119,40 |

ქართლის პიდრომეტეოროლოგიური ობსერვატორია (1 კატეგორია)

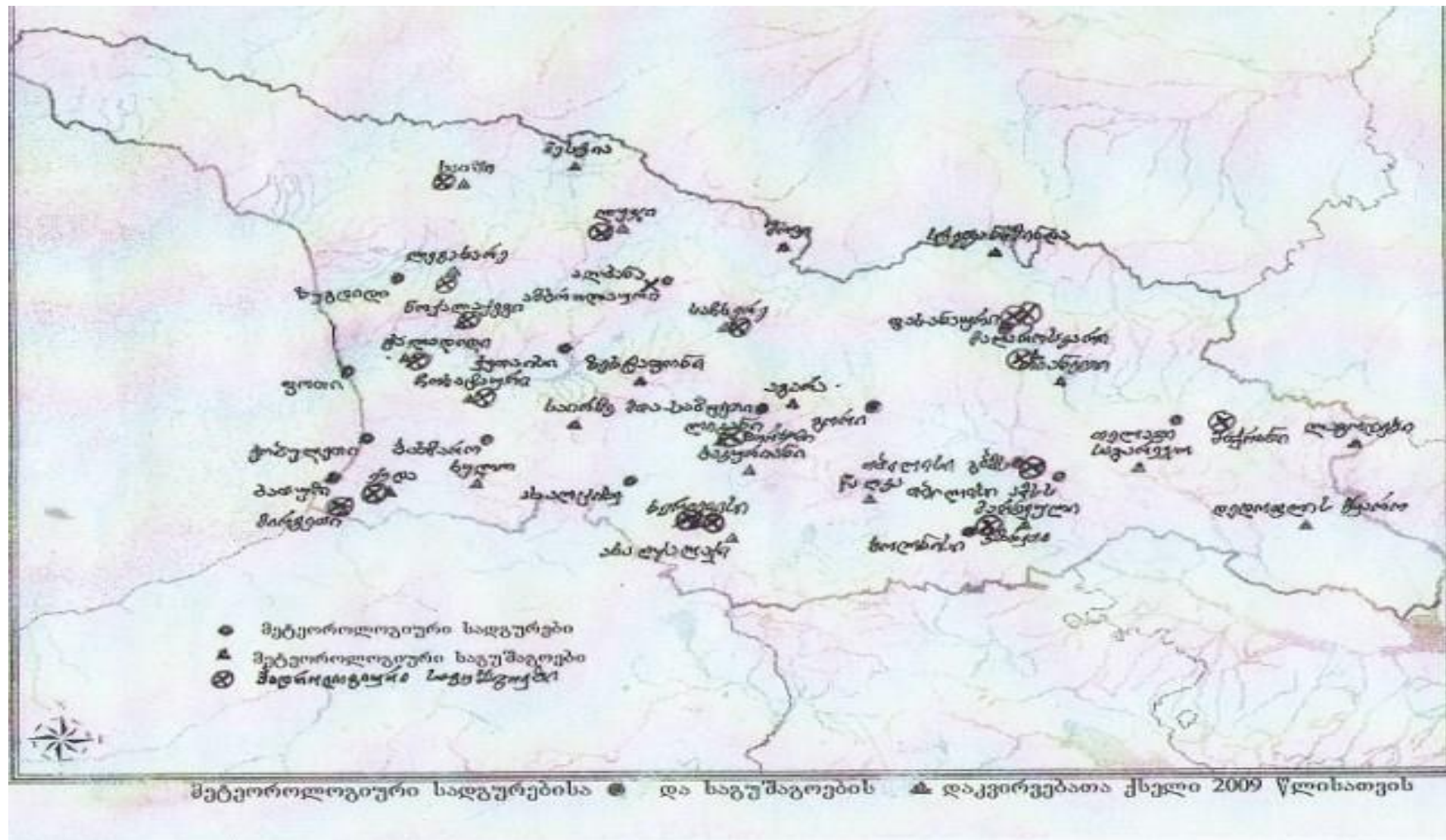
| | |
|--|---------|
| 1. მდ. მტკვარი – ქ. თბილისი | 390,00 |
| 2. მთიულეთის არაგვი – დ. ფასანაური | 1047,30 |
| 3. მდ. გუდამაყრის არაგვი – შესართავთან | 1070,08 |
| 4. მდ. ფშავის არაგვი – ს. მაღაროსკარი | 921,38 |
| 5. მდ. მაშავერა – დ. კაზრეთი | |
| 6. ხორნის წყლისც – დ. სიონი | |

კახეთის პიდრომეტეოროლოგიური ობსერვატორია

| | |
|------------------------------|--------|
| 1. მდ. ალაზანი – ს. შაქრიანი | 340,00 |
|------------------------------|--------|

წყლის ზედაპირიდან აორთქლებაზე დაქვირვების პუნქტი

| | |
|------------|-------|
| 1. გორი | 609,0 |
| 2. ბოლნისი | 534,0 |



ნახაზი 2.1.1. საქართველოში არსებული პიდრომეტეოროლოგიურ
დაკვირვებათა ქსელი

მეტი) ნალექები იზრდება, რაც შეიძლება აიხსნას კონვექციური პროცესების გააქტიურებით და თავსხმა ნალექების მოსვლით [15].

ნალექების წლიურ ჯამში ჭარბობს თხევადი ნალექების წილი, რაც საშუალოდ 54%-ს შეადგენს [16]. დანარჩენი 46% მოდის მყარ ნალექებზე. თოვლის საფარის განლაგება და დნობის ხასიათი არის მთის მდინარეთა გაზაფხულ-ზაფხულის წყალდიდობის ჩამონადენისა და მისი მაქსიმალური ხარჯების ძირითადი განმსაზღვრელი ფაქტორი. თოვლის მარაგის საშუალო მნიშვნელობა წლიდან წლამდე მეტად ცვალებადია, განსაკუთრებით 600-1200 მ. სიმაღლეთა დიაპაზონში, სადაც მათი ვარიაცია $Cv = 0,90-0,70$ შეადგენს, სიმაღლის მატებასთან ერთად, ვარიაცია კლებულობს და 2000 მ-ზე ის 0,35-0,29-მდე მცირდება.

წყალდიდობა მთის მდინარეებზე იწყება მარტის ბოლოს, როცა იწყება თოვლის დნობა. წყალდიდობის ხანგრძლივობა განისაზღვრება მდინარეთა აუზის სიმაღლითი განვითარების დიაპაზონით, თოვლის მარაგის განაწილებით, სიმაღლის მიხედვით, და ტემპერატურული რეჟიმით. მდ. მტკვარზე ყველაზე უხერხებიანი პერიოდია გაზაფხული (მარტი-მაისი), როცა გაედინება 50-60%-ზე მეტი წლიური ჩამონადენისა. წყალდიდობა მთავრდება ივლისის დასაწყისში. მაღალ წყალმოვარდნებს, ძირითადად, ადგილი აქვს აპრილ-მაისის თვეებში, როცა თოვლის ინტენსიურ დნობას თან ერთვის გაზაფხულის კოკისპირული წვიმები.

§ 2. 2. მდინარეთა წყალდიდობების მთავარი მახასიათებლები

გაზაფხულის წყალდიდობა არის მთავარი ფაზა მდინარეთა წყლის რეჟიმისა, რომლის დროსაც გაედინება მათი წლიური ჩამონადენის 50-70%. წლის დანარჩენი პერიოდები, განსაკუთრებით ზაფხული, ხასიათდება წყალმცირობით, სავეგეტაციო პერიოდში მშრალი ჰავის პირობებში, მორწყვის გარეშე შეუძლებელია მოსავლის მიღება. მაგალითად, აღმოსავლეთ საქართველოში 37 წყალსაცავში აკუმულირდება მდინარეთა უხვწყლიანი წყალდიდობის პერიოდის ჩამონადენი, მისი შემდგომი რაციონალური გამოყენების მიზნით, არა მარტო მელიორაციის, არამედ, აგრეთვე, სხვა მრავალი დანიშნულებით. აქ ფუნქციონირებს რამდენიმე კომპლექსური პიდროკვანძი (სიონის, სამგორის, ჟინგალისა და სხვა), სადაც შეთანხმებულია ენერგეტიკის, მელიორაციის, წყალმომარაგების, მეთევზეობის, სპორტულ-გამაჯანსაღებელი, ტურისტულ-რეკრეაციული და სხვა ინტერესები. წყალსაცავების ყოველწლიური შევსება და ექსპლუატაცია გათვლილია მდინარეთა წყალდიდობების პერიოდის ჩამონადენზე, მეორე წლის წყალდიდობამდე, ე.ი., წყალდიდობა არის წყალსამეურნეო ობიექტების მთავარი მკვებავი წყარო, რომლის წყლის რესურსების ხარჯზე ხდება ელექტროენერგიის გამომუშავება, მოსავლიანობის გაზრდა, მოსახლეობისა და საწარმო-სამეურნეო ობიექტების წყალმომარაგება. ამრიგად, წყალდიდობებს მოაქვთ როგორც დიდი ზიანი, ასევე დიდი სარგებლობაც. ამიტომ საჭიროა მათი მრავალმხრივი შესწავლა. პირველ რიგში მდინარეთა წყლის მაქსიმალური ხარჯების მახასიათებლები.

ამ მიზნით ცხრილი 2.2.1.-ში მოცემულია საქართველოს მთავარ პიდროკვეთზე მდინარეთა პიდროგრაფების ანალიზით მიღებული წყალდიდობებისა და მათი მაქსიმალური ხარჯების მთავარი მახასიათებლები (საშუალო, უდიდესი, უმცირესი, ამპლიტუდა) და პიკის გავლის საშუალო თარიღები [11].

2.2.2 ცხრილში კი მოცემულია მთავარ მდინარეთა მაქსიმალური ხარჯების ცვალებადობის სტატისტიკური მახასიათებლები: ვარიაციისა (Cv) და ასიმეტრიის (Cs) კოეფიციენტები, ექსტრემალური (უდიდესი და უმცირესი) და საშუალო კვადრატული გადახრის ($\sigma \sqrt{\frac{1}{N}}$) მნიშვნელობები, განსაზღვრული 1937-1990 წლების მონაცემების მიხედვით [7].

სშირად გარემოსა და მოსახლეობას დიდ საშიშროებას უქმნიან შეუსწავლელი მდინარეები, მათ შორის მცირე ზომის მშრალი ხევებიც,

რომლებიც წყალდიდობის დროს მძლავრ ნაკადებად მიედინებიან დაბლობებისაკენ. ამიტომ აუცილებელია მათი წყალდიდობის ჩამონადენის დადგენაც. ამისათვის გამოვიკვლიეთ კავშირები შესწავლილ მდინარეთა წყალდიდობების ჩამონადენისა სხვადასხვა განზომილებებით (წყლის ხარჯი, ჩამონადენის მოდული, ფენა და მოცულობა) პირველ რიგში ტრადიციულად მდინარეთა აუზების საშუალო სიმაღლეებთან. მაგრამ წერტილთა დიდი გაფანტულობის გამო შეუძლებელი გახდა გარკვეული კანონზომიერებების დადგენა. ამიტომ გამოვიკვლიეთ წყალდიდობის საშუალი ხარჯების (Q $\text{მ}^3/\text{წ}$) კავშირები მდინარეთა აუზების ფართობებთან (F კმ^2) ცალკეული რეგიონებისათვის. მათი მჭიდრო კავშირების წრფივი აპროქსიმაციით მიღებულ იქნა მარტივი გამოსახულებები შეუსწავლელ მდინარეთა ჩამონადენის განსაზღვრისათვის:

$$Q = a F, \quad (2.2.1)$$

სადაც a = პარამეტრია, რომლის მნიშვნელობა დასავლეთ საქართველოს მდინარეებზე არის: ბზიფისა და კოდორის აუზებში 0,105, მდ. ენგურის აუზში 0,085, მდ. რიონის აუზში 0,062, მდ. ხობისა, ტეხურისა და ცხენისწყლის აუზებში 0,064, ხოლო აღმოსავლეთ საქართველოს მდინარეთა აუზებში 0,046.

ამრიგად, შედარებით ერთნაირ ბუნებრივ პირობებში, მდინარეთა წყლიანობაზე ყველაზე სრულ ინფორმაციას იძლევა აუზის ფართობი, რომლის განსაზღვრა მეტად ადვილია არსებული ფიზიკური რუკების საშუალებით შეუსწავლელ მდინარეთა ჩამონადენის გასაანგარიშებლად. ე.ო. ერთ რეგიონში რაც მეტია მდინარის წყალშემკრები აუზის ფართობი, მით მეტია მისი ჩამონადენი. აქ ცდომილება შეიძლება გამოიწვიოს ისეთმა ფაქტორებმა, როგორიცაა მაგალითად აუზის საშუალო სიმაღლე, აუზის დახრილობა და მდინარეთა ქსელის სიხშირე და სიგრძე.

შეუსწავლელ მდინარეთა წყლის ხარჯების განსაზღვრისათვის ჩვენს მიერ, შედგენილ იქნა აგრეთვე შესწავლილ ანალოგ მდინარეთა წყალდიდობისა და მათ საშუალო წლიურ ხარჯებს (Q_0 $\text{მ}^3/\text{წ}$) შორის კავშირები, რომელიც აპროქსიმირდება ასევე მარტივი გამოსახულებით:

$$Q = b Q_0, \quad (2.2.2)$$

სადაც b – პარამეტრია, რომლის მნიშვნელობები აფხაზეთის მდინარეთათვის $b = 1,97$, ენგურის აუზში $b = 1,95$, მდ. ხობის, ტეხურისა და ცხენისწყლის აუზში

$b = 1,73$, მდ. რიონის აუზის მდინარეთათვის $b = 1,70$, ხოლო აღმოსავლეთ საქართველოს მდინარეთათვის $b = 2,0$.

მდინარეთა წყლის საშუალო წლიური ხარჯის ($Q_0 \text{ მ}^3/\text{წ}$) მნიშვნელობა შეუსწავლელ მდინარეთათვის შეიძლება ადვილად განისაზღვროს ჩამონადენის რუკით [6].

საყურადღებოა, რომ (2.2.1) და (2.2.2) ფორმულების ერთდროული გამოყენებით შეიძლება შემოწმდეს შეუსწავლელ მდინარეთა წყალდიდობის ჩამონადენის გაანგარიშების სისწორე.

აღსანიშნავია, რომ ჩვენ მიერ საქართველოს მდინარეთა წყლის ხარჯებზე 208 პიდროკვეთზე არსებული მრავალწლიანი დაკვირვების რიგების ანალიზის საფუძველზე შედგენილ იქნა წყალდიდობის ჩამონადენისა და მისი დაწყების თარიღების რუკები, რომლებიც 2012 წელს გამოქვეყნდა “საქართველოს ეროვნულ ატლასში” [18].

ამავე ატლასშია აგრეთვე ჩვენ მიერ შედგენილი რუკა საქართველოს ტერიტორიის დარაიონებისა მდინარეთა ჩამონადენის შიდაწლიური განაწილების მიხედვით [19], სადაც თითოეული რაიონისათვის გამოყოფილია მდინარეთა უხვწლიანი პერიოდის (წყალდიდობის) ჩამონადენი და მისი წილი (%) წლიურ ჩამონადენში. ამ ატლასის 85 გვერდზე მოცემულია ფორმულები და ცხრილი მდინარეთა ნებისმიერი პერიოდის (მათ შორის წყალდიდობის) ჩამონადენის განსაზღვრისათვის [20].

წყალდიდობის პერიოდის ჩამონადენისა და მაქსიმალური ხარჯების მრავალწლიური ნორმები და ცვალებადობის მახასიათებლები, აუცილებელია საპროექტო ორგანიზაციებში ნაგებობათა ტექნიკურ-ეკონომიკური მაჩვენებლების დასადგენად, განსაკუთრებით ეხლა, როცა საქართველოს 26 ათასი მდინარიდან მხოლოდ რამდენიმეზე ხდება წყლის დონეების გაზომვა, ადრე კი 200-ზე მეტ პიდროლოგიურ საგუშაგოზე ხდებოდა არა მარტო დონეების, არამედ წყლის ხარჯების გაზომვაც.

ცხრილი 2.2.1.

მდინარეთა წყალდიდობის საშუალო მახასიათებლები

| მდინარე-ჰუნძტი | აუზის ფართობი კმ ² | საშუალო ჩამონადენი | | | მაქსიმალური ხარჯები (მ ³ /წ) | | | | საშუალო თარიღები | | | დღეთა რაოდე- ნობა |
|-------------------|-------------------------------------|-----------------------|-----------------|--------------|---|---------|----------|--------|------------------|-------|-----------------|-------------------------|
| | | მმ | კმ ³ | %წლ. ჩამ. | საშუალო | უდიდესი | თარიღი | უმცირ. | დაწყება | პიკი | დამთავ- რება | |
| 1 | 2 | 3 | 4 | 5 | 6 | 7 | 8 | 9 | 10 | 11 | 12 | 13 |
| ბზიფი-ჯირხვა | 1410 | 1365 | 1,91 | 65 | 416 | 750 | 31.03.70 | 286 | 16.03 | 22.05 | 02.08 | 141 |
| კოდორი-ლათა | 1420 | 1318 | 1,92 | 68 | 496 | 1040 | 09.05.77 | 274 | 21.03 | 26.06 | 23.08 | 157 |
| გვანდრა-გვანდრა | 197 | 2292 | 0,45 | 70 | 121 | 185 | 11.05.60 | 64,1 | 29.03 | 27.06 | 21.08 | 146 |
| ჩხალთა-ჩხალთა | 465 | 1668 | 0,78 | 67 | 213 | 616 | 04.04.79 | 95,0 | 30.03 | 15.06 | 18.08 | 142 |
| ენგური-იფარი | 362 | 825 | 0,30 | 76 | 58,5 | 107 | 09.05.71 | 37,0 | 15.04 | 03.07 | 15.09 | 153 |
| მესტიაჭალა-მესტია | 144 | 2264 | 0,33 | 82 | 75,6 | 351 | 06.06.69 | 32,5 | 20.04 | 22.07 | 29.09 | 164 |
| ნაკრა-ნაკი | 126 | 2064 | 0,26 | 78 | 39,1 | 62,0 | 14.05.69 | 26,2 | 13.04 | 25.06 | 13.09 | 154 |
| თხეიში-ხაიში | 222 | 762 | 0,18 | 63 | 43,8 | 102 | 19.04.57 | 12,7 | 30.03 | 07.06 | 16.08 | 140 |
| ხობი-ლეგახარე | 310 | 1078 | 0,33 | 51 | 120 | 277 | 13.04.75 | 71,5 | 20.03 | 07.06 | 21.07 | 123 |
| რიონი-უწერა | 707 | 1033 | 0,73 | 74 | 121 | 184 | 07.05.61 | 77,7 | 24,03 | 28.06 | 27.08 | 158 |
| რიონი-ონი | 1060 | 1021 | 1,08 | 76 | 193 | 338 | 30.04.72 | 134 | 20.03 | 13.06 | 30.08 | 165 |
| რიონი-ხიდიკარი | 2010 | 823 | 1,65 | 73 | 325 | 505 | 15.04.59 | 225 | 17.03 | 02.06 | 29.08 | 165 |
| რიონი-ალპანა | 2830 | 780 | 2,21 | 72 | 448 | 605 | 03.04.58 | 276 | 14.03 | 22.05 | 29.08 | 169 |
| ჯოჯორა-პიპილეთი | 408 | 690 | 0,28 | 67 | 61,4 | 159 | 05.04.79 | 36,2 | 18.03 | 16.05 | 11.08 | 147 |
| შაორა-ქვედა თლული | 29,4 | 569 | 0,02 | 54 | 10,9 | 17,3 | 06.04.70 | 3,30 | 18.03 | 27.04 | 12.06 | 87 |
| ლაჯანური-ორბელი | 231 | 676 | 0,16 | 56 | 40,1 | 88,3 | 04.04.79 | 24,4 | 17.03 | 16.05 | 13.07 | 120 |
| ყვირილა-ზესტაფონი | 2490 | 358 | 0,89 | 49 | 379 | 646 | 19.02.73 | 140 | 23.02 | 02.04 | 31.05 | 98 |

| 1 | 2 | 3 | 4 | 5 | 6 | 7 | 8 | 9 | 10 | 11 | 12 | 13 |
|--------------------------|-------|------|------|----|------|------|----------|------|-------|-------|-------|-----|
| ძირულა-წევა | 1190 | 310 | 0,37 | 45 | 224 | 468 | 19.02.73 | 28,0 | 22.02 | 03.04 | 20.05 | 88 |
| ჩხერიმელა-ხარაგაული | 398 | 440 | 0,18 | 44 | 85,5 | 173 | 19.03.73 | 36,7 | 22.02 | 07.04 | 21.05 | 89 |
| სანისწყალი-ბალდათი | 655 | 431 | 0,28 | 58 | 86,3 | 209 | 22.02.60 | 42,0 | 24.02 | 18.04 | 30.06 | 127 |
| წაბლარისწყალი-საირმე | 102 | 540 | 0,06 | 58 | 14,2 | 22,1 | 03.04.77 | 6,50 | 04.03 | 21.04 | 08.07 | 127 |
| ცხენისწყალი-ლუჯი | 506 | 1001 | 0,51 | 70 | 104 | 188 | 15.04.59 | 60,4 | 02.04 | 01.06 | 23.08 | 144 |
| ცხენისწყალი-რცხმელური | 1450 | 957 | 1,39 | 67 | 325 | 656 | 27.04.65 | 174 | 26.03 | 11.06 | 21.08 | 149 |
| ზესხო-ზესხო | 44,8 | 1943 | 0,08 | 71 | 21,1 | 63,8 | 03.06.64 | 8,27 | 07.04 | 11.07 | 01.09 | 157 |
| ჭოროხი-ერგე | 22000 | 242 | 5,33 | 64 | 1150 | 2100 | 05.04.75 | 739 | 01.03 | 01.05 | 22.07 | 144 |
| აჭარისწყალი-ქედა | 1360 | 573 | 0,74 | 53 | 240 | 640 | 21.02.60 | 146 | 02.03 | 18.04 | 20.06 | 112 |
| მტკვარი-ხერთვისი | 4980 | 134 | 0,68 | 68 | 254 | 742 | 07.04.70 | 124 | 27.03 | 03.05 | 05.07 | 100 |
| მტკვარი-მინაძე | 8010 | 141 | 1,12 | 60 | 365 | 1110 | 06.04.64 | 213 | 29.03 | 01.05 | 05.07 | 100 |
| მტკვარი-ლიკანი | 10500 | 159 | 1,67 | 64 | 524 | 920 | 06.04.70 | 282 | 28.03 | 30.04 | 08.07 | 103 |
| მტკვარი-გრაკალი | 16700 | 170 | 2,78 | 65 | 799 | 1910 | 05.04.79 | 351 | 19.03 | 28.04 | 15.07 | 124 |
| ფოცხოვი-სხვილისი | 1730 | 259 | 0,45 | 67 | 165 | 581 | 05.04.79 | 71,2 | 26.03 | 02.05 | 05.07 | 102 |
| ქობლიანი-მლაშე | 468 | 523 | 0,24 | 70 | 76,1 | 144 | 04.04.77 | 38,2 | 25.03 | 28.04 | 06.07 | 104 |
| აბასთუმანი-აბასთუმანი | 99,0 | 266 | 0,03 | 68 | 11,3 | 37,6 | 04.04.77 | 4,72 | 25.03 | 24.04 | 01.07 | 99 |
| ბოჭომულა-ბორჯომი | 165 | 316 | 0,05 | 65 | 27,0 | 59,0 | 30.03.70 | 13,3 | 21.03 | 23.04 | 01.07 | 103 |
| დიდი ლიახვი-ჯავა | 646 | 625 | 0,40 | 69 | 97,1 | 185 | 18.04.57 | 46,5 | 25.03 | 21.05 | 09.08 | 138 |
| თეთრი არაგვი-ფასანაური | 335 | 615 | 0,21 | 54 | 66,2 | 166 | 10.04.80 | 34,0 | 28.03 | 26.05 | 02.08 | 128 |
| სადისხევი-ცკერე | 18,8 | 722 | 0,01 | 48 | 5,56 | 11,4 | 02.05.68 | 2,08 | 03.04 | 11.06 | 18.07 | 107 |
| ფშავ. არაგვი-მაღაროსქარი | 736 | 433 | 0,37 | 62 | 109 | 338 | 26.04.65 | 50,1 | 30.03 | 01.06 | 31.07 | 124 |

| | | | | | | | | | | | | |
|-----------------|-----|-----|------|----|------|-----|----------|------|-------|-------|-------|----|
| ალგეთი-ვარცხისი | 359 | 167 | 0,06 | 61 | 66,5 | 167 | 22.03.74 | 5,61 | 22.03 | 09.05 | 25.05 | 97 |
|-----------------|-----|-----|------|----|------|-----|----------|------|-------|-------|-------|----|

| 1 | 2 | 3 | 4 | 5 | 6 | 7 | 8 | 9 | 10 | 11 | 12 | 13 |
|-----------------------|------|-----|------|----|------|------|----------|------|-------|-------|-------|-----|
| ქცია-ხრამი-ედიკილისა | 544 | 263 | 0,14 | 55 | 69,5 | 105 | 10.04.80 | 30,6 | 25.03 | 05.05 | 30.06 | 98 |
| მაშავერა-დიდი დმანისი | 570 | 154 | 0,09 | 50 | 62,8 | 142 | 15.04.70 | 12,7 | 23.03 | 15.05 | 30.06 | 100 |
| ბოლნისი-სამწევრისი | 292 | 121 | 0,04 | 64 | 42,4 | 259 | 24.03.61 | 3,26 | 21.03 | 09.05 | 29.06 | 102 |
| იორი-ლელოვანი | 494 | 434 | 0,21 | 58 | 148 | 324 | 01.04.70 | 68,4 | 23.03 | 27.05 | 21.07 | 121 |
| ალაზანი-ბირკიანი | 282 | 900 | 0,25 | 54 | 80,9 | 365 | 06.04.75 | 34,0 | 29.03 | 05.06 | 28.07 | 122 |
| ალაზანი-შაქრიანი | 2190 | 262 | 0,79 | 60 | 276 | 486 | 11.04.67 | 124 | 20.03 | 05.06 | 30.07 | 133 |
| სტორი-ლეჩური | 203 | 637 | 0,13 | 54 | 41,5 | 88,0 | 09.04.75 | 16,0 | 29.03 | 10.06 | 20.07 | 114 |
| დიდხევი-არტანა | 78,0 | 739 | 0,06 | 52 | 19,3 | 39,8 | 19.03.64 | 7,40 | 28.03 | 18.05 | 17.07 | 112 |

შემთხვევა: ცხრილი შედგენილია წყლის კადასტრის [11] მონაცემების საფუძველზე.

ცხრილი 2.2.2. აღმოსავლეთ საქართველოს მდინარეთა წყალდიდობის
მაქსიმალური ხარჯების სტატისტიკური მახასიათებლები

| № | მდინარე - პუნქტი | წყლის ხარჯები ($\text{მ}^3/\text{წ}$) | | | | | გოგიფიციენტი | | |
|---|--------------------------|---|---------|----------|---------|-----------------------|------------------|-------------------|----------|
| | | საშუალო | უდიდესი | უმცირესი | ამპლიტ. | საშ. გვად. გად. | გარიაც. C_V | ასიმეტრ. C_s | არამდგრ. |
| 1 | მტკვარი- ქ. თბილისი | 1152 | 2450 | 448 | 2002 | 387 | 0.34 | 0.60 | 5.47 |
| 2 | დ.ლიახვი- ქებვი | 136 | 330 | 42.2 | 288 | 52.2 | 0.38 | 1.15 | 7.82 |
| 3 | ქსანი- ქორინთა | 64.3 | 262 | 16.9 | 245 | 45.6 | 0.71 | 1.89 | 15.5 |
| 4 | თ.არაგვი- ვასანაური | 61.1 | 173 | 24.8 | 148 | 30.5 | 0.50 | 1.93 | 6.98 |
| 5 | შ.არაგვი- შესართავი | 47.1 | 156 | 21.6 | 134 | 24.5 | 0.52 | 2.43 | 7.22 |
| 6 | ვ.შ.არაგვი- მაღაროსქ. | 118 | 338 | 50.1 | 288 | 57.7 | 0.49 | 1.80 | 6.75 |
| 7 | არაგვი- ქინგალი | 243 | 660 | 67.2 | 593 | 125 | 0.52 | 1.29 | 9.82 |
| 8 | ალაზანი- ბირკიანი | 75.4 | 365 | 30.0 | 335 | 54.7 | 0.72 | 3.69 | 12.2 |
| 9 | ალაზანი- შაქრიანი | 318 | 1160 | 94.3 | 1066 | 167 | 0.52 | 2.55 | 12.3 |

თავი III. ფზალდიღობების მაქსიმალური ხარჯების დინამიკა და მათი განვითარების მასშტაბები

3. 1. მდინარეთა მაქსიმალური ხარჯების სივრცულ-დროითი ცვლილების ტენდენციები

თანამედროვე პირობებში მეტად აქტუალურია პიდრომეტეოროლოგიური პროცესების სიდიდეთა ცვალებადობის დინამიკის შესწავლა, მათგან ანთროპოგენური ფაქტორებისა და კლიმატის გლობალური ცვლილების ზეგავლენის ფონზე. ადამიანთა და სხვა ფაქტორთა ზემოქმედებით, პიდროლოგიურ პროცესებში, XX ს-ის დასასრულიდან შეიმჩნევა გარკვეული ტენდენციები, რაც მათემატიკური სტატისტიკის ტერმინოლოგიით ტრენდებად იწოდება, რომელთაც აქვთ აღმავალი (მატების) ან დაღმავალი (კლების) ტენდენცია.

სადღეისოდ, მეტად მნიშვნელოვანია მდინარეთა ჩამონადენის როგორც ხარისხობრივი, ისე რაოდენობრივი დინამიკის გამოვლენა, რაც გულისხმობს ტრენდის შეფასებას. ტრენდის გამოვლენის თვალსაჩინო ხერხია მისი წრფივი აპროქსიმაციით მიღებული განტოლება:

$$T = c N + d , \quad (3.1.1)$$

სადაც T – დინამიკის საკვლევი ელემენტია, რაც ჩვენ შემოხვევაში მდინარის ჩამონადენია მაქსიმალური ხარჯების (Q_{\max} $\text{მ}^3/\text{წ}\cdot\text{მ}$) სახით;

N – მონაცემთა რიგითი ნომერია დაწყებული გარკვეული (საწყისი) წლიდან, რომლისთვისაც $N = 1$, მისი შემდეგი მნიშვნელობა იანგარიშება მიყოლებით ყოველი შემდეგი (i) წლისათვის: $N = 1 + i$;

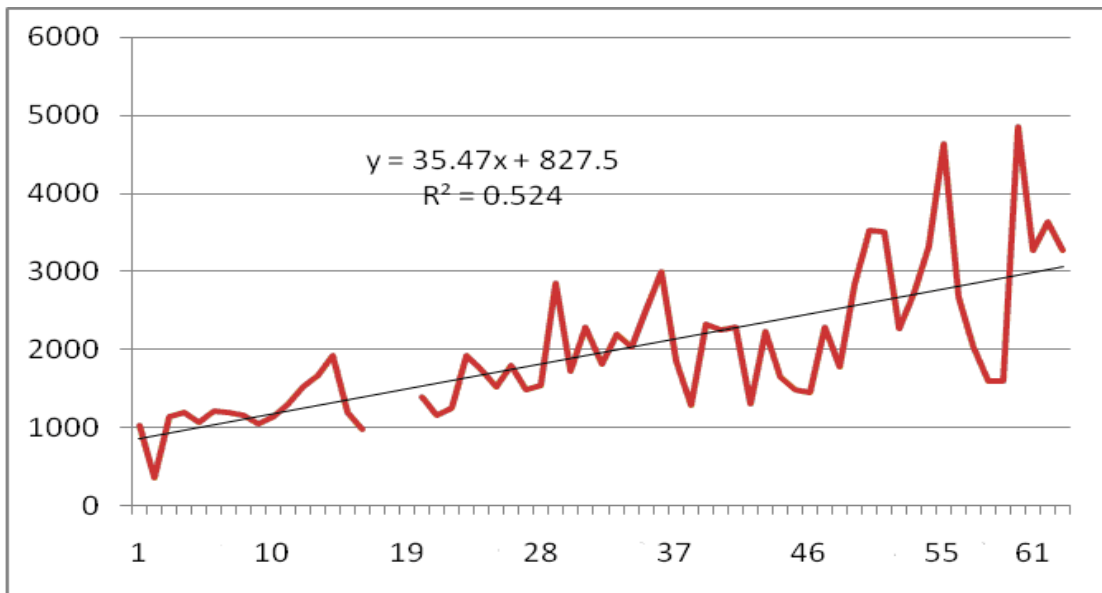
d – განტოლების მუდმივაა;

c – განტოლების კოეფიციენტი, რომლის ნიშანი (+ ან -) უჩვენებს საკვლევი T ელემენტის ცვლილების მიმართულებას, დადებითი (+) ნიშანი გამოხატავს მატებას, ანუ აღმავალ ტენდენციას, ხოლო უარყოფითი (-) ნიშანი მიუთითებს ელემენტის კლებას, ანუ დაღმავალ ტენდენციას. c პარამეტრის რაოდენობრივი მნიშვნელობა განსაზღვრავს საკვლევი ელემენტის ცვლილების ინტენსივობას.

შესწავლილი იქნა მდინარეთა მაქსიმალური ხარჯების მრავალწლიური ცვლილების დინამიკა. ნახ. 3.1.1 – 3.1.3-ზე მოცემულია მაგალითები ამ დინამიკის ამსახველი გრაფიკებისა და მათი შესაბამისი ტრენდებისა. ცხრ. 3.1.1.-ში კი მოცემულია ამ ტრენდების ამსახველი განტოლებების პარამეტრები (c და d).

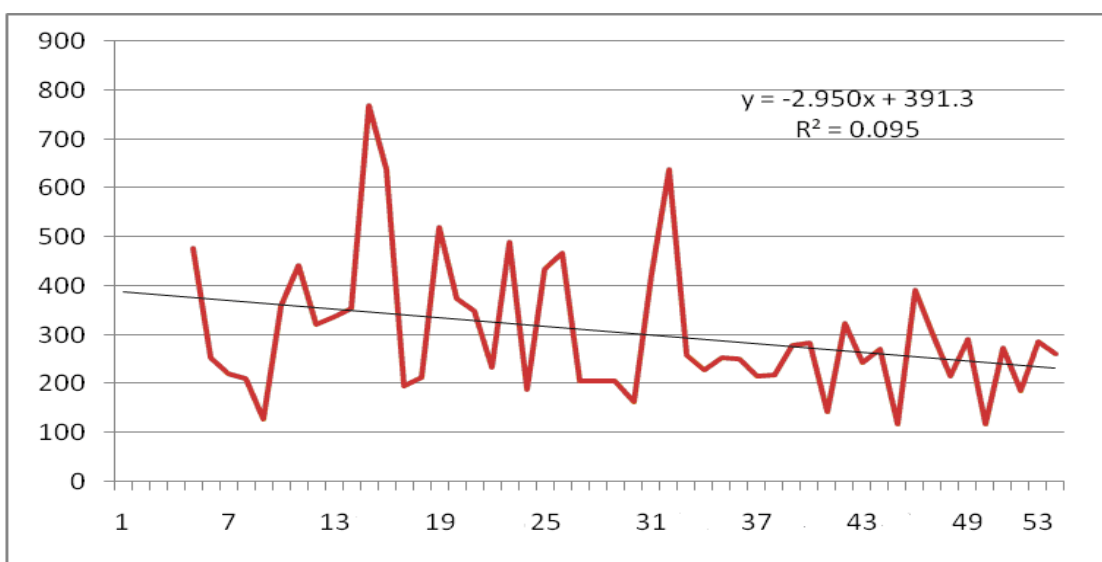
Q, $\partial^3/\nabla\partial$

A



Q, $\partial^3/\nabla\partial$

B



ნახ. 3.1.1. მაქსიმალური წყლის ხარჯების დინამიკა მდ.რიონზე (A) და აჭარისწყალზე (B)

**ცხრილი 3.1.1. მდინარეთა მაქსიმალური ხარჯების ტრენდების
პარამეტრები c და d ფორმულაში $Q_{max} = cN + d$**

| მდინარე-პუნქტი | აუზის ფართი კმ^2 | პარამეტრები | |
|--------------------------|------------------------------|-------------|-------|
| | | c | d |
| კოდორი - ლათა | 1420 | 5,923 | 310 |
| ენგური - ხაიში | 2780 | 8,500 | 319 |
| რიონი - საქოჩაკიძე | 13300 | 35,47 | 827 |
| ყვირილა - ზესტაფონი | 2490 | 0,832 | 504 |
| ჭოროხი - ერგე | 22000 | - 0,800 | 1369 |
| აჭარისწყალი - ქედა | 1360 | - 2,95 | 391 |
| მტკვარი - თბილისი | 21100 | - 0,759 | 1181 |
| დიდი ლიახვი - კეხვი | 924 | 0,848 | 115 |
| პატარა ლიახვი - ვანათი | 422 | - 0,431 | 62,1 |
| ქსანი - კორინთა | 461 | - 0,498 | 72,2 |
| თეთრი არაგვი - ფასანაური | 335 | 0,562 | 45,61 |
| ალაზანი - ბირკიანი | 282 | - 1,079 | 98,48 |
| ალაზანი - შაქრიანი | 2190 | - 1,184 | 348 |

მდ. მტკვრის მაქსიმალური ხარჯების მრავალწლიური დინამიკა ქ.თბილისთან შედგენილია 1924 წლიდან უწყვეტი დაკვირვების 67 წლიანი რიგით, რომლის მიხედვითაც შედგენილი ტრენდის წრფივი აპროქსიმაციით მიღებულია შემდეგი განტოლება:

$$Q_{max} = -0,759 N + 1181, \quad (3.1.2)$$

სადაც N წლის რიგითი ნომერი იწყება 1924 წლიდან, როცა $N = 1$.

ამ ფორმულიდან გამომდინარე, მდ. მტკვარზე ალინიშნება მაქსიმალური ხარჯების დადგანგილი ტენდენცია, ანუ კლება.

ნახ 3.1.1 – 3.1.3 და ცხრ. 3.1.1 მონაცემებიდან ირკვევა, რომ როგორც მდ.მტკვარზე, ასევე მის შენაკადებზე, დროთა განმავლობაში, მიმდინარეობს მაქსიმალური წყლის ხარჯების შემცირება და მხოლოდ ორ მდინარეზე – დიდ ლიახვსა და თეთრ არაგვზე ფიქსირდება მათი მატება, ანუ აღმაგალი ტენდენცია. მათი ტრენდების აპროქსიმაციით მიღებულია შემდეგი სახის განტოლებები: მდ. ლიახვზე – სოფ. კეხვთან 1942 წლიდან ($N = 1$):

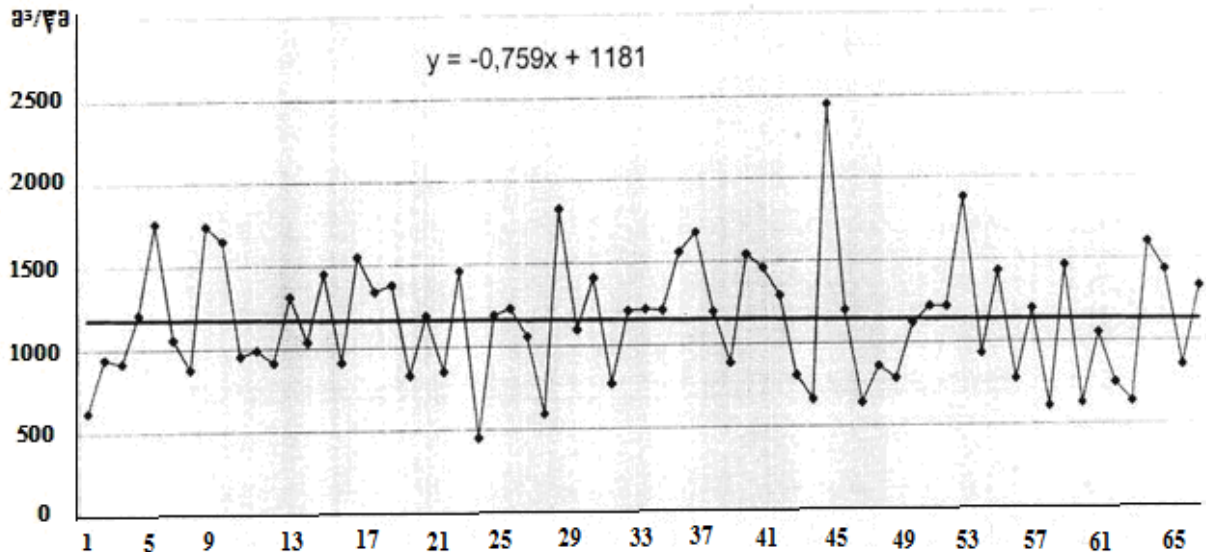
$$Q_{max} = 0,848 N + 115,4 \quad (3.1.3)$$

მდ. თეთრ არაგვზე – სოფ. ფასანაურთან 1937 წლიდან ($N = 1$):

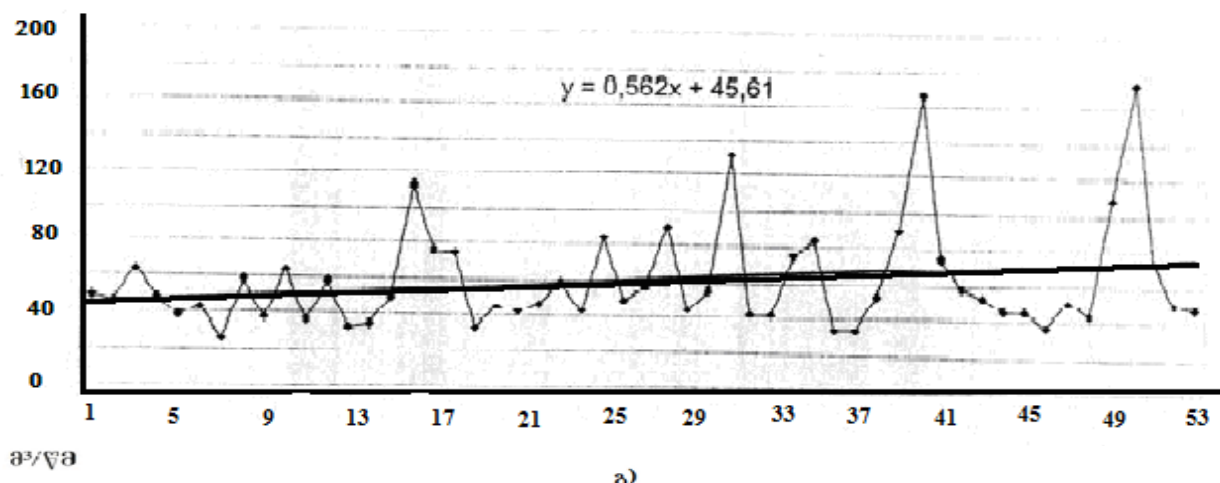
$$Q_{max} = 0,562 N + 45,61 \quad (3.1.4)$$

ამ ორ მდინარეზე მაქსიმალური ხარჯების მატების ტენდენციები გამოწვეულია იმით, რომ კლიმატის გლობალური დათბობის შედეგად, ინტენსიურად დნება

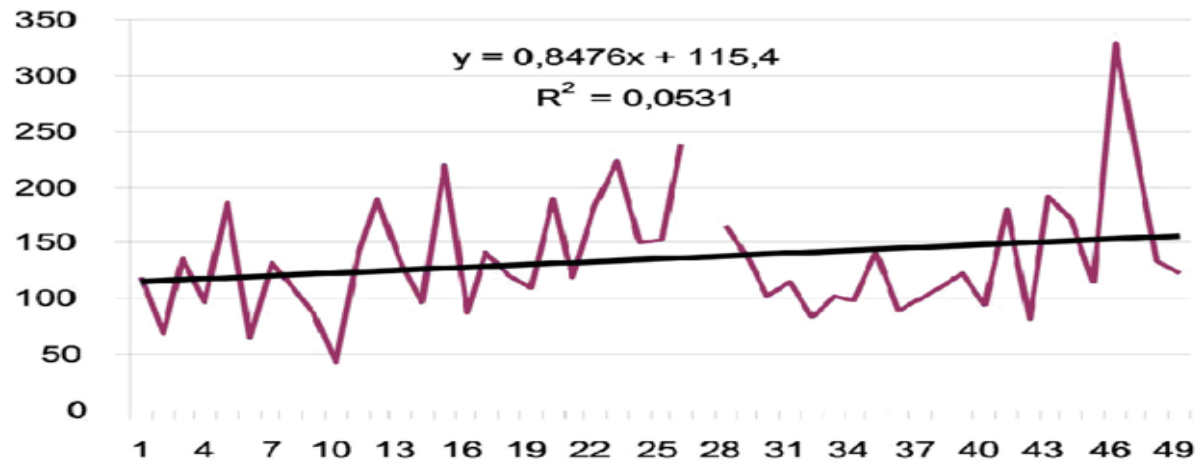
ა)



ბ)



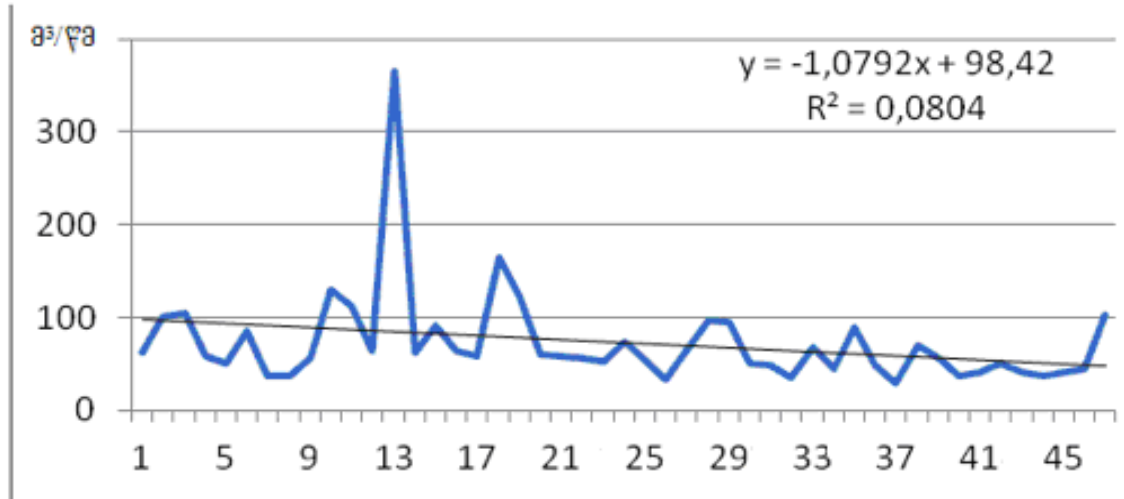
გ)



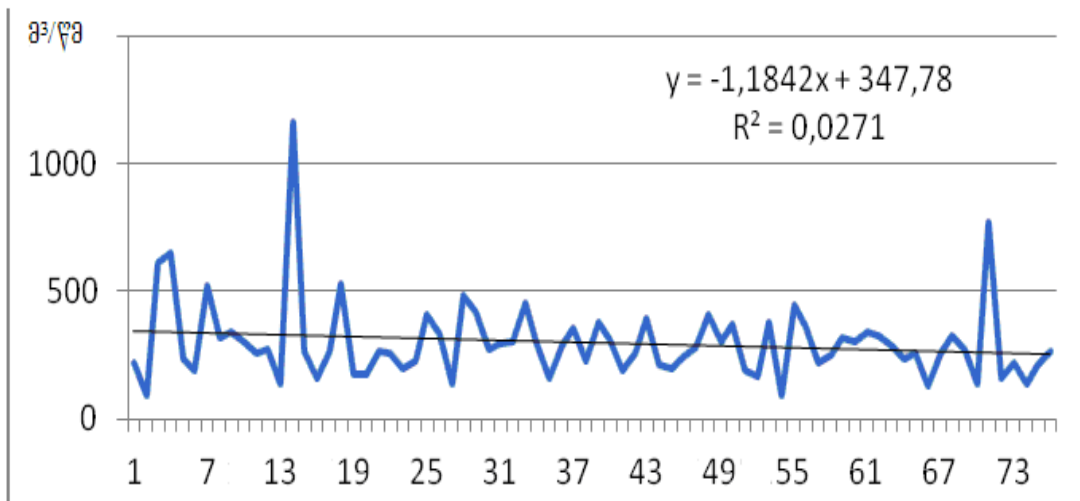
ნახ. 3.1.2. მდინარეთა წყალდიდობების მაქსიმალური ხარჯების
მრავალწლიანი დინამიკა:

- მტკვარზე – ქ.თბილისთან (1924-1990 წწ.),
- თეთრ არაგვზე – სოფ.ფასანაურთან (1937-1990 წწ.),
- დიდ ლიახვზე – სოფ.კენალთან (1942-1990 წწ.).

σ)



δ)



- ნახ. 3.1.3. მდ. ალაზნის წყალდიდობის მაქსიმალური ხარჯების
მრავალწლიანი დინამიკა:
- ა) – სოფ. ბირკიანთან (1950 – 1996 წწ.),
 - ბ) – სოფ. შაქრიანთან (1933 – 2010 წწ.).

მათ აუზებში მდებარე მყინვარები და მუდმივი თოვლის საფარი, რის შედეგადაც იზრდება მდინარეთა ჩამონადენი, გახშირდა წყალდიდობები და მათი მაქსიმალური ხარჯები. ასეთი პროცესი გამორიცხულია სხვა მდინარეებზე, სადაც არ არის მყინვარები და მუდმივი თოვლის საფარი. აქ მაღალი ტემპერატურის შედეგად, პირიქით, აუზის ზედაპირიდან იზრდება აორთქლება და მცირდება მდინარის წყლის ხარჯები.

სადღეისოდ, გრძელდება რა, გლობალური დათბობა, მოსალოდნელია პაერის ტემპერატურის კვლავ მომატება, რაც გამოიწვევს მყინვარებისა და მარადი თოვლის დნობის გაძლიერებას და შესაბამისად, ამ ზონის მდინარეთა წყალდიდობის ჩამონადენის მატებას, ხოლო იქ, სადაც არ არის მყინვარები, იქ გაიზრდება აორთქლება და შემცირდება მდინარეთა ჩამონადენი.

ამრიგად, მდ. დიდ ლიახვსა და თეთრ არაგვზე მოსალოდნელია წყალდიდობებისა და მათი მაქსიმალური ხარჯების მატება, მანამ მათ სათავეებში კავკასიონზე იარსებებს მყინვარები. მდ. მტკვარსა და მის დანარჩენ შენაკადებზე პირიქით, შემცირდება წყალდიდობები და მათი მაქსიმუმებიც. ამის დასტურია არა მარტო წარმოდგენილი მდინარეთა მაქსიმალური ხარჯების დინამიკა, არამედ აგრეთვე ცხრ. 3.1.2-ში მეტეოროლოგიურ სადგურებზე ატმოსფერული ნალექებისა და პაერის ტემპერატურის ცვლილების ამსახველი ტრენდების პარამეტრები. როგორც ირკვევა, ყველგან მოსალოდნელია პაერის ტემპერატურის გაზრდა და ნალექების შემცირება, რაც მიუთითებს იმაზე, რომ მოსალოდნელია მდინარეთა წყლის ჩამონადენის შემცირება.

ცხრილი 3.1.2. ატმოსფერული ნალექებისა და ტემპერატურის ცვლილების პარამეტრები c და d ფორმულაში $T = cN + d$

| მეტეო- სადგური | სიმა- ღლე მ. | ატმოსფერული ნალექები | | | ტემპერატურა | | |
|-------------------|--------------------|----------------------|------|-----------|-------------|-------|-----------|
| | | პარამეტრები | | დისპერსია | პარამეტრები | | დისპერსია |
| | | c | d | R2 | c | d | R2 |
| სტეფანწმ. | 3656 | - 4,613 | 1865 | 0,080 | | | |
| გუდაური | 2194 | - 1,934 | 1578 | 0,030 | 0,012 | 2,138 | 0,118 |
| ბარისახო | 1325 | - 2,466 | 1150 | 0,076 | 0,001 | 6,96 | 0,001 |
| ფასანაური | 1070 | - 1,358 | 928 | 0,034 | 0,007 | 7,95 | 0,035 |
| თელავი | 568 | - 1,182 | 831 | 0,036 | 0,005 | 12,08 | 0,022 |
| ლაგოდეხი | 362 | - 2,318 | 1086 | 0,059 | 0,767 | 301 | 0,052 |

3. 2. უდიდესი მაქსიმალური ხარჯების განვითარების მასშტაბები

მდინარეთა ჩამონადენის მდგრადობა მოცემული ლანდშაფტისათვის არ არის უცვლელი. მდინარეთა დონეები განსაკუთრებით დიდი რყევადობით გამოირჩევა გაზაფხულზე, წყალდიდობის პერიოდში, როცა ადგილი აქვს ატმოსფერული ნალექებისა და პაერის ტემპერატურის მკვეთრ ცვალებადობას. ხშირად თავსხმა წვიმებს თანხვდება თოვლის ინტენსიური დნობაც, რომლის დროსაც მდინარეებზე წარმოიქმნება დიდი წყალმოვარდნები და უდიდესი ექსტრემალური წყლის ხარჯები.

3.2.1. ცხრილში მოცემულია აღმოსავლეთ საქართველოს მდინარეთა ყველა (68) შესწავლილ პიდროკვეთზე არსებული მრავალწლიან დაკვირვებათა წლების რაოდენობა, მდინარეთა წყლის ჩამონადენის საშუალო მრავალწლიური და უდიდესი ხარჯები, აგრეთვე მათი გავლის თარიღები. აქვე გაანგარიშებულია უდიდესი მაქსიმალური და საშუალო წლიური ხარჯების შეფარდებები, რომლებიც ცნობილია ე.წ. წყალმოვარდნების აქტივობის კოეფიციენტებად და ლიტერატურაში გამოყენებულია კლიმატის თანამედროვე გლობალური დათბობის შესაფასებლად, რომელიც დღემდე გრძელდება. ამას ადასტურებს ის ფაქტი, რომ ჩვენ მიერ სადღეისოდ გამოთვლილი ეს შეფარდებები რამდენადმე აჭარბებს ადრე გ.ხმალაძის მიერ 1975 წლამდე არსებული მონაცემებით გამოთვლილ შეფარდებებს [7]. მაგალითად მდ. ჩხერზე, დაბა ყაზბეგთან ადრე ეს შეფარდება იყო 18,8. შემდგომ პერიოდში გავლილი დიდი მაქსიმუმების გამო, ის გაიზარდა 174-მდე, მდ. ვერეზე ქ. თბილისთან ადრე შეფარდება იყო 61,2, 1982 წელს გავლილმა მაქსიმუმმა (105 მ³/წმ) გაზარდა შეფარდება 107-მდე. განსაკუთრებით დიდია ეს შეფარდება მდ. შულავერის წყალზე სოფ. შაუმიანთან, რაც 260-ს შეადგენს.

შეფარდებათა ასეთი დიდი მნიშვნელობები განსაკუთრებით მცირე მდინარეებზე გამოწვეულია ძირითადად თავსხმა წვიმებით გამოწვეული უეცარი წყალმოვარდნებით წყალდიდობის დროს. ეს შეფარდებები, ანუ წყალმოვარდნების აქტივობის კოეფიციენტები, კარგად არის შესწავლილი პროფ. გ. ხმალაძის, გ. სვანიძისა და კ. ცომაიას მიერ [2, 7]. დადგენილია, რომ ეს კოეფიციენტები გაცილებით მეტია მცირე მდინარეებზე, ვიდრე დიდ მდინარეებზე. ნოტიო ჰავის პირობებში ეს კოეფიციენტები ნაკლებია, ვიდრე მშრალი ჰავის პირობებში.

**ცხრილი 3.2.1. აღმოსავლეთ საქართველოს მდინარეთა წყლის საშუალო წლიური
და უდიდესი მაქსიმალური ხარჯები მ³/წმ, მათი გავლის თარიღები**

| მდინარე პუნქტი | ფართობი კმ^2 | წლებ. რაოდ. | საშ. წლ. | მაქს. ხარჯი | მაქს. | თარიღი | |
|-------------------------|--------------------------|----------------|-------------|----------------|--------------|--------|------|
| | | | | | საშ. საშ. | თვე | წ. |
| 1 | 2 | 3 | 4 | 5 | 6 | 7 | 8 |
| თერგი - ყაზბეგი | 778 | 53 | 24.7 | 481 | 19.5 | 6VIII | 1967 |
| ჩხერი - ყაზბეგი | 27.3 | 44 | 1.32 | 230 | 174 | 6VIII | 1967 |
| მტკვარი - ხერთვისი | 4980 | 55 | 32.4 | 742 | 22.9 | 18IV | 1968 |
| მტკვარი - მინაძე | 8010 | 58 | 57.6 | 1110 | 19.3 | 18IV | 1968 |
| მტკვარი - ჩითახევი | 10400 | 35 | 69.6 | 667 | 9.58 | IV | 1969 |
| მტკვარი - ლიქანი | 10500 | 58 | 85.9 | 1520 | 17.7 | 18IV | 1968 |
| მტკვარი - გრაკალი | 16700 | 41 | 131 | 1910 | 14.6 | 19IV | 1968 |
| მტკვარი - ძეგვი | 18000 | 34 | 179 | 1930 | 10.8 | 19IV | 1968 |
| მტკვარი - ზაჟესი | 20800 | 48 | 160 | 2170 | 13.6 | 19IV | 1968 |
| მტკვარი - თბილისი | 21100 | 75 | 203 | 2450 | 12.1 | 19IV | 1968 |
| ფარავანი - არაქიალი | 584 | 42 | 7.58 | 104 | 13.7 | 8VII | 1972 |
| ფარავანი - ოროჭოლარი | 1010 | 44 | 9.89 | 77.4 | 7.83 | 28VI | 1969 |
| ფარავანი - ხერთვისი | 2350 | 55 | 18.8 | 437 | 23.2 | 18IV | 1968 |
| კორხი - არაქვა | 380 | 54 | 2.89 | 71 | 24.6 | 18IV | 1968 |
| ფოცხოვი - სხეილისი | 1730 | 62 | 22.1 | 581 | 26.3 | 18IV | 1968 |
| ქობლიანი - მლაშე | 462 | 50 | 11 | 164 | 14.9 | 27IV | 1990 |
| ურაგელი - ოხერა | 331 | 36 | 3.77 | 76 | 20.2 | 12VI | 1987 |
| აბასთუმანი - აბასთუმანი | 99 | 55 | 1.27 | 37.6 | 29.6 | 18IV | 1968 |
| წინუბნ. წე. - წინუბანი | 112 | 26 | 1.09 | 24.2 | 22.2 | 30IV | 1968 |
| ბორჯომულა - ბაგურიანი | 71 | 56 | 1.65 | 36.1 | 21.9 | 29IV | 1972 |
| ბორჯომულა - ბორჯომი | 165 | 59 | 2.56 | 99.1 | 38.7 | 20VI | 1946 |
| გუჯარ. წე. - წალვერი | 238 | 37 | 3.03 | 83.3 | 27.5 | 27IV | 1969 |
| ბანისხევი - რველი | 48 | 28 | 1.35 | 24 | 17.8 | 25III | 1975 |
| დლიახვი - ჯავა | 646 | 56 | 17.5 | 190 | 10.9 | 1VI | 1948 |
| დლიახვი - კეხვი | 924 | 55 | 27.0 | 330 | 12.2 | 1VI | 1987 |
| პლიახვი - ვანათო | 422 | 55 | 8.86 | 191 | 21.6 | 20VI | 1946 |
| მეჯუდა - ღრომი | 183 | 57 | 2.42 | 86.1 | 35.6 | 11VI | 1987 |
| ტანა - ატენი | 283 | 54 | 1.77 | - | - | 11VI | 1951 |
| ლეხურა - იგორეთი | 220 | 26 | 1.85 | 160 | 86.5 | 11VI | 1987 |
| ქსანი - კორინთა | 461 | 55 | 9.39 | 262 | 27.9 | 24VI | 1952 |
| ქსანი - ახალგორი | 612 | 17 | 9.51 | 93.9 | 9.87 | 6VI | 1977 |
| ქსანი - ქსოვრისი | 736 | 20 | 5.60 | - | - | 11VI | 1987 |
| თ.არაგვი - მლეთა | 107 | 51 | 5.48 | 68 | 12.4 | 6VIII | 1967 |
| თ.არაგვი - ფასანაური | 335 | 54 | 12.1 | 173 | 14.3 | 11VI | 1987 |
| ხოდისხევი - ცაჟე | 18.8 | 28 | 1.01 | 12 | 11.9 | 17VIII | 1967 |
| შარაგვი - შესართავი | 235 | 52 | 7.76 | 156 | 20.1 | 25VI | 1952 |
| ფშ.არაგვი - მაღაროსპ. | 736 | 32 | 19.5 | 338 | 17.3 | 1VI | 1977 |
| ვერე - თბილისი | 178 | 15 | 0.98 | 105 | 107 | 5VII | 1982 |
| ალგეთი - ფარცხისი | 359 | 52 | 8.76 | 246 | 89.1 | 17VI | 1977 |
| ქცია ხრამი - კუში | 408 | 43 | 7.19 | 83.5 | 11.6 | 18IV | 1968 |
| ქცია ხრამი - ედიკილისა | 544 | 44 | 8.36 | 105 | 12.6 | 21V | 1964 |
| ქცია ხრამი - გენერობა | 1140 | 36 | 4.99 | 194 | 38.9 | 4VII | 1972 |
| ქცია ხრამი - ჩათახი | 1420 | 31 | 4.0 | 350 | 87.5 | 4VII | 1972 |
| ქცია ხრამი - დაგეთხაჩ. | 2150 | 52 | 18.6 | 427 | 23.0 | 5V | 1952 |
| ხრამი - იმირი | 3840 | 47 | 20.9 | 572 | 27.4 | 5V | 1952 |

| 1 | 2 | 3 | 4 | 5 | 6 | 7 | |
|-------------------------|------|----|------|------|------|-------|------|
| ქცია ხრამი - წით. ხიდი | 8260 | 60 | 51.4 | 1260 | 24.5 | 16V | 1966 |
| თიქილისა - თიქილისა | 39.2 | 18 | 0.15 | 15.3 | 102 | 20VII | 1960 |
| აღრი - ბეჭთაშენი | 184 | 52 | 1.24 | 99.8 | 80.5 | 26V | 1976 |
| ჯუჯიანი - თრიალეთი | 126 | 39 | 0.71 | 151 | 213 | 4VII | 1972 |
| შავწყარო - ყიზილაჯ. | 328 | 32 | 4.35 | 236 | 54.3 | 29VI | 1972 |
| მაშავერა - დმანისი | 570 | 50 | 5.14 | 314 | 61.1 | 26VII | 1963 |
| მაშავერა - კაზრეთი | 690 | 13 | 5.27 | 305 | 57.9 | 7VII | 1981 |
| ბოლნისი - სამწევრის | 292 | 51 | 1.68 | 259 | 154 | 6VII | 1972 |
| შულავერჩ. - შაუმიანი | 116 | 55 | 0.53 | 138 | 260 | 6VII | 1972 |
| დებდა - სადახლო | 3790 | 43 | 29.3 | 479 | 16.3 | 19V | 1959 |
| იორი - ლელოვანი | 494 | 27 | 11.3 | 380 | 33.6 | 3VII | 1982 |
| იორი - ორხევი | 587 | 43 | 12.0 | 427 | 35.6 | 25VI | 1952 |
| ალაზანი - ბირკიანი | 282 | 41 | 13.9 | 365 | 26.3 | 12VII | 1962 |
| ალაზანი - შაქრიანი | 2190 | 59 | 43.4 | 1160 | 26.7 | 5VI | 1948 |
| ალაზანი - ჭიაურა | 4530 | 59 | 61.8 | 685 | 11.1 | 21V | 1936 |
| ალაზანი - ზემო ქედი | 7450 | 26 | 98.8 | 744 | 7.53 | 28V | 1963 |
| სამყურის - ხადორი | 121 | 40 | 5.64 | 112 | 19.9 | 11VII | 1962 |
| სტორი - ლეჩური | 203 | 44 | 7.72 | - | - | 2X | 1951 |
| დიდხევი - არტანა | 780 | 45 | 3.97 | 103 | 25.9 | 30IX | 1990 |
| ინწობა - საბუე | 41.4 | 38 | 1.54 | 37.2 | 24.2 | 30IX | 1970 |
| ჩელთი - შილდა | 72.2 | 39 | 2.14 | 41.5 | 19.4 | 7VII | 1968 |
| ავანისხევი - ახალსოფელი | 86 | 11 | 2.64 | 54.8 | 20.8 | 24VII | 1986 |
| ლაგოდეხ.წყ. - ნაკრძალი | 46 | 9 | 2.57 | 9.12 | 3.54 | - | - |

მთებში, სიმაღლის მატებასთან ერთად, მცირდება მათი მნიშვნელობა. მიღებულია მაქსიმალური ხარჯების ზღვრული მნიშვნელობა მდინარეთა აუზების საშუალო სიმაღლის (\bar{H}) ორი გრადაციისათვის: $H < 2000$ და $H > 2000$, მათი საშუალო წლიური ხარჯების მიხედვით – ცხრილი 3.2.2. ეს მონაცემები მეტად მნიშვნელოვანია შეუსწავლელ მდინარეთა მაქსიმალური ხარჯების ზღვრული მნიშვნელობების გასაანგარიშებლად.

დღემდე არ არსებობს მეთოდი, რომელიც სრულყოფილად აღწერდეს მდინარის ჩამონადენის ცვალებადობას, რადგან ეს ცვლილება განპირობებულია არა მარტო ადგილობრივი ფაქტორებით, არამედ, აგრეთვე, ჰელიოსინოპტიკური პროცესებითაც, რომელთა გათვალისწინება დიდ სირთულეებთანაა დაკავშირებული.

დაკვირვებათა რიგის რეეგადობის დასახასიათებლად, ჰიდროლოგიაში გამოიყენება სტატისტიკური მათემატიკის მეთოდები. მდინარეთა წყლის მაქსიმალური ხარჯების დაკვირვებათა რიგის წევრები შემთხვევით სიდიდეებს წარმოადგენს და საშუალო არითმეტიკული სიდიდიდან ვარიორებას განიცდის. ვარიაციული რიგის მთავარი მახასიათებლებია: საშუალო არითმეტიკული, მისი საშუალო კვადრატული გადახრა, ექსტრემალური მნიშვნელობები და სხვა.

**ცხრილი 3.2.2. მდინარეთა წყლის უდიდესი მაქსიმალური
ხარჯების მნიშვნელობები**

| წლიური წყლის ხარჯის ნორმა, მ³/წ | წყლის უდიდესი ხარჯი | | | |
|--|--|----------|-------------------|------|
| | აქტივობის კოეფიციენტი | | წყლის ხარჯი, მ³/წ | |
| | აუზებისათვის, რომელთა საშუალო სიმაღლეა | | | |
| < 2000 მ | > 2000 მ | < 2000 მ | > 2000 მ | |
| 1 | 180 | 50 | 180 | 50 |
| 5 | 140 | 40 | 700 | 200 |
| 10 | 90 | 35 | 900 | 350 |
| 20 | 47 | 26 | 940 | 520 |
| 30 | 35 | 21 | 1050 | 630 |
| 40 | 30 | 20 | 1200 | 800 |
| 60 | 23 | 15 | 1380 | 900 |
| 100 | 21 | 13 | 2100 | 1300 |
| 150 | 19 | 13 | 2850 | 1950 |
| 200 | 16 | | 3200 | |
| 300 | 14 | | 3600 | |
| 400 | 13 | | 5200 | |
| 500 | 12 | | 6000 | |

სამეურნეო ორგანიზაციებისათვის მეტად მნიშვნელოვანია მდინარეთა ჩამონადენის მოსალოდნელი ცვლილების გაანგარიშება, რისთვისაც გამოიყენება ალბათობის ოეორიაში ცნობილი ე.წ. უზრუნველყოფის მრუდები, რომლებიც ჩვენ მიერ გამოყენებულ იქნა წყალდიდობა-წყალმოვარდნების მაქსიმალური ხარჯების მოსალოდნელი განვითარების მასშტაბის განსაზღვრის მიზნით.

უზრუნველყოფის მრუდის ასაგებად მაქსიმალურ ხარჯებს ვალაგებთ კლებად რიგზე უდიდესიდან უმცირესობისაკენ. ეს არის განაწილების უმარტივესი სახე, რომელიც გვიჩვენებს, რომ მაქსიმალურ ხარჯს შეიძლება იმდენჯერ ჰქონდეს ადგილი დაკვირვებათა პერიოდის განმავლობაში, რამდენი წევრიცაა ამ მაქსიმალური ხარჯის ზევით კლებად რიგში. რიგის თითოეული წევრის უზრუნველყოფა გამოანგარიშებულია ცნობილი ფორმულით:

$$P\% = m'/(m + 1) \cdot 100 \quad (3.2.1)$$

სადაც m – რიგის წევრთა საერთო რაოდენობაა, ხოლო m' – თითოეული წევრის რიგითი ნომერია კლებად რიგში.

უზრუნველყოფის მრუდის ძირითადი პარამეტრებია: საშუალო არითმეტიკული სიდიდე, ცვალებადობის კოეფიციენტები – გარიაციისა (Cv) და ასიმეტრიის (Cs). გარიაციის კოეფიციენტი გამოითვლება შეფარდებით:

$$Cv = \sigma / Qo \max, \quad (3.2.2)$$

სადაც σ – მაქსიმალური ხარჯების საშუალო კვადრატული გადახრაა მათი საშუალო არითმეტიკულიდან (Qo max).

დიდი გარიაციის კოეფიციენტის დროს იზრდება მაქსიმალური ხარჯების გადახრა ნორმებიდან და – პირიქით, მცირე გარიაციის დროს მცირდება.

მაქსიმალური ხარჯების ცვალებადობას წლიდან წლამდე იწვევს, ძირითადად, კლიმატური პირობების ცვალებადობა. რეგულირებულ მდინარეებზე გარიაციის კოეფიციენტი მცირე მაჩვენებლით ხასიათდება. გარიაციის დიდი მაჩვენებლები აქვს პატარა აუზის მდინარეებს.

უზრუნველყოფის მრუდების გასაანგარიშებლად, გამოყენებული იქნა გ-ალექსეევის გრაფო-ანალიტიკური მეთოდი, რომლის შედეგები მოცემულია 3.2.3 და 3.2.4 ცხრილში. მიღებულია მდ. მტკვრისა და მისი შენაკადების 28 პიდროგვეთისათვის წყალდიდობა-წყალმოვარდნების უდიდესი მაქსიმალური ხარჯების ალბათური მნიშვნელობები 0.01, 0.1, 1, 5 და 10%-იანი უზრუნველყოფით და მათი შესაბამისი 10000, 1000, 100, 20 და 10 წლიანი განმეორებადობით.

ამასთან ერთად, მდ. მტკვრის მაქსიმალური ხარჯების სხვადასხვა უზრუნველყოფის მნიშვნელობებისათვის ქ.თბილისთან, პროფ. ვ. ცომაიამ შეადგინა ცხრილი 3.2.4, სადაც 1%-იანი ხარჯის ($3222 \text{ მ}^3/\text{წმ}$) შესახებ აღნიშნავს, რომ „მიღებულ იქნა იგივე, რაც დადგენილი იყო ი.ხერხეულიძის მიერ 1950-1960 წლებში და ადასტურებს მის რეალობას და ობიექტურობას”.

აღსანიშნავია, რომ 1980-იან წლებში, მდინარეთა მაქსიმალური ხარჯების სპეციალისტის გ. როსტომოვის მიერ, მდ. მტკვრისათვის ქ. თბილისთან, მიღებული 1%-იანი მაქსიმუმი შეადგენდა $2370 \text{ მ}^3/\text{წმ}$ [2]. 3.2.3 ცხრილში კი, 90-იანი წლების მონაცემების გათვალისწინებით, ჩვენ მიერ კი მიღებულია $2550 \text{ მ}^3/\text{წმ}$. (ცხრილი 3.2.3.)

**ცხრილი 3.2.3 მდინარეთა წყალდიღობების უდიდესი მაქსიმალური ხარჯების (Q მ³/წ) ალბათური მნიშვნელობები
სხვადასხვა უზრუნველყოფით (%) და განმეორებადობით (წლები) დასავლეთ საქართველოს მდინარეებზე**

| მდინარე – პუნქტი | აუზის ფართი (კმ ²) | აუზის საშ. სიმა- დლე (მ) | წლები | საშ.ჟ- ალო წლი- ური ხარჯი Q ₀ | საშ. მაქს. ხარჯი Q _{max} | Cv | Cs | უდიდ. ხარჯ. Q _{max} | $\frac{Q_{\text{max}}}{Q_0}$ | უზრუნველყოფა % | | | |
|--------------------|--------------------------------------|--------------------------------------|-----------|---|--|------|-----|------------------------------------|------------------------------|-----------------------|---------------|---------------|---------------|
| | | | | | | | | | | 1 | 2 | 5 | 10 |
| | | | | | | | | | | ძლი | მაღა- -კრი | წყალ- უხვი | საშ. წყალ. |
| | | | | | | | | | | განმეორებადობა (წელი) | | | |
| | | | | | | | | | | 100 | 80 | 20 | 10 |
| ბზიფი-ჯირხვა | 1410 | 1690 | 1932-1990 | 98.2 | 502 | 0.37 | 4.4 | 1890 | 19.2 | 1315 | 1100 | 844 | 669 |
| კოდორი-ლათა | 1420 | 1920 | 1931-1990 | 92.5 | 467 | 0.4 | 4.9 | 1240 | 13.4 | 1310 | 1084 | 804 | 617 |
| ენგური-ხაიში | 2780 | 2320 | 1938-1990 | 118 | 507 | 0.54 | 4.5 | 1190 | 10.1 | 1590 | 1299 | 984 | 783 |
| ნენსკრა-ლახამი | 468 | 2300 | 1930-1990 | 30.4 | 141 | 025 | 2.0 | 196 | 6.45 | 273 | 248 | 216 | 188 |
| ხობი-ლეგახარე | 310 | 1640 | 1947-1990 | 21.6 | 202 | 0.64 | 4.2 | 536 | 24.8 | 773 | 623 | 446 | 323 |
| რიონი-ონი | 1060 | 2260 | 1935-1990 | 44.8 | 178 | 0.34 | 0.6 | 382 | 8.93 | 319 | 300 | 277 | 255 |
| რიონი-ალპანა | 2830 | 1810 | 1919-1990 | 103 | 630 | 0.43 | 4.2 | 1470 | 14.3 | 1808 | 1506 | 1134 | 880 |
| რიონი-საქოჩაკიძე | 13300 | | 1928-1990 | 399 | 1805 | 0.4 | 1.5 | 5500 | 13.8 | 4236 | 3805 | 3236 | 2776 |
| ყვირილა-ზესტაფონ | 2490 | 960 | 1930-1990 | 60.7 | 513 | 0.34 | 0.5 | 1100 | 18.1 | 1070 | 896 | 807 | 732 |
| ძირულა-წევა | 1190 | 880 | 1932-1990 | 26 | 300 | 0.3 | 2.7 | 595 | 22.9 | 655 | 581 | 481 | 408 |
| ჩხერიმელა-ხარაგ. | 398 | 1100 | 1941-1990 | 12.1 | 93.0 | 0.50 | 1.8 | 215 | 17.8 | 255 | 225 | 186 | 154 |
| ხანისწყ-ბალდათი | 655 | 1230 | 1937-1990 | 15.9 | 118 | 0.48 | 1.2 | 209 | 13.1 | 294 | 264 | 226 | 193 |
| ცხენისწყ-ლუჯი | 506 | 2240 | 1933-1975 | 24.4 | 115 | 1.03 | 5.2 | 188 | 7.70 | 657 | 508 | 320 | 201 |
| ცხენისწყალი-ხიდი | 1950 | 1800 | 1930-1990 | 42.1 | 361 | 0.6 | 2.2 | 721 | 1701 | 1156 | 998 | 797 | 650 |
| ტეხური-ნაქალაქევი | 558 | 1160 | 1938-1990 | 33.6 | 291 | 046 | 3.2 | 574 | 15.2 | 804 | 680 | 529 | 418 |
| სუფსა-ხიდმაღალა | 1100 | 970 | 1940-1990 | 50.8 | 484 | 0.39 | 3.2 | 692 | 13.6 | 1219 | 1043 | 839 | 702 |
| ნატანაები-ნატანები | 469 | 880 | 1930-1990 | 24.8 | 301 | 062 | 1.7 | 708 | 28.5 | 948 | 831 | 673 | 549 |
| ჭოროხი-ერგე | 22000 | | 1930-1990 | 324 | 1382 | 0.56 | 4 | 3840 | 11.9 | 4803 | 3965 | 3000 | 2392 |
| აჭარისწყ-ხულო | 251 | 1500 | 1941-1990 | 8.28 | 81.9 | 0.48 | 4.8 | 189 | 22.8 | 259 | 212 | 153 | 114 |
| აჭარისწყ-ქედა | 1360 | 1470 | 1941-1990 | 46.1 | 342 | 0.49 | 1.6 | 770 | 16.7 | 905 | 805 | 671 | 564 |

**ცხრილი 3.2.4 მდინარეთა წყალდიდობების უდიდესი მაქსიმალური
ხარჯების (Q მ³/წმ) ალბათური მნიშვნელობები სხვადასხვა
უზრუნველყოფით (%) და განმეორებადობით (წლები)
აღმოსავლეთ საქართველოს მდინარეებზე**

| უზრუნველყოფა % | 0.01 | 0.1 | 1 | 2 | 10 |
|-----------------------------|--------------|--------|--------|---------|------|
| განმეორებადობა (წლები) | 10000 | 1000 | 100 | 20 | 10 |
| წყალმოვარდნის დახასიათება | კატასტროფული | ძლიერი | მაღალი | საშუალო | |
| მტკვარი - ხერთვისი | 3650 | 1820 | 950 | 565 | 450 |
| მტკვარი - ლიკანი | 4250 | 2530 | 1560 | 1060 | 880 |
| მტკვარი - თბილისი | 5560 | 3820 | 2550 | 1910 | 1760 |
| ფოცხოვი - სხვილისი | 1250 | 860 | 550 | 370 | 300 |
| აბასთუმანი - აბასთუმანი | 94 | 73 | 40 | 26 | 21 |
| დიდი ლიახვი - კეხვი | 2800 | 1200 | 470 | 200 | 134 |
| პატარა ლიახვი - კეხვი | 660 | 500 | 350 | 260 | 220 |
| ქსანი - კორინთა | 960 | 560 | 293 | 165 | 124 |
| არაგვი - ჟინვალი | 1500 | 1000 | 700 | 500 | 420 |
| ფშავის არაგვი - მაღაროსკარი | 740 | 530 | 340 | 245 | 200 |
| თეთრი არაგვი - ფასანაური | 500 | 324 | 200 | 130 | 80 |
| შავი არაგვი - შესართავი | 420 | 266 | 160 | 104 | 85 |
| იორი - ლელოვანი | 1450 | 900 | 520 | 315 | 248 |
| ალაზანი - ბირკიანი | 2300 | 1000 | 350 | 170 | 122 |
| ალაზანი - შაქრიანი | 2650 | 1730 | 1080 | 700 | 550 |
| დურუჯი - ყვარელი | 5.00 | 3.80 | 2.70 | 2.00 | 1.70 |
| ფარავანი - ხერთვისი | 355 | 264 | 188 | 140 | 120 |
| ბორჯომულა - ბორჯომი | 305 | 178 | 100 | 58 | 46 |
| გუჯარეთისწყალი - წაღვერი | 180 | 128 | 91 | 64 | 53 |
| ვერე - თბილისი | 330 | 192 | 100 | 56 | 42 |
| ალგეთი - ფარცხისი | 1200 | 630 | 300 | 144 | 100 |
| ქცია-ხრამი - ედიკილისა | 170 | 140 | 120 | 104 | 97 |
| ხრამი - იმირი | 1700 | 1080 | 650 | 400 | 325 |
| ხრამი - წითელი ხიდი | 2840 | 1900 | 1200 | 800 | 650 |
| მაშავერა - დიდი დმანისი | 1500 | 700 | 315 | 160 | 115 |
| ბოლნისი - სამწევრისი | 2070 | 840 | 310 | 115 | 70 |
| დებედა - სადახლო | 2550 | 1600 | 970 | 600 | 355 |

თავი IV. საპროგნოზო ეფექტურობის ინდიკატორის

შპერისობის პირობები

4.1. მთის მდინარეთა ჩამონადენის ფორმირებისა და პროგნოზირების თავისებურებანი

მდინარეთა წყლის ხარჯების პროგნოზირება განსაკუთრებით მთის მდინარეებზე წარმოადგენს ყველაზე რთულ პრობლემას ჰიდროლოგიაში. საქართველოს მდინარეთა რეზიმი და ჩამონადენის თავისებურება განისაზღვრება მდინარეთა აუზების ზედაპირის ხასიათისა (სიდიდე, კონფიგურაცია, დახრილობა, მდინარეთა ქსელის სიმჭიდროვე, ზედაპირის მდგომარეობა და სხვ) და კლიმატური პირობების სხვადასხვაობით.

რთული მთიანი რელიეფის პირობებში, მდინარეთა ჩამონადენის ფორმირებაში დიდ როლს თამაშობს აუზის ზედაპირის გეოტიკალური ზონალობა, რომელიც თითოეული მდინარის აუზში გარკვეული თავისებურებებით გამოირჩევა. ამიტომ მათი ჩამონადენის განაწილება სივრცესა და დროში სხვადასხვა იქნება. ამის გამო ყოველი მდინარის აუზისათვის შემუშავებულ უნდა იქნეს ინდიგიდუალური საპროგნოზო მეთოდი.

განსაკუთრებით დიდ სირთულეს ქმნის მთებში მოსული ნალექების არათანაბარი განაწილება. წყლის ხარჯები მდინარეებზე ფორმირდება როგორც წვიმისა და თოვლის დნობის ერთობლივი მოქმედებით, ასევე მხოლოდ წვიმის წყლებით დაბლობ რაიონებში. მაღალ მთებში კი მნიშვნელოვანია ნადნობი წყლების როდი წყლის ხარჯების ფორმირებაში.

მდინარის საზრდოობაში მნიშვნელოვანი როდი ეპუთგნის გრუნტის წყლებსაც, ამიტომ პროგნოზირების დროს აუცილებელია მათი გათვალისწინება წინა საპროგნოზო პერიოდის მდინარის ჩამონადენის სახით. აღსანიშნავია, რომ ზამთარში დათბობის, კ.წ. ლელმების დროს დაბლობ ადგილებში ხდება თოვლის ნაადრევი დნობა წყალდიდობის დაწყებამდე, რაც ამზადებს აუზის ზედაპირს და ხელს უწყობს ნიადაგის დატენიანებას, რათა წყალდიდობის დროს თოვლის დნობისას ზედაპირული ჩამონადენი დანაგარგების გარეშე სწრაფად ჩაგიდეს მდინარის კალაპოტში. თუ დათბობის დროს მოხდა თოვლის წყლის დანაგარგები, ის აისახება ზამთრის პერიოდის მდინარის ჩამონადენში და ამიტომ პროგნო-

ზირებისას აუცილებელია როგორც ზამთრის პერიოდის პაკინის ტემპურატურების, ისე შდინარის წყლის ხარჯების გათვალისწინება.

აღსანიშნავია, რომ ზამთრის დათბობების დროს თოვლის დანაკარგები არ აღირიცხება ზამთრის ნალექების ჯამში, რომელიც ხშირად გამოიყენება თოვლის მარაგის შესაფასებლად. ამ მიზნით უმჯობესია გამოვიყენოთ თოვლში წყლის მარაგის მნიშვნელობა, რომელსაც ჩვენ თოვლის წყალშემცველობას გუწოდებთ. ვინაიდან მაღალმთიანი ჰეტეოსადგურები აღარ მოქმედებენ, ამიტომ შდინარის ჩამონადენის პროგნოზირებისათვის გამოყენებულ უნდა იქნეს თოვლ - აგეგმვის, პერძოდ კი მარტინტული თოვლ - აგეგმვის მონაცემები, რომლებიც ასე თუ ისე ყოველ წელს ტარდება მარტის თვეში, როდესაც ფიქსირდება მათი მაქსიმალური თდენობა შდინარეთა აუზების სხვადასხვა სიმაღლეებზე. მაგრამ შდინარეთა აუზების რთული რელიეფი ზღუდავს, თოვლ - აგეგმვის ზედა საზღვარს, რაც არ იძლევა საშუალებას, განისაზღვროს შდინარის აუზში თოვლის წყალ-შემცველობის საშუალო მნიშვნელობა.

გაზაფხულზე შდინარეთა ჩამონადენი ფორმირდება თოვლისა და წვიმის წყლების შერეული საზრდოობით, სადაც ჭარბობს თოვლის წყლები, უფრო გვიან მაის - ივნისში კი ჩამონადენის ფორმირებაში წვიმის წყლები დომინირებენ. უკვე არსებული გამოკვლეულებით დადგენილია, რომ თოვლის ნადნობი წყლების ჩამონადენის კოეფიციენტი წყალდიდობის დროს შეადგენს $0.30 - 0.65$, ხოლო წვიმის წყლებით მიღებული ჩამონადენის კოეფიციენტი $0.15 - 0.25$, კ.ი. თოვლის ნადნობი წყლები ხვდება შდინარეში 1.5 -ჯერ ნაკლები დანაკარგებით, გიდრე წვიმის წყლები. ეს გამოწვეულია იმით, რომ თოვლისაგან გათავისუფლებულ დაბლობ რაიონებში მოსული წვიმის დიდი ნაწილი ჩაიუთნება ნიადაგში, ნაწილი კი უკვე მაღალი ჰაერის ტემპურატურის გამო ჰაერში თრთქლდება. ამიტომ წყალდიდობის ჩამონადენში თოვლის ნადნობი წყლების წილი დაახლოებით 60% -ია. შდინარეთა წყლის ხარჯების პროგნოზირებისათვის უკეთესი იქნება თოვლის მარაგის მახასიათებლების გამოყენება, რაც მეტად ხელსაყრელია თპერატიული პროგნოზების გაცემისათვის მარტში, როდესაც უკვე არსებობს თოვლის წყალ-შემცველობის მაქსიმალური მნიშვნელობები.

შდინარის ჩამონადენის პროგნოზირების საკითხი პირველ რიგში დამოკიდებულია ჰიდრომეტეოროლოგიური ქსელის დაკვირვების პუნქტების

რაოდენობაზე, მათ განლაგებაზე, დაკვირვების რიგზე, მის სისწორეზე და, რაც მთავარია, მათ ინფორმაციულობაზე. საპროგნოზოდ შეიძლება მხოლოდ იმ პუნქტების გამოყენება, რომლებიდანაც რეგულარულად მიღება შესაბამისი თქერატიული ინფორმაცია.

გინაიდან პიდროლოგიური დაკვირვების მონაცემები წყლის ხარჯებზე არსებობს მხოლოდ 1990 წლამდე, ამიტომ მოქმედი პუნქტებიდან აღებულია ყველა მასალა, არსებული დაკვირვების მთელი რიგები 1990 წლის ჩათვლით. ამისდა შესაბამისად არსებული დაკვირვების რიგები შეადგენს, მაგალითად, მდ. მტკვარზე – 75 წელს, მდ. თეთრ არაგვზე – 54 წელს, მდ. ქცია - ხრამზე – 47 წელს.

პიდროლოგიური მონაცემები მდინარეთა წყლის ხარჯების შესახებ აღებულია „წყლის კადასტრიდან“, რომელთა ხარისხი დამაკმაყოფილებულია. მეტეოროლოგიური მონაცემები ატმოსფერული ნალექებისა და პაერის ტემპერატურის შესახებ აღებულია შეტესადგურების მონაცემებიდან.

მონაცემები მდინარეთა აუზებში მდებარე თოვლი - აგეგმვის მარშრუტების მრავალწლიური დაკვირვების მასალები თოვლის წყალშემცველობის შესახებ სიმაღლითი ზონების მიხედვით არსებობს ძირითადად გასული საუგუნის 50-იანი წლებიდან. საპროგნოზო დამოკიდებულებათა შემუშავების დროს, ინიციატივა რა ერთიანი პარალელური რიგები ყველა მონაცემებისა, მდინარის ხარჯების გრძელი რიგები ზოგჯერ მოგლდებოდა თოვლის, ნალექებისა და პაერის ტემპერატურების რიგების შესაბამისად.

აღსანიშნავია, რომ არსებული საინფორმაციო მეტეოპუნქტების მონაცემები არ ახასიათებს მაღალმთიან პირობებს 2000 მ-ის ზევით. თუ გავითვალისწინებთ, რომ განსახილველ მდინარეთა აუზები მოიცავს უფრო მაღალი სიმაღლითი ზონების ვრცელ ტერიტორიებს, ინფორმაცია მეტეოროლოგიური ფაქტორებისა აღნიშნული მეტეოპუნქტებიდან არ იქნება მახასიათებელი მდინარეთა აუზებში არსებული პირობებისა და ამიტომ რთული იქნება მათი გამოყენებით კარგი შეფასების პროგნოზების მიღება.

პაგალითად მდ. ენგურზე, სოფ. ხაიშთან, წყალშემცრები აუზის 700 მ-დან 5026 მ-დე სიმაღლით დიაპაზონში მხოლოდ ერთი მეტეოროლოგიური სადგურის (შესტიას) მონაცემებია, რომელიც 1441 მ. სიმაღლეზე მდებარეობს, მაშინ

ცხრილი 4.1.1.

**საპროგნოზო პიდროლოგიური კვეთები, მათი პიდროგრაფიული მახასიათებლები
და გამოყენებული დაკვირვების რიგები**

| მდინარე-პუნქტი | აუზის ფართობი | მდინარის სიგრძე | აუზის საშუალო სიმაღლე | კვეთის ნიშნულის სიმაღლე | აუზის საშუალო დახრი- ლობა | მდინარის საშუალო დახრი- ლობა | აუზის ტყიანობა | დაკვირვების რიგი | რიგის სიგრძე |
|--------------------------|------------------|--------------------|-----------------------------|-------------------------------|------------------------------------|---------------------------------------|-------------------|---------------------|-----------------|
| | δ^2 | δ^3 | θ | θ | % | % | % | წლები | n წელი |
| აღმ.გუმისთა-სოხუმპესი | 114 | 20 | 1700 | 417 | 497 | 74 | 65 | 1937-1980 | 39 |
| ენგური-ს.ხაიში | 2780 | 97 | 2320 | 529 | 424 | 18 | 46 | 1938-1985 | 46 |
| რიონი-ს.ალპანა | 2830 | 102 | 1810 | 363 | 322 | 20 | 43 | 1936-1985 | 50 |
| ყვირილა-ქ.ჭესტაფონი | 2490 | 98 | 960 | 150 | 224 | 12 | 52 | 1937-1990 | 54 |
| ხანისწყალი-ს.ბალდათი | 655 | 38 | 1230 | 198 | 319 | 44 | 91 | 1937-1990 | 54 |
| აჭარისწყალი-ს.ქედა | 1360 | 68 | 1470 | 172 | 346 | 20 | 67 | 1942-1980 | 39 |
| დიდი ლიახვი-ს.ქეხვი | 924 | 59 | 2100 | 960 | 373 | 26 | 25 | 1942-1990 | 47 |
| ქსანი-ს.კორინთა | 461 | 46 | 1830 | 910 | 260 | 29 | 50 | 1941-1990 | 50 |
| თეთრი არაგვი-ს.ფასანაური | 335 | 41 | 2140 | 1047 | 362 | 37 | 22 | 1937-1990 | 54 |
| შავი არაგვი-შესართავი | 235 | 29 | 2030 | 1070 | 416 | 57 | 27 | 1939-1990 | 52 |
| ფშავ. არაგვი-მაღაროსკარი | 736 | 38 | 2060 | 921 | 452 | 25 | 40 | 1959-1990 | 32 |
| არაგვი-ს.ჩინთი | 1900 | 28 | 1890 | 718 | 388 | 19 | 45 | 1936-1985 | 50 |
| ალაზანი-ს.ბირკიანი | 282 | 9 | 2200 | 758 | 469 | 59 | 42 | 1950-1990 | 41 |
| ალაზანი-ს.შაქრიანი | 2190 | 72 | 1260 | 342 | 270 | 14 | 61 | 1936-1990 | 54 |

როდესაც აუზის საშუალო სიმაღლე 2320 მ-ს შეადგენს. აქ თოვლ - აგეგმვის მარშრუტებიც არ აშუქებს ამ საშუალო სიმაღლეს.

მდ. არაგვის აუზის 79% მდებარეობს 1000 მ-ზე მაღლა. ინფორმაცია კი მიიღება მხოლოდ 1070 მ-ზე მდებარე ფასანაურიდან, სადაც განთავსებულია საპროგნოზო პიდროპგეთი თეთრი არაგვისათვის.

ადსანიშნავია, რომ არაგვის აუზში ადრე მოქმედი შეტეოსადგურები იყო: ყაზბეგი – 3653 მ, ჯვრის უდ. – 2400 მ, გუდაური – 2194 მ და სხვა, რომელთა ინფორმაცია იყო რეპრეზენტატიული როგორც თვით არაგვის, ისე მეზობელი სხვა მდინარეების (ლიახვი, ქსანი, იორი) ჩამონადენის საპროგნოზოდ. მათ შორის იყო აგრეთვე მდ. მტკვარიც.

ამრიგად, არსებული შეზღუდული ინფორმაციული მონაცემები არ ასახავს მდინარეთა ჩამონადენის ფორმირების რეალურ სურათს და ამიტომ არ არის ხელსაყრელი პროგნოზირებისათვის.

4.2. საპროგნოზო მეთოდოლოგიის აღწერა

საქართველოს მდინარეთა ჩამონადენის მაფორმირებელი ფაქტორები ცალკეული მდინარის აუზში სხვადასხვა ხასიათს ატარებს, როგორც დროში, ისე სიგრცეში და ამიტომ ისინი არ წარმოიქმნებიან და არ მიმდინარეობენ ერთდროულად, არ არიან იდენტურები და ამრიგად, გამოირჩევიან ინდივიდუალური თავისებურებებით. ამის გამო ცალკეული მდინარისათვის საჭიროა შემუშავდეს სხვადასხვა საპროგნოზო მეთოდიკა.

თანამედროვე პიდროლოგიურ საპროგნოზო მოდელების ზოგად ფიზიკურ საფუძველს წარმოადგენს წყლის ბალანსის განტოლების ამონენა საპროგნოზო პერიოდისათვის, რომელშიც მრავალი სხვადასხვა ელემენტი (ჩამონადენი, ნალექები, ჰაერის ტემპერატურა, ათრთქლება, კონდენსაცია, ინფილტრაცია, ტრანსპირაცია და სხვა) შედის. ამ მოდელების გამოყენება შესაძლებელია იქ, სადაც გარგად არის განვითარებული პიდრომეტეოროლოგიური ქსელი და რეგულარულად მიიღება სათანადო ინფორმაცია მდინარის აუზის სხვადასხვა სიმაღლითი ზონიდან, რითაც ხდება მდინარის ჩამონადენის ფორმირების რეალური პირობების აღრიცხვა.

ჩვენ შემთხვევაში მცირე, მეტად შეზღუდული ინფორმაციის გამო, ვერ ხერხდება განხილულ მდინარეთა ჩამონადენის ფორმირების კანონზომიერებათა დადგენა ობიექტურად და მათ მიხედვით საპროგნოზოდ თანამედროვე რთული განეტიკური სახის მოდელების გამოყენება.

საქართველოს მდინარეთა ჩამონადენი ძირითადად, ფორმირდება მაღალმთიან ზონებში, სადაც რთული ბუნებრივი პირობების გამო, პიდრომეტეოროლოგიურ ელემენტებზე დაკვირვება შეუძლებელია, რის გამოც პროგნოზირებისათვის საჭირო მასალების დეფიციტიან გვაქვს საქმე. ზოგიერთი მდინარის აუზში სულ არ არის დაკვირვების პუნქტი, ზოგიერთში კი მხოლოდ ერთია და ისიც ისეთ ზონაში, რომელიც არ აღწერს მდინარის ჩამონადენის რეალურ სურათს.

ამრიგად, მთის მდინარეთა აუზებში პიდროლოგიური პროცესების არათანაბრობა, გამოწვეული გეოგრაფიული გარემოს არაერთგაროვნებით, და უგილურესად შეზღუდული საწყისი ინფორმაცია ქმნის დიდ სირთულეებს მრავალრიცხოვანი მოქმედი ფაქტორების ურთიერთგაფშირის რთული პროცესების გარკვევაში და გვაიძულებს, გეძებოთ მიახლოებითი დამოკიდებულებები, რომლებიც მხოლოდ ძირითად ფაქტორებს ითვალისწინებენ.

იმისათვის, რომ გამოვავლინოთ ჩვენს ხელთ არსებული საინფორმაციო მასალებიდან პროგნოზირებისათვის რეპრეზენტატიული ფაქტორები, განსაკუთრებული ყურადღება უნდა მიექცეს მათ დამოკიდებულებათა შესწავლას საპროგნოზო ჩამონადენზე. ამისათვის გიყენებთ კორელაციური ანალიზის მეთოდს საპროგნოზო მდინარის მაქსიმალურ ხარჯებსა და წინა პერიოდის ჩამონადენს, ატმოსფერულ ნალექებს, თოვლის წყალშემცველობასა და ჰაერის ტემპერატურასთან. ასეთი ანალიზის საფუძველზე, ცალკეული მდინარის ჩამონადენის ფორმირების ფიზიკური არსის გათვალისწინებით, გადგენთ პირველდაწყებით გაფართოებულ საპროგნოზო მოდელს ყველა შესაძლებელი მოქმედი ფაქტორის გათვალისწინებით.

ამრიგად, მდინარეთა წყლის ხარჯების პროგნოზირებისათვის გიყენებთ მრავალფაქტორიან სტატისტიკურ მოდელს [21, 22], რომელიც შეიცავს სტანდარტული პიდრომეტეოროლოგიური დაკვირვების ოპერატიულ ინფორმაციულ მონაცემებს მდინარეთა ჩამონადენის (Q მ³წ), ატმოსფერული ნალექების

(P მმ), პაერის ტემპერატურისა (Θ °C) და თოვლის წყალშემცველობის (W მმ) შესახებ გარკვეულ სიმაღლით ზონაში, რომელთა ინფორმაცია არსებობს პროგნოზების გაცემის წინ:

$$Q_{t+T} = f(P_{t0}, \Theta_{t0}, Q_{t0}, P_{t0+1}, \Theta_{t0+1}, Q_{t0+1}, \dots \\ \dots P_{t-1}, \Theta_{t-1}, W_{t-1}, Q_{t-1}, P_t, \Theta_t, W_t, Q_t, \Theta_T, P_T), \quad (4.2.1)$$

სადაც t_0 ფაქტორების ათვლის საწყისი დროა, T – საპროგნოზო პერიოდის ხანგრძლივობა (დროულობა-წინსწრება), Q_{t+T} – მდინარის წყლის ხარჯის პროგნოზი გაცემული t დროის მომენტში.

საპროგნოზო (4.2.1.) მოდელში, ფაქტორების დანაწევრებით ცალკეული პერიოდის მაჩვენებლებად, გათვალისწინებულია პიდრომეტეოროლოგიური ელემენტების დინამიკის მოქმედება მდინარის მომავალ ჩამონადენზე. მაგალითად, წყალდიდობის პერიოდის წყლის ხარჯზე სხვადასხვანაირად მოქმედებს შემოდგომაზე, ზამთარში და გაზაფხულზე მოსული ნალექები.

(4.2.1.) მოდელში, ფაქტორების კომბინირების მოქმედების განხილვას მართალია ბევრი დადებითი მხარე აქვს, მაგრამ საპროგნოზო დამოკიდებულებაში ბევრი ცვლადების შეყვანა არ არის გამართლებული არც თეორიულად, რადგან ამით მცირდება შესაბამისი საპროგნოზო განტოლების მდგრადობა, და არც მისი პრაქტიკული მოხმარების თვალსაზრისით თპერატიული ინფორმაციის უკმარისობის გამო.

ამრიგად, საპროგნოზო დამოკიდებულების შედგენისათვის საჭიროა პრედიქტორების ოდენობისა და მათი ხარისხის შერჩევა. ყველა საგარაულო ფაქტორებიდან უნდა შეირჩეს ყველაზე თპტიმალური ნაერთი საპროგნოზო პრედიქტორებისა. პრაქტიკული მოხმარების თვალსაზრისით უმჯობესია მინიმალური რაოდენობის პრედიქტორების გამოყენებით მიგიდოთ მაქსიმალური სიზუსტე და დროულობა საპროგნოზო (T) პერიოდში მოქმედი ფაქტორების გარეშე, რომელთა გრძელებადიანი პროგნოზირება ჯერჯერობით ვერ ხერხდება.

ამის განსახორციელებლად ვიყენებთ გარკვეულ მათემატიკურ კრიტერიუმებს [23, 24]. პირველ რიგში მრავალფაქტორიანი მოდელიდან (4.2.1.) გამოვრიცხავთ ნაკლებად უფექტურ და დუბლირებულ ფაქტორებს. შემდეგ დარჩენილი ფაქტორებიდან მრავალბიჯიანი გამორიცხვის მეთოდის [25] გამოყენებით ვადგენთ თპტიმალურ საპროგნოზო მოდელს.

პრედიქტორების ასეთი თბილებური შერჩევის შემდეგ ვსაზღვრავთ ამ განვითარის რიცხობრივ ხარისხს. საპროგნოზო დამოკიდებულებათა ყველა შესაძლებელი გარიანტების გამოსაკვლევად ვიყენებთ მრავალფაქტორიან დამოკიდებულებათა პირდაპირ და შებრუნებულ გაშლას, როდესაც გამოიანგარიშება განტოლებათა თრი სისტემა ცალკეული პრედიქტორების დამატებით:

$$\begin{aligned} \mathbf{Y}^I &= a_0^I + a_1^I \mathbf{X}_1; \\ \mathbf{Y}^{II} &= a_0^{II} + a_1^{II} \mathbf{X}_1 + a_2^{II} \mathbf{X}_2; \\ \mathbf{Y}^{III} &= a_0^{III} + a_1^{III} \mathbf{X}_1 + a_2^{III} \mathbf{X}_2 + a_3^{III} \mathbf{X}_3; \\ \cdot &\quad \cdot \quad \cdot \\ \mathbf{Y}^{(m)} &= a_0^{(m)} + a_1^{(m)} \mathbf{X}_1 + a_2^{(m)} \mathbf{X}_2 + a_3^{(m)} \mathbf{X}_3 \dots + a_m^{(m)} \mathbf{X}_m. \end{aligned} \quad (4.2.2.)$$

$$\begin{aligned} \mathbf{Y}^I &= b_0^I + b_1^I \mathbf{X}_m; \\ \mathbf{Y}^{II} &= b_0^{II} + b_1^{II} \mathbf{X}_m + b_2^{II} \mathbf{X}_{m-1}; \\ \mathbf{Y}^{III} &= b_0^{III} + b_1^{III} \mathbf{X}_m + b_2^{III} \mathbf{X}_{m-1} + b_3^{III} \mathbf{X}_{m-2}; \\ \cdot &\quad \cdot \quad \cdot \\ \mathbf{Y}^{(m)} &= b_0^{(m)} + b_1^{(m)} \mathbf{X}_m + b_2^{(m)} \mathbf{X}_{m-1} + b_3^{(m)} \mathbf{X}_{m-2} \dots + b_m^{(m)} \mathbf{X}_1. \end{aligned} \quad (4.2.3.)$$

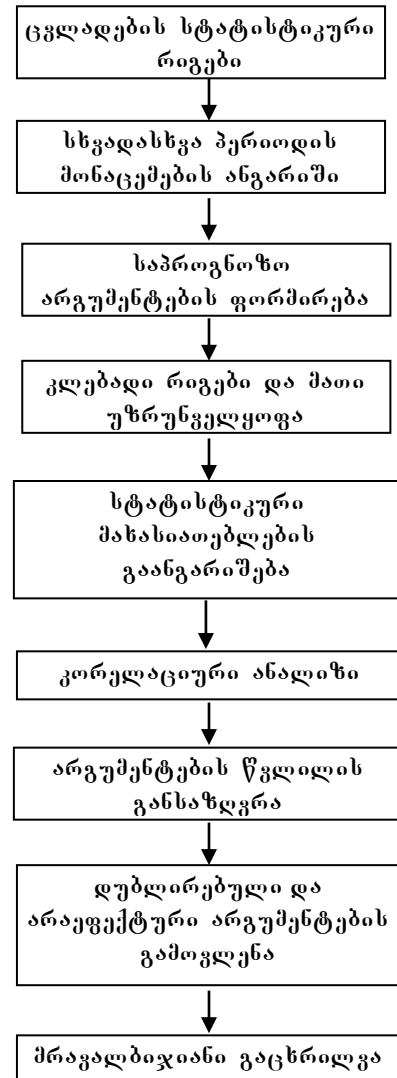
საპროგნოზო განტოლებათა ასეთი წარმოდგენა საშუალებას გვაძლევს ერთდროულად გამოვიკვლიოთ პრედიქტორების შემცირება, საპროგნოზო დროულობის გაზრდა, სიზუსტის ამაღლება და საპროგნოზო პერიოდში მოქმედი ფაქტორების გამორიცხვა. შედეგად მიიღება სხვადასხვა ფაქტორების შემცველი საპროგნოზო ფორმულები სხვადასხვა ინფორმაციით, სიზუსტითა და დროულობით.

საპროგნოზო განტოლებათა განსაზღვრის შემდეგ სათანადო დარიგების [26] შესაბამისად ვითვლით პროგნოზების შეფასებათა ყველა კრიტერიუმებს, რომელთა მიხედვით შეირჩევა პრაქტიკულად მისაღები საუკეთესო საპროგნოზო გარიანტები ოპერატიული პროგნოზების გასაცემად.

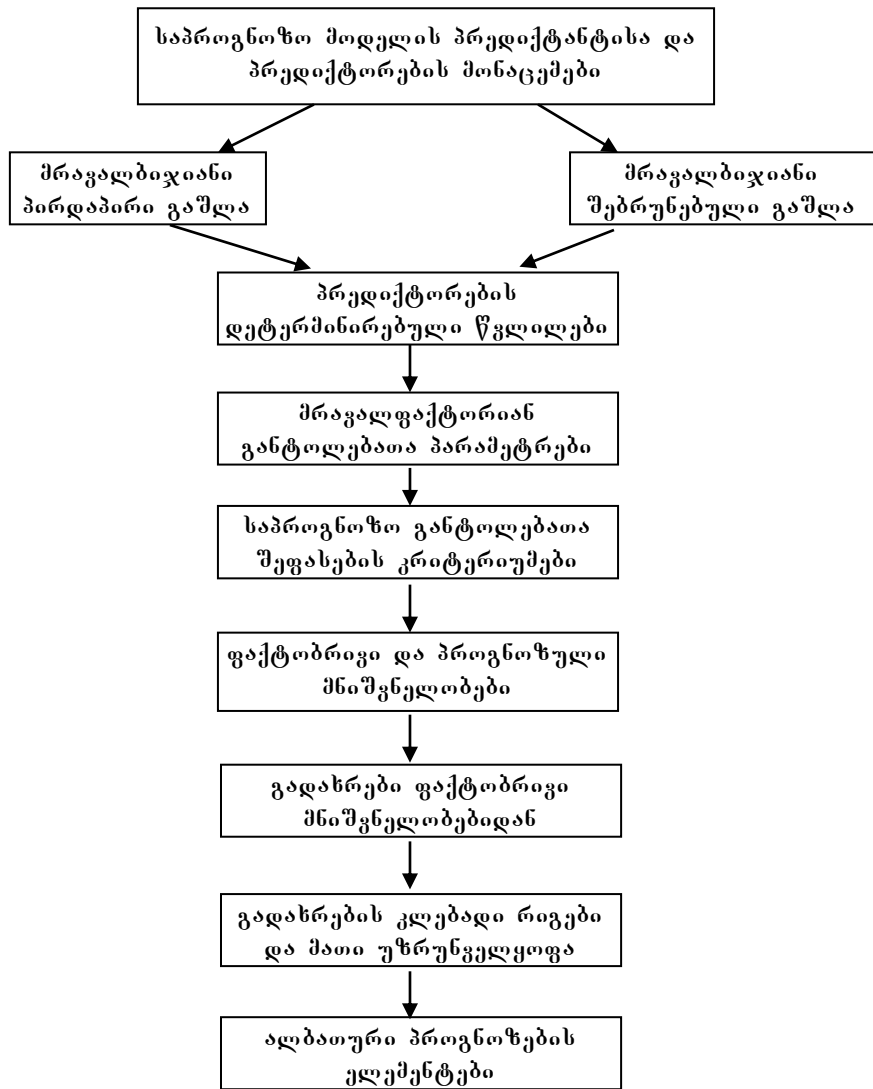
საპროგნოზო მოდელის კვლევის ყველა ეტაპის რეალიზაციას, დაწყებული ჩამონადენის სტატისტიკური ანალიზიდან, დამთავრებული საპროგნოზო განტოლებათა შეფასებებით, ვახდენთ ერთიანი გაანგარიშებათა სისტემით (ნახ. 4.2.1. და 4.2.2.) ჩვენ მიერ შედგენილი პროგრამების [27, 28] საშუალებით პერსონალურ კომპიუტერზე.

საპროგნოზო მეთოდოლოგია ყველა შესაბამისი კრიტერიუმებით აღწერილია აგტორის მონოგრაფიაში „პრაგალფაქტორიანი სტატისტიკური

მეთოდთვითიათ წყალდიდობა-წყალმოგარდნების პროცენტირებისათვის”, სადაც
მიღებულია საქართველოს მდინარეთა წყალდიდობის გრძელებადიანი და
წყალმოგარდნის მოკლევადიანი საპროცენტო მეთოდები.



**ნახ. 4.2.1 ცვლადების სტატისტიკური ანალიზისა და ოპტიმალური
საპროცენტო მოდელის შესაღები ძლიერი მოდელის საუკეთესო სქემა**



**ნახ. 4.2.2 საპროგნოზო დამოკიდებულებათა განსაზღვრისა
და შეფასების ალგორითმის საერთო სქემა**

**თავი V. საქართველოს მდინარეთა ტყაღდიღობის
ჩამონადენის გრძელვადიანი პროცენტირება**

5. 1. ტყაღდიდობის საშუალო ჩამონადენის პროგნოზირება

ზემოთ აღწერილი მეთოდოლოგიის მიხედვით ჩატარებული კვლევის შედეგად ტყაღდიდობის საშუალო ჩამონადენის საპროგნოზო განტოლებები შესაბამისი შეფასებათა კრიტერიუმებით მოცემულია 5.1.1. ცხრილში.

როგორც 5.1.1 ცხრილიდან ჩანს, პროგნოზების შეფასების მთავარი კრიტერიუმის (S/S) მიხედვით, ყველა შემუშავებული საპროგნოზო განტოლებებით შეიძლება გაიცეს დამაგმაყოფილებელი და ზოგჯერ (როდესაც $S/S < 0,50$) კარგი შეფასების პროგნოზები. საპროგნოზო პერიოდის ხანგრძლივობა (დროულობა) 3 - 4 - 5 თვეა. საპროგნოზო განტოლებებში, ძირითადად, მონაწილეობენ შეტერილობები – ატმოსფერული ნალექებისა და თოვლის საფარის მონაცემები. მხოლოდ მდ. ენგურზე პროგნოზების დასაზუსტებლად არის გამოყენებული წინა წლის სექტემბრისა და მიმდინარე წლის თებერვლის თვის წყლის ხარჯები. აღსანიშნავია, რომ ყველა განტოლებით პროგნოზი შეიძლება გაიცეს ამინდის პროგნოზის გარეშე, რაც მათი პრაქტიკული გამოყენების თვალსაზრისით მეტად მნიშვნელოვანია.

ამრიგად შემუშავებულია საქართველოს მთავარ მდინარეთა ტყაღდიდობის პერიოდის წყლის ხარჯების პროგნოზები სხვადასხვა ინტერგალებში. ეს პროგნოზები აუცილებელია პიდროველექტროსადგურების, წყალსაცავების, წყაღდმომარაგებისა და სარწყაფი სისტემების ეფექტური და უსაფრთხო ექსპლუატაციისათვის, მათი შუშაობის საფუძვლიანი დაგეგმარებისათვის, რათა არსებული წყლის რესურსების რაციონალური გამოყენებით რამდენადმე გაიზარდოს ელექტროენერგიის გამომუშავება. მაღალი ტყაღდიდობის შემთხვევაში კი შეიძლება მოხდეს მდინარეთა სანაპირო ზოდის დატბორვა. ასეთ დროს ზარალის თავიდან ასაცილებლად საჭიროა ნაპირდაცვითი სამუშაოების ჩატარება, ნათესებისა და სახალხო მეურნეობის თბიექტების დატბორვისაგან დასაცავად. მეორე მხრივ, მაღალი ტყაღდიდობის პროგნოზი მიუთითებს მდინარეთა წყლის გამოყენების ფართო შესაძლებლობებზე სავეგეტაციო პერიოდში ნათესების მოსარწყაფად.

მთსაღოდნელი მცირე წყლიანობის (ნორმაზე ნაკლები) პირობებში საჭიროა წყლის დაგროვება წყალსაცავებში და წყალსატებებში მათი მოშავალი გამოყენების თვალსაზრისით სასოფლო-სამეურნეო კულტურების მთსარწყავად და ჰიდროელექტროსადგურების ნორმალური ექსპლუატაციისათვის.

ასეთი ანალიზი ყოველ წელს ყველა მდინარისათვის უნდა გაკეთდეს მარტში, როდესაც გაიცემა წყალდიდობის პროგნოზები, რათა დროულად მომზადდეს სიტუაცია მთსაღოდნელი საშიშროების დასაძლევად [29].

**ცხრილი 5.1.1 წყალდიდობის პერიოდის საშუალო ხარჯების
(Q მ³/წე) საპროგნოზო განტოლებები და მათი შეფასებები**

| № | დასაშვ. ცდომ. გვ ³ /წე | საპროგნოზო განტოლებები | შეფასებათა კრიტერიუმები | | |
|--|---|---|-------------------------|----|------|
| | | | S/δ | P% | r |
| 1 | 2 | 3 | 4 | 5 | 6 |
| მდ. ენგური – სოფ. ხაიში | | | | | |
| 1 | 30,2 | $Q_{IV-VIII} = 0,41P_{II} + 175$ | 0,72 | 66 | 0,71 |
| 2 | 30,2 | $Q_{IV-VIII} = 0,36P_{II} + 0,39Q_{IX,2} + 136$ | 0,60 | 81 | 0,82 |
| 3 | 30,2 | $Q_{IV-VIII} = 0,36P_{II} + 0,35Q_{IX,2} + 0,12P_{XI-I} + 111$ | 0,52 | 86 | 0,87 |
| 4 | 30,2 | $Q_{IV-VIII} = 0,23P_{II} + 0,44Q_{IX,2} + 1,27Q_{II,2} + 110$ | 0,48 | 94 | 0,89 |
| მდ. რიონი – სოფ. ალბანა | | | | | |
| 5 | 17,1 | $Q_{IV-VIII} = 0,15W_{1850} + 104$ | 0,65 | 69 | 0,70 |
| 6 | 20,4 | $Q_{IV-VII} = 0,18WP_{1850} + 100$ | 0,62 | 72 | 0,76 |
| 7 | 30,6 | $Q_{IV-V} = 0,25W_{1350} + 109$ | 0,50 | 82 | 0,86 |
| მდ. ყვირილი – ქ. ჭესტაფინი | | | | | |
| 8 | 17,1 | $Q_{III-VI} = 0,17P_{XII-II} + 36,1$ | 0,64 | 75 | 0,76 |
| 9 | 17,1 | $Q_{III-VI} = 0,15W_{1750} + 51,9$ | 0,62 | 76 | 0,79 |
| 10 | 17,1 | $Q_{III-VI} = 0,24d_{max} + 31,8$ | 0,62 | 71 | 0,78 |
| 11 | 17,1 | $Q_{III-VI} = 0,46d_{max} + 47,9$ | 0,57 | 79 | 0,82 |
| მდ. ხანისწყალი – დაბა ბაღდათი | | | | | |
| 12 | 5,55 | $Q_{III-VI} = 0,09d_{max} + 6,13$ | 0,61 | 68 | 0,79 |
| 13 | 5,55 | $Q_{III-VI} = 0,09P_{XII-II} + 1,43$ | 0,57 | 71 | 0,82 |
| 14 | 5,55 | $Q_{III-VI} = 0,08P_{XII-I} + 9,46MP_{III} + 1,40$ | 0,55 | 73 | 0,84 |
| 15 | 5,55 | $Q_{III-VI} = 0,03W_{1650} + 5,06$ | 0,44 | 93 | 0,90 |
| მდ. აჭარისწყალი – სოფ. ქედა | | | | | |
| 16 | 13,0 | $Q_{III-VI} = 0,05W_{28/II} + 34,16$ | 0,59 | 81 | 0,80 |
| 17 | 13,0 | $Q_{III-VI} = 0,12P_{XII-II} + 14,75$ | 0,61 | 73 | 0,78 |
| 18 | 13,0 | $Q_{III-VI} = 0,08W_{1650} + 39,63$ | 0,57 | 79 | 0,81 |
| მდ. მტკვარი – ქ. თბილისი | | | | | |
| 19 | 152 | $Q_{IV-VI} = 0,92P_{XI-III} + 1,27Q_{XII-III} + 9,0$ | 0,62 | 78 | 0,80 |
| მდ. დიდი ლიანები – სოფ. ქენები | | | | | |
| 20 | 10,1 | $Q_{IV-VII} = 0,078W_{2250} - 1,9\theta_{III} + 0,5P_{III} + 41,5$ | 0,90 | 58 | 0,52 |
| მდ. ბატარა ლიანები – სოფ. ვანათი | | | | | |
| 21 | 5,33 | $Q_{IV-VI} = 0,07P_{XII-II} + 9,25$ | 0,76 | 70 | 0,66 |
| 22 | 5,33 | $Q_{IV-VI} = 0,07P_{XII-II} + 0,16\theta_{XII-II} + 0,07P_{III} + 3,07$ | 0,65 | 73 | 0,78 |
| მდ. თეთრი არაგვი – დაბა ფასანაური | | | | | |
| 23 | 3,03 | $Q_{IV-VI} = 0,02P_{XII-II} + 0,02P_{III} + 13,0$ | 0,76 | 64 | 0,66 |
| 24 | 3,03 | $Q_{IV-VI} = 0,02P_{XII-II} + 0,02P_{III} + 1,0Q_I + 6,65$ | 0,69 | 65 | 0,74 |

| 1 | 2 | 3 | 4 | 5 | 6 |
|---|------|--|------|----|------|
| გვ. შაგი არაგვი – უესართაგთან | | | | | |
| 25 | 2,51 | $Q_{IV-VI} = 0,025W_{1650} + 0,09P_{III} - 8,88$ | 0,60 | 69 | 0,81 |
| 26 | 2,51 | $Q_{IV-VI} = 0,02W_{1650} - 0,09P_{III} + 0,01P_{XII-II} + 8,89$ | 0,52 | 77 | 0,83 |
| გდ. ფშაგის არაგვი – სოფ. მაღაროსგარი | | | | | |
| 27 | 6,70 | $Q_{IV-VI} = 0,08W_{1550} + 2,64Q_{II} + 8,91$ | 0,72 | 66 | 0,72 |
| 28 | 6,70 | $Q_{IV-VI} = 0,09W_{1550} + 2,82Q_{II} + 0,12P_{III} + 4,56$ | 0,69 | 81 | 0,76 |
| გდ. იორი – სოფ. ლელოვანი | | | | | |
| 29 | 4,89 | $Q_{IV-VI} = 2,48Q_{XII-III} + 7,35$ | 0,68 | 66 | 0,74 |
| 30 | 4,89 | $Q_{IV-VI} = 2,46Q_{XII-III} + 0,02P_{XI-III} - 2,46$ | 0,59 | 74 | 0,83 |
| გდ. ალაზანი – სოფ. ბირგიანი | | | | | |
| 31 | 4,38 | $Q_{IV-VI} = 0,04P_I + 1,18Q_{III} + 11,8$ | 0,71 | 70 | 0,72 |
| 32 | 4,38 | $Q_{IV-VI} = 0,03P_I + 1,13Q_{III} + 0,1P_{II} + 11,1$ | 0,65 | 73 | 0,78 |
| გდ. ალაზანი – სოფ. შაქრიანი | | | | | |
| 33 | 12,9 | $Q_{IV-VI} = 0,36P_{III} - 5,19\theta_{III} + 69,2$ | 0,79 | 63 | 0,65 |
| 34 | 12,9 | $Q_{IV-VI} = 0,34P_{III} - 3,36\theta_{III} + 0,12W_{1250} - 58,4$ | 0,73 | 71 | 0,72 |
| გდ. ქცია-ხრამი – წითელი ხიდი | | | | | |
| 35 | 10,8 | $Q_{IV-VI} = 0,79Q_X + 0,10P_{VIII-III} - 0,66Q_{III} + 9,5$ | 0,79 | 62 | 0,64 |

5. 2. წყალდიდობის მაქსიმალური ხარჯების პროგნოზები

წყალდიდობის მაქსიმალური ხარჯების გავლა საქართველოს მდინარეებზე, ძირითადად, მას-იგნისში, ზოგან კი იგლისშიც (მდ. ენგურზე) ხდება. მისი ოპერატორი პროგნოზი გაიცემა 23-24 მარტს, როდესაც ცნობილი ხდება მხოლოდ შემთდგომა-ზამთრის მონაცემები. მაქსიმალური ხარჯები კი ფორმირდება 2 - 3 თვის შემდეგ, ინტენსიური თოვლის დნობისა და დიდი თავსხმა წვიმების თანხვედრისას. საპროგნოზო პერიოდის განმავლობაში მოქმედი ფაქტორების გავლენა მნიშვნელოვანი და გადამწყვეტია, მაგრამ შეუძლებელია მათი წინასწარი განსაზღვრა, რის გამოც გრძელგადიანი პროგნოზის შედგენა გართულებულია.

საპროგნოზო მოდელის შედგენის მიზნით, ცალკეული მდინარისათვის, ჩატარდა მაქსიმალური ხარჯებსა და არსებულ მაფორმირებელ ფაქტორებს შორის კორელაციური კაგშირების ანალიზი, რომლის საფუძველზე შედგა გაფართოებული საპროგნოზო მოდელები. მათი სათანადო კვლევის შედეგად მიღებული საპროგნოზო განტოლებები მოცემულია ცხრ. 5. 2. 1-ში.

მდ. ენგურის (სოფ. ხაიშთან) მაქსიმალური ხარჯების საპროგნოზო დროულობა ყველაზე დიდია და 3 - 4 თვეს შეადგენს. ამ აუზში დაკვირვების მასალები შეტად შრიირია და მდინარის ჩამონადენის ფორმირების პირობებიც სხვებისაგან განსხვავებულია. ჰიდრომეტეოროლოგიური დაკვირვების ყველა არსებული მონაცემი გაანგარიშდა სხვადასხვა წინა პერიოდისათვის, დაწყებული წინა წლის წყალდიდობიდან. ჩატარებული ანალიზით ცხადი გახდა, რომ ძალაზე დაბალია კორელაციური კაგშირი მაქსიმალური ხარჯებისა წინა პერიოდის მდინარის წყლიანობასთან ($r = 0,10$), ატმოსფერულ ნალექებთან ($r = 0,30$), ჰაერის ტემპერატურასთან ($r = 0,04 - 0,12$) და თოვლის მარაგთან ($r < 0,20$). ასეთ კაგშირზე დაყრდნობით, რა თქმა უნდა, მნელია რეალური საპროგნოზო მოდელის შედგენა. აპრილის თვის ნალექებისა და ტემპერატურის გათვალისწინებაც არ იძლევა დადებით შედეგს. ასევე უშედეგო აღმოჩნდა წინა პერიოდის ფაქტორების დამატება. ამიტომ მიღებული განტოლებების შეფასება $S/S > 0,80$ და პროგნოზები გაიცემა მხოლოდ კონსულტაციების სახით. ეს გამოწყვეტილია იმით, რომ აქ მაქსიმალური ხარჯების განმსაზღვრელია ძირითადად მათი გავლის დროს მოსული თავსხმა წვიმებისა და თოვლის დნობის ინტენსივობა, რომელთა

მონაცემები პროგნოზების შედგენის დროს (3 - 4 თვით ადრე მაქსიმუმამდე) არ მოგვეპოვება.

მდ. რითნის აუზი, სხვა აუზებთან შედარებით, უგეთ იყო გაშუქებული როგორც ჟეტეროლოგიური, ასევე თოვლის აგეგმვის მასალებით, მაგრამ იმის გამო, რომ მაქსიმალური ხარჯების ამ ფაქტორებთან კაგშირი დაბალია ($r = 0,16 \div 0,40$). სათანადო გაანგარიშებების შედეგად საპროგნოზო განტოლებების შეფასებების (ცხრ. 5.2.1) მიხედვით, ისევე როგორც მდ. ენგურზე, მდ. რიონზე – სოფ. ალპანასთან შეიძლება შედგეს წყალდიდობის მაქსიმალური ხარჯების პროგნოზები კონსულტაციების სახით [30].

მდ. ყვირილაზე – ქ. ზესტაფონთან - მაქსიმალური ხარჯები გადის აპრილის თვეში, ამიტომ მარტის თვეში შედგენილი პროგნოზის ხანგრძლივობა (წინსწრება) მცირეა. მიუხედავად ამისა, ანალიზმა დაგვანახა, რომ მაქსიმალური ხარჯების კაგშირი წინა პერიოდის ფაქტორებთან ძალიან დაბალია ($r \leq 0,20$), მხოლოდ ზამთრის ნალექებთან კაგშირი აღწევს $r = 0,36 \div 0,40$ -მდე. ასეთ პირობებში მიღებული საპროგნოზო განტოლებებით (ცხრ. 3.3.1) შეიძლება გაიცეს კონსულტაციები [31].

მდ. ხანისწყალზე – დაბა ბალდადთან - მარშრუტ ნაბედლაგ - ბახმაროს მონაცემებით 2000 - 2100 სიმაღლის ზონაში, მაქსიმალური ხარჯებისა და თოვლის წყალშემცველობის კაგშირის სიზუსტე $r = 0,68$. არსებულ მონაცემთა მრავალბიჯიანი გაცხრილების შედეგად შედგენილია ოპტიმალური საპროგნოზო მოდელი:

$$Q_m = f(W_{2100}^{2000}, Q_{II}, \theta_{III}), \quad (5.2.1)$$

$$R = 0,68, 0,70, 0,72,$$

რომლის ამონსნის შედეგად მიღებულ იქნა საპროგნოზო განტოლებები:

| | <u>s/σ</u> |
|---|-------------------|
| $Q_m = 18,9 + 0,078 W_{2100}^{2000},$ | 0,75 |
| $Q_m = 28,1 + 0,093 W_{2100}^{2000} + 1,73 Q_{II},$ | 0,74 (5.2.2) |
| $Q_m = 37,6 + 0,089 W_{2100}^{2000} + 1,57 Q_{II} 2,39 \theta_{III}.$ | 0,73 |

ამრიგად, მდ. ხანისწყალზე, დასავლეთ საქართველოს ყველა სხვა მდინარისგან განსხვავებით, მაქსი-მალური ხარჯების პროგნოზები შეიძლება გაიცეს მარტის შუა რიცხვებში, მარშრუტული თოვლ - აგეგმვის შემდეგ.

მდ. მტკგარზე წყალდიდობის მაქსიმალური ხარჯების საპროგნოზო ქ.თბილისთან გამოყენებულ იქნა მის აუზში მდებარე ხუთი ინფორმაციული შეტეოროლოგიური სადგურის (ახალქალაქი - 1716 მ., ახალციხე - 982 მ., გორი - 588 მ., ფასანაური - 1070 მ. და თბილისი - 403 მ.) გასაშუალოებული მნიშვნელობები ატმოსფერული ნალექებისა და ჰაერის ტემპერატურისა 1937 - 1990 წლების მონაცემებით, 54 წლის რიგით, აგრეთვე თოვლის წყალშემცველობის მნიშვნელობები ცალკეული სიმაღლითი ჭონებისათვის თოვლ-აგეგმვის მარშრუტებზე: სოფ.ქეშეთი-ჯგრის უდ. და სოფ. ბენარა-ზეგარის უდ. 1955-1990 წლების მონაცემებით, 35 წლის რიგით.

სათანადო კვლევის შედეგად შიღებული საპროგნოზო განტოლებების (ცხრ. 5.2.1) მიხედვით, მდ. მტკგარზე წყალდიდობის მაქსიმალური ხარჯის ოპერატიული პროგნოზი ქ. თბილისისათვის ყოველ წელს შეიძლება გაიცეს თებერვლის ბოლოს ზამთრის პერიოდის ნალექების ჯამით. შემდეგ, მარტის თვეში, ჰაერის ტემპერატურის, ნალექებისა და წყლის ხარჯების თანდათანობით დამატებით ეტაპობრივად მოხდება პროგნოზების დაზუსტება.

მდ. ლიახვეზე წყალდიდობის მაქსიმალური ხარჯებისათვის, თებერვალში ჯგრის უღელტესილზე და მარტში გუბთა - ერთს მარშრუტის 1200 - 1300 სიმაღლით ჭონაში გაზომილი თოვლის წყალშემცველობის ერთობლივი მოქმედებით, სოფ. კენგთან საპროგნოზო განტოლების სიზუსტე (s/s) იზრდება 0,74-დან 0,66-მდე ($r = 0,77$), ხოლო თუ თოვლითან ერთად გაგითვალისწინებო შემოდგომის წყლის ხარჯებს, სიზუსტე იქნება $s/s = 0,63$, $r = 0,80$.

მდ. ქსნის აუზში არ არსებობს მეტეოლემენტების დაპირვენების პუნქტები. შეზობლად მდებარე მდ. ლიახვისა და მდ. არაგვის აუზის მონაცემებით სოფ. კორინთასთან შიღებული საპროგნოზო განტოლებებისათვის (ცხრ. 5.2.1) $s/s = 0,69$ - 0,76, $r = 0,65$ - 0,70, ხოლო მათი გამართლება $P = 68-73\%$.

მდ. თეთრი, შავი და ფშავის არაგვის მაქსიმალური ხარჯების პროგნოზირებისათვის გამოკვლეულ იქნა თითქმის ყველა არსებული მონაცემი, როგორც სხვადასხვა სიმაღლით ჭონაში, ისე სხვადასხვა პერიოდისათვის, მაგრამ

მიუხედავად მრავალმხრივი ძიებისა, არც ცალკეულმა ფაქტორებმა და არც მათმა ერთობლიობაშ არ მოგვცა ისეთი ეფექტი, რომ მიზგედო დადებითი შეფასების პროგნოზები, ამიტომ მიღებული საპროგნოზო განტოლებებით (ცხრ. 5.2.1) შესაძლებელია მხოლოდ კონსულტაციების გაცემა მომავალი პიკების თდენობაზე, რომელთა შეფასება $s/\sigma = 0,84 - 0,92$, მაგრამ გინაიდან მათი გამართლება (P) დამაკმაყოფილებელია $74 - 76\%$ -ით, ამიტომ მათი გამოყენება პრაქტიკაში დადებით შედეგს მოგვცემს.

მდ. ალაზანზე სოფ. ბირკიანთან აუზში მდებარე სამი თოვლა - აგეგმვის მარშრუტის არცერთი სიმაღლითი ზონის მაჩვენებელი არ აღმოჩნდა მახასიათებელი მაქსიმალური პიკებისა ($r = 0,17 - 0,23$), ამიტომ, პროგნოზის შესადგნად გამოყენებულია ზამთრის პერიოდში მდინარის წყლიანობა და ჰაერის ტემპერატურა (ცხრ. 5.2.1), რომლის კრიტერიუმი ($s/\sigma = 0,81$) ახლოსაა დასაშვებ შეფასებასთან, ხოლო გამართლება (P = 68%) დამაკმაყოფილებელია.

მდ. ალაზანზე სოფ. შაქრიანთან, ისევე როგორც სოფ. ბირკიანთან, მაქსიმალურ ხარჯებზე თოვლის საფარის მოქმედება ძალიან სუსტია. ამიტომ საანგარიშო ფორმულაში (ცხრილი 5.2.1) თოვლის წყალშემცველობასთან ერთად მოქმედებს ჰაერის ტემპერატურა, ნალექები და მარტის თვის II დეკადის წყლის ხარჯები. ამ დამოკიდებულებისათვის $s/\sigma = 0,80$, $P = 65\%$.

ამრიგად, შემუშავებულია წყალდიდობის მაქსიმალური წყლის ხარჯების გრძელგადიანი (2 - 4 თვის დროულობით) პროგნოზები საქართველოს თითქმის ყველა მთავარი მდინარისათვის როგორც დასავლეთში, ისე აღმოსავლეთში. მათ შორის ბეგრი მათგანისათვის პირველად შემუშავდა საპროგნოზო მეთოდიკა.

აღნიშნული პროგნოზებით მოსალოდნები საშიშროების აღრეული შეტყობინება საშუალებას იძლევა დროულად ჩატარდეს ყველა პრევენციული ღონისძიება, რათა დაცულ იქნეს ყველა მნიშვნელოვანი ობიექტი და მოსახლეობა მოსალოდნები კატასტროფისაგან და არ მოხდეს გაუთვალისწინებელი ზარალი და მსხვერპლი. ეს განსაკუთრებით მნიშვნელოვანია ისეთი ჰიდროტებისათვის, როგორიცაა ენგურის, რიონისა და ხრამის ჰესების კასკადები, უინგალის წყალსაცავი, ალაზნის სარწყავი სისტემა, საქართველოს დედაქალაქი და სხვა დასახლებები.

**ცხრილი 5.2.1 წყალდიდობის მაქსიმალური ხარჯების ($Q_m \text{ მ}^3/\text{წ}\text{წ}$)
საპროგნოზო განტოლებები და მათი შეფასებები**

| № | დასაშ. ცდომ. $\delta\theta^3/\sqrt{\theta}$ | საპროგნოზო განტოლებები | შეფასებათა კრიტერიუმები | | | |
|---|---|---|----------------------------|----|------|----|
| | | | S/δ | P% | r | ɛ% |
| 1 | 2 | 3 | 4 | 5 | 6 | 7 |
| მდ. ენგური – ს. ხაიში | | | | | | |
| 1 | 144 | $Q_m = 3,01P_{II,1} + 0,73d_{max} + 353$ | 0,92 | 62 | 0,45 | 57 |
| 2 | 144 | $Q_m = 16,5\theta_{XII-II} + 1,35d_{max} + 250$ | 0,90 | 60 | 0,48 | 62 |
| 3 | 144 | $Q_m = 13,3\theta_{XII-II} + 1,96P_{II,1} + 1,11d_{max} + 265$ | 0,90 | 62 | 0,51 | 65 |
| 4 | 144 | $Q_m = 14,0\theta_{XII-II} + 0,95d_{max} + 1,5Q_{IV,2} + 173$ | 0,87 | 60 | 0,56 | 62 |
| მდ. რიონი – ს. ალპანა | | | | | | |
| 5 | 75,4 | $Q_m = 0,401P_{XI-II} + 307$ | 0,90 | 51 | 0,47 | 57 |
| 6 | 75,4 | $Q_m = 0,285P_{XI-II} + 1,678Q_{II,1} + 291$ | 0,88 | 50 | 0,52 | 56 |
| 7 | 75,4 | $Q_m = 0,009P_{XI-II} + 2,737Q_{II,1} + 0,337W_{30/III} + 309$ | 0,85 | 54 | 0,59 | 66 |
| მდ. ყვირილა – ქ. ზესტაფონი | | | | | | |
| 8 | 116 | $Q_m = 0,476P_{XI-II} + 121$ | 0,93 | 63 | 0,40 | 46 |
| 9 | 116 | $Q_m = 0,360P_{XI-II} + 1,06P_{III} + 104$ | 0,91 | 67 | 0,46 | 50 |
| 10 | 116 | $Q_m = 0,170P_{XI-II} + 0,50P_{III} + 1,17Q_{IV,1} + 95,7$ | 0,84 | 67 | 0,58 | 61 |
| მდ. ხანისწყალი – ს. ბაღდათი | | | | | | |
| 11 | 28,2 | $Q_m = 0,078W_{2050} + 19,93$ | 0,75 | 69 | 0,68 | 65 |
| 12 | 28,2 | $Q_m = 0,093W_{2050} - 1,732Q_{II} + 28,1$ | 0,74 | 77 | 0,71 | 66 |
| 13 | 28,2 | $Q_m = 0,089W_{2050} - 1,570Q_{II} - 2,39\theta_{III} + 37,6$ | 0,73 | 77 | 0,72 | 68 |
| 14 | 28,2 | $Q_m = 0,29W_{2050} + 1,756Q_{IV} - 0,783$ | 0,68 | 73 | 0,76 | 69 |
| მდ. ცხენისწყალი – ს. რცხმელურა | | | | | | |
| 15 | 73,9 | $Q_m = 5,2Q_{XII-III} - 0,17P_{VIII-XI} - 0,15P_{XII-III} - 5,8\Sigma\theta_{XII-III} + 345$ | 0,96 | 70 | 0,54 | |
| 16 | 73,9 | $Q_m = 6,6Q_{XII-III} - 0,1P_{VIII-XI} - 0,1P_{XII-III} - 10,2\Sigma\theta_{XII-III} + 0,58P_{IV-VIII} - 198$ | 0,84 | 71 | 0,60 | |
| მდ. აჭარისწყალი – ს. ქედა | | | | | | |
| 17 | 83,6 | $Q_m = 2,37Q_{IX-XI} - 0,35P_{VIII-XI} + 0,18P_{XII-II} + 217$ | 0,91 | 64 | 0,59 | |
| 18 | 83,6 | $Q_m = 2,34Q_{IX-XI} - 0,34P_{VIII-XI} + 0,16P_{XII-II} + 0,23P_{IV-VIII} + 184$ | 0,89 | 71 | 0,60 | |
| მდ. მტკვარი – ქ. ხერთვისი | | | | | | |
| 19 | | $Q_m = 0,11Q_{IX-XI} + 1,15P_{VIII-III} + 9,6Q_{XII-III} - 214$ | | 74 | 0,70 | |
| 20 | | $Q_m = 0,36Q_{IX-XI} + 1,26P_{VIII-III} + 12,9Q_{XII-III} - 2,34\Sigma\theta_{XII-II} - 358$ | | 74 | 0,77 | |
| მდ. მტკვარი – ქ. თბილისი (1937-1990) | | | | | | |
| 21 | 261 | $Q_m = 6,16P_{XII-II} + 551$ | 0,78 | 59 | 0,63 | 62 |
| 22 | 261 | $Q_m = 5,65P_{XII-II} - 57,7\theta_{III} + 745$ | 0,73 | 62 | 0,70 | 66 |
| 23 | 261 | $Q_m = 4,76P_{XII-II} - 84,6\theta_{III} + 2,21Q_{III} + 538$ | 0,68 | 66 | 0,75 | 64 |
| 24 | 261 | $Q_m = 4,62P_{XII-II} - 82,4\theta_{III} + 2,13Q_{III} + 4,43P_{III} + 404$ | 0,67 | 70 | 0,76 | 64 |
| მდ. მტკვარი – ქ. თბილისი (1955-1990) | | | | | | |
| 25 | 277 | $Q_m = 1,409 W_{2300-2400}^{13.-x3} + 463$ | 0,77 | 49 | 0,65 | 60 |

| 1 | 2 | 3 | 4 | 5 | 6 | 7 |
|----|-----|--|------|----|------|----|
| 26 | 277 | $Q_m = 1,233 W_{2300-2400}^{33-33} - 69\theta_{III} + 760$ | 0,73 | 63 | 0,71 | 69 |
| 27 | 277 | $Q_m = 0,930 W_{2300-2400}^{33-33} - 110\theta_{III} + 2,39Q_{III} + 636$ | 0,69 | 66 | 0,75 | 74 |
| 28 | 277 | $Q_m = 1,131 W_{2300-2400}^{33-33} - 123\theta_{III} + 2,73Q_{III} - 1,21 W_{1800-1900}^{33-33} + 785$ | 0,65 | 66 | 0,79 | 74 |
| 29 | 277 | $Q_m = 0,629 W_{2300-2400}^{33-33} - 117\theta_{III} + 2,78Q_{III} - 1,26 W_{1800-1900}^{33-33} + 2,6P_{XII-II} + 752$ | 0,64 | 63 | 0,80 | 74 |

მდ. თეთრი არაგვი — ს. ფასანაური (1937-1990)

| | | | | | | |
|----|------|--|------|----|------|----|
| 30 | 23,1 | $Q_m = 0,16 W_{1900-2000}^{33-33} + 7,87\theta_{III} + 14,1$ | 0,87 | 69 | 0,54 | 57 |
| 31 | 23,1 | $Q_m = 0,162 W_{1900-2000}^{33-33} + 10,10\theta_{III} - 5,5Q_{III} + 52$ | 0,84 | 63 | 0,60 | 54 |
| 32 | 23,1 | $Q_m = 0,156 W_{1900-2000}^{33-33} + 9,390\theta_{III} - 4,0Q_{III} - 3,27Q_{XII-II} + 64,8$ | 0,85 | 57 | 0,60 | 49 |
| 33 | 23,1 | $Q_m = 0,086 W_{1900-2000}^{33-33} + 9,92\theta_{III} - 3,78Q_{III} - 4,92Q_{XII-II} + W_{1700-1800} + 71$ | 0,85 | 63 | 0,62 | 57 |

მდ. ფშავის არაგვი — ს. მაღაროსტარი (1959-1990)

| | | | | | | |
|----|------|--|------|----|------|----|
| 34 | 38,9 | $Q_m = 0,89P_{III} + 11,3\theta_{III} + 46,5$ | 0,85 | 56 | 0,57 | 44 |
| 35 | 38,9 | $Q_m = 1,01P_{III} + 8,97\theta_{III} - 0,14P_{XII-II} + 69$ | 0,83 | 56 | 0,61 | 50 |
| 36 | 38,9 | $Q_m = 0,98P_{III} + 8,8\theta_{III} - 0,16P_{XII-II} + 7,19Q_{XII-II} + 21,4$ | 0,81 | 59 | 0,65 | 53 |
| 37 | 38,9 | $Q_m = 0,91P_{III} + 8,40\theta_{III} - 0,16P_{XII-II} + 6,0Q_{XII-II} + 0,07P_{IX-XI} + 20,1$ | 0,82 | 59 | 0,66 | 56 |

მდ. დიდი ლიახვი — ს. პიხვი

| | | | | | | |
|----|------|--|------|----|------|----|
| 38 | 36,0 | $Q_m = 0,244W_{1650} + 92,53$ | 0,76 | 60 | 0,66 | 53 |
| 39 | 36,0 | $Q_m = 0,342W_{1250} + 101$ | 0,74 | 67 | 0,69 | 63 |
| 40 | 36,0 | $Q_m = 0,232W_{1250} + 0,127W_{28/II} + 53,54$ | 0,65 | 67 | 0,77 | 63 |
| 41 | 36,0 | $Q_m = 0,220W_{1250} + 0,130W_{28/II} - 2,30Q_{IX-XI} + 99,64$ | 0,63 | 70 | 0,80 | 63 |

მდ. ქსანი — ს. კორინთა

| | | | | | | |
|----|------|--|------|----|------|----|
| 42 | 30,7 | $Q_m = 7,79\theta_{XII-II} + 5,78 Q_{XI-I} + 12,2\theta_{III} + 71,1$ | 0,76 | 68 | 0,65 | 65 |
| 43 | 30,7 | $Q_m = 7,65\theta_{XII-II} + 0,07W_{28/II} + 11,6\theta_{III} + 57,5$ | 0,74 | 69 | 0,68 | 73 |
| 44 | 30,7 | $Q_m = 7,54\theta_{XII-II} + 0,06W_{28/II} + 11,6\theta_{III} + 4,07Q_{XI-I} + 48,2$ | 0,69 | 73 | 0,70 | 73 |

მდ. შავი არაგვი — შესართავთან

| | | | | | | |
|----|------|---|------|----|------|----|
| 45 | 8,55 | $Q_m = 0,040W_{1650} - 2,76Q_{3,II} + 1,52\theta_{III} + 51,58$ | 0,88 | 64 | 0,50 | 67 |
| 46 | 8,55 | $Q_m = 0,024W_{2050} - 3,28Q_{3,II} - 0,022P_{XII-II} + 41,84$ | 0,88 | 64 | 0,51 | 76 |

მდ. ალაზანი — ს. ბირეანი

| | | | | | | |
|----|------|--|------|----|------|----|
| 47 | 41,4 | $Q_m = 4,88Q_{IX-XI} + 5,10\theta_{XII-II} - 22,14Q_{II,2} + 15,5Q_{III,2} + 59,8$ | 0,81 | 68 | 0,59 | 63 |
|----|------|--|------|----|------|----|

მდ. ალაზანი — ს. შაქრიანი

| | | | | | | |
|----|------|--|------|----|------|----|
| 48 | 68,2 | $Q_m = 0,28P_{XI-I} - 1,003W_{1050} + 1,18P_{III} - 2,54Q_{III,2} + 287$ | 0,76 | 73 | 0,71 | 73 |
| 49 | 68,2 | $Q_m = 0,30P_{XI-I} - 1,059W_{1050} + 1,30P_{III} - 2,30Q_{III,2} + 6,34\theta_{IV} + 227$ | 0,76 | 76 | 0,73 | 76 |

მდ. ქცია-ხერამი — წითელი ხიდი

| | | | | | | |
|----|--|---|------|----|------|--|
| 50 | | $Q_m = 7,4Q_{IX-XI} + 0,65P_{VIII-III} - 0,64Q_{XII-III} + 10,2\Sigma\theta_{XII-II} - 63$ | 0,86 | 63 | 0,55 | |
| 51 | | $Q_m = 8,4Q_{IX-XI} + 0,91P_{VIII-III} - 1,2Q_{XII-III} + 1,44\Sigma\theta_{XII-II} + 0,97W_{28/II} - 21,3$ | 0,80 | 69 | 0,72 | |

თავი VI. რეკომენდაციები მღინარეთა პატასტროზული წყალდიდობების უსავრთხოებისათვის

გლობალური დათბობის ფონზე, საქართველოში იმატა რა წყალდიდობა-წყალმოვარდნებმა, ბოლო 20 წლის განმავლობაში, იმატა მათგან მიუენებულმა ზარალმაც. განსაკუთრებით ხშირად ინგრეგა მდინარეებზე ხიდები, ბოგირები, სავტომობილო და სარკინიგზო გზები, კომუნიკაციები, არხები, შენობა-ნაგებობები, იტბორება გარემო, ნადგურდება ნათესები, იღუპება პირუტყვი, ფრინველი და ადამიანებიც. ზარალის საერთო რაოდენობამ 1,5 მილიარდ ლარზე მეტი შეადგინა. ასეთი დიდი ზარალის მიზეზი, გარდა ბუნებრივი სტიქიისა არის ის, რომ ხშირად ხდება მდინარეთა კალაპოტებისა და მდინარისპირა ტერიტორიების ათვისება მდინარეთა წყლის რეჟიმთან დაკავშირებული მოსალოდნელი საშიში მოვლენების სრული უგულებელყოფით. გარდა ამისა, გასულ წლებში, მდინარეთა აუზებში, ინტენსიურად მიმდინარეობდა ტყის ჩეხვა, რომელიც არის მარეგულირებელი და შემამცირებელი წყალდიდობების მაქსიმალური პიკისა. აგრეთვე, მდინარეთა კალაპოტები გადაქცეული იყო ნაგავსაყრელად, რაც იწვევს წყლის მასის შეკავებას და გარემოს დატბორვა-დაზიანებას.

მიმდინარე XXI საუკუნეში, კლიმატის გლობალურ დათბობასთან დაკავშირებით, გაიზრდება რა პაერის ტემპერატურა, გაიზრდება ასევე აორთქლებაც, მოიმატებს თხევადი ნალექები და შემცირდება თოვლის საფარის გავრცელება, ინტენსიური გახდება მყინვარების დნობა, შემცირდება მიწისქვეშა წყლის დონეები და შესაბამისად, შემცირდება მდინარეთა წყალმცირობის პერიოდის ჩამონადენი, გაიზრდება უხვწყლიანი პერიოდის ჩამონადენი და მაშასადამე, მოიმატებს წყალდიდობები. ამრიგად, კლიმატის მოსალოდნელი ცვლილება გამოიწვევს გვალვებსაც და წყალდიდობებსაც, რის გამოც ადგილი ექნება წყლის დეფიციტს გვალვების დროს, ერთი მხრივ და წყალდიდობებით მიუენებული ზარალის ზრდას, მეორე მხრივ.

მიუხედავად იმისა, რომ კაცობრიობა, მთელი თავისი არსებობის მანძილზე, იბრძოდა ბუნებრივი სტიქიის პრობლემის გადასაწყვეტად, საიმედო ხერხები დღემდე მიუღწეველია. ამის დადასტურებაა მთელ მსოფლიოში და საქართველოში მომხდარი წყალდიდობები და მისი ტრაგიკული შედეგები. მეცნიერებას და ტექნიკას არ ძალუმს ებრძოლოს იმ მოვლენების გამომწვევ მიზეზებს, რომლებიც ბუნებაში მიმდინარე გლობალურ კლიმატურ პროცესებთან

არის დაკავშირებული და იძულებულია, შემოიფარგლოს მოსალოდნელი შედეგების წინააღმდეგ პრძოლის სხვადასხვა ხერხების ძიებით.

წყალდიდობა-წყალმოვარდნებმა, რომ უმტკივნეულოდ ჩაიაროს, საჭიროა, პირველ რიგში, მდინარეთა წყალდიდობებისა და მათი მაქსიმალური ხარჯების პარამეტრებისა და ცვალებადობის მახასიათებლების დაზუსტება და სხვადასხვა უზრუნველყოფის მაქსიმალური ხარჯების დადგნა, რაც უკვე შესრულდა ჩვენ მიერ შესწავლილ მდინარეთათვის (თავი II და თავი III). ვინაიდან საქართველოში მრავალი შეუსწავლელი მდინარე და ნაკადულია, რომელთაც წყალდიდობების დროს ხშირად მოაქვთ დიდი მატერიალური ზარალი და მსხვერპლი, ამიტომ გარკვეული კვლევის შედეგად, მიღებული იქნა მარტივი ემპირიული ფორმულები მათი ჩამონადენის გასაანგარიშებლადაც (§ 2.2).

ყველა ამ მონაცემის გათვალისწინება წყალსამეურნეო გაანგარიშებებში იძლევა ნაგებობათა და სამეურნეო ობიექტების უსაფრთხოების გარკვეულ გარანტიას. ეს მახასიათებლები გარკვეული წლების გავლის შემდეგ უნდა განახლდეს, მაგრამ სამწუხაროდ, XX საუკუნის 90-იან წლებიდან ჩვენს ქვეყანაში მდინარეთა წყლიანობის აღრიცხვა აღარ მიმდინარეობს და მხოლოდ რამდენიმე პიდროკვეთზე იზომება წყლის დონეები, ამიტომ მიღებული მახასიათებლების განახლება ჯერჯერობით ვეღარ მოხდება.

რაც შეეხება წყალდიდობა-წყალმოვარდნებით გამოწვეული ზარალის თავიდან აცილებას ან მათი ნებატიური ზეგავლენის შემცირებას, საჭიროა, ჩატარდეს გარკვეულ ღონისძიებათა კომპლექსი. მათ შესახებ ინფორმაცია მოცემულია ლიტერატურულ წყაროებში [32 – 41], რომელთა შესაბამისი ანალიზის შედეგად, მიღებულია გარკვეული სახის ღონისძიებათა ჩატარების რეკომენდაციები.

პირველ რიგში, ყოველ წელს, წყალდიდობის დამთავრებისთანავე, მომავალი წლის წყალდიდობის უმტკივნეულოდ ჩავლის მიზნით, მდინარეთა ხეობებში უნდა მოხდეს კალაპოტების გამტარუნარიანობისა და დასაშვები სიღრმეების უზრუნველყოფა. ამისათვის უნდა განხორციელდეს: მდინარეთა კალაპოტების გაწმენდა, ნაპირების კაპიტალური დაცვა დამბების, ჯებირების ან მიწაყრილების აშენებით. უნდა მოეწყოს გარშემოვლითი (განმტკირთავი) წყალსაგდები არხები. გარდა ამისა, უნდა მოხდეს მდინარეთა ხეობების ფერდობების დატერასება და მათზე სხვადასხვა აგრომელიორაციული ღონისძიებების ჩატარება: გარდი-გარდმო ხვნა-თესვა, მცენარეთა ჯიშების შერჩევა და სხვა.

განსაკუთრებული ყურადღება უნდა მიექცეს მდინარეთა აუზების ტერიტორიაზე ტყის საფარის განახლებასა და გაფართოებას, რადგან ტყე მთის ფერდობებზე იცავს და ამაგრებს ნიადაგს, რითაც ხელს უშლის ეროზიას, ლვარცოფების, მეწყერისა და თოვლის ზვავების ფორმირებას. ამიტომ, რაც მეტი იქნება ტყე, მით ნაკლები იქნება უარყოფითი პროცესები. ტყე არის ერთ-ერთი მთავარი ფაქტორი მიწისქვეშა და ზედაპირული წყლების რეგულირებისა. ტყე აუმჯობესებს მიწისქვეშა წყლების ხარისხს, ზრდის მათ გამოსავალ ადგილებს (წყაროებს) და მათ დებიტს. რაც მთავარია, ტყე არის მდინარეთა წყლის რეჟიმის სტაბილიზაციისა და მათი მაქსიმალური პიკის შემცირების განმაპირობებელი.

წყალდიდობის დროს მოსული თავსხმა წვიმის წყლები მდინარის ტყიან ფერდობებზე უხვად ჩაიჟონება ტყის ყომრალ ნიადაგებში, ხეთა ფოთლები და მერქანიც წვიმის დიდ ნაწილს აკავებს და ამრიგად, ხანგრძლივი პერიოდის განმავლობაში ტყე ინარჩუნებს მიღებულ ტენს, რითაც ხელს უშლის მდინარეში დიდი წყალმოვარდნის განვითარებას. ტყის საფარი დიდხანს ინახავს, აგრეთვე, ზამთარში დაგროვილ თოვლის საფარს და მას თანდათანობით გასცემს. რადგან ტყეში თოვლის საფარის დნობა გახანგრძლივებულია, ამიტომ მდინარეთა წყლის მაქსიმალური პიკები მცირდება. ამრიგად, ტყე მდინარის წყლის რესურსების დამარეგულირებელ როლს თამაშობს. გარდა ამისა, ტყე მეტად მნიშვნელოვანია პაერის გასუფთავებისა და გაჯანსაღებისათვის. ის უანგბადის მთავარი წყაროა. ტყე არის მნიშვნელოვანი ხელშემწყობი ფაქტორი ქვეყანაში სამონადირეო, საკურორტო-რეკრეაციული და ეკოტურიზმის განვითარებისათვის.

ამრიგად, ტყის გაშენება ხელს შეუწყობს საკურორტო და ტურისტული ზონების გაფართოებას, ადამიანთა გაჯანსაღებას, გაიზრდება, აგრეთვე, ცხოველთა და ფრინველთა სამყარო. ტყის ასეთი ფართო დანიშნულების გამო, ყველა დასახლებაში მოსახლეობამ და ადმინისტრაციამ უნდა იზრუნოს მათ რეგიონში ტყის საფარის დაცვასა და გაფართოებაზე. მათ ექნებათ არჩევანის საშუალება, შეარჩიონ მათოვის სასარგებლო მცენარეთა ჯიშები და საჭიროების შემთხვევაში, მოახდინონ მათი შერჩევითი ჭრა. სასოფლო-სამეურნეო კულტურების ნათესებიან მინდვრებში კი უნდა გაშენდეს ქარსაცავი ტყის ზოლები, რომლებიც იცავს მცენარეებსა და ნიადაგს ტენის დაკარგვისაგან, რითაც ხელს უშლის ნიადაგის გამოშრობას და მის დეფლაციას დიდი ქარების დროს.

გარდა ამისა, მდინარეთა წყლის დარეგულირებისათვის ყველაზე ეფექტური საშუალება არის წყალსაცავები, რადგან მათი საშუალებით შესაძლოა, წყალდიდობის დროს დიდი წყლის ნაკადის შეკავება და კატასტროფული პროცესების შერბილება, ხოლო წყალმცირობის დროს ისინი წარმოადგენს წყლის რესურსების ძირითად წყაროს, რომელიც შეიძლება ერთდროულად გამოყენებული იყოს მოსახლეობისა და მეურნეობის წყალმომარაგებისათვის, ელექტროენერგიის მისაღებად, მეთევზეობის მეურნეობის განვითარებისათვის და, რაც მთავარია, ჰიდრომელიორაციისათვის, ურომლისოდაც, განსაკუთრებით კლიმატის დათბობის პირობებში, აღმოსავლეთ საქართველოს ნაყოფიერ მიწებზე შეუძლებელია სასოფლო-სამეურნეო კულტურების მოსავლიანობა.

გარდა ამისა, წყალსაცავი არის მთავარი ბაზა ქვეყანაში სპორტულ-გამაჯანსაღებელი და ტურისტულ-რეკრეაციული ზონების გაზრდისათვის. წყალსაცავების საშუალებით, მთის პირობებში, დაიძლევა ენერგეტიკული პრობლემები და აუცილებლად გაუმჯობესდება მთის მოსახლეობის სოციალურ-ეკონომიკური პირობები, რაც მათი ადგილზე დამაგრების ერთ-ერთი ძირითადი არგუმენტი გახდება. არანაკლებ მნიშვნელოვანია ისიც, რომ ელექტროენერგიის მოგვარებით შენელდება ტყეების ინტენსიური ჩეხვის პროცესი. ყველა ამის გათვალისწინებით, მთის მდინარეთა ხეობების ხელსაყრელ და გეოლოგიურად მდგრადი რელიეფის პირობებში, მეტად სასარგებლო იქნება მცირე ზომისა და არა დიდი წყალსაცავების აგება, როგორც წყალდიდობებისა და წყალმოვარდნებისაგან დაცვის ყველაზე საიმედო და ეფექტიანი საშუალება. ამისათვის შეიძლება გამოყენებული იყოს მდინარეთა ხეობების ჩაღრმავებები ან დამშრალი ტბის ქვაბულები.

წყალსაცავის აშენებასთან ერთად, აუცილებელია ზუსტი ჰიდროლოგიური გაანგარიშების საფუძველზე, შედგეს მისი ავარიული დაცლის სადისპეტჩერო გრაფიკები, ისე, რომ წყალდიდობის დროს მისი დაცლა მოხდეს წინასწარ, პიკის დადგომამდე თანდათანობით და არა ერთდროულად, რამაც შეიძლება გამოიწვიოს მის ქვევით წყალმოვარდნის გაძლიერება. წყალსაცავის დროული დაცლა და მოდინებული წყალდიდობის დიდი მასის შეკავება თავიდან აგვაცილებს დიდ ზარალსა და მსხვერპლს. ამიტომ მცირე წყალსაცავების ქსელი პერსპექტივაში უნდა გაიზარდოს. მართალია მათი აშენება დიდ ხარჯებთანაა დაკავშირებული, მაგრამ მთის მცირე მდინარის ერთჯერადმა ადიდებამ შეიძლება უფრო დიდი დანაკარგი გამოიწვიოს, ვიდრე წყალსაცავის აშენებაზე ერთხელ დახარჯული სახსრებია, რომელიც შემდეგ მრავალჯე-

რადად, წლების განმავლობაში, მისი სწორი ექსპლუატაციის პირობებში, დაიცავს გარემოსა და მოსახლეობას წყლის სტიქიისაგან. თვით წყალსაცავი კი მრავალმხრივ შეიძლება გამოყენებული იყოს ქვეყნის ეკონომიკის გასაუმჯობესებლად.

ვინაიდან საქართველოში ვერც ახალი წყალსაცავების აშენება და ვერც ტყეების გაშენება ვერ მოხერხდება მოკლე დროში, ამიტომ წყალდიდობებისაგან თავდაცვის მიზნით, აუცილებელია, ტარდებოდეს შემდეგი ღონისძიებები: რეგულარულად იწმინდებოდეს და ღრმავდებოდეს მდინარეთა კალაპოტები, ამოღებული ქვა-ღორდით კი დაშენდეს ნაპირსამაგრი ნაგებობები; გაყვანილი უნდა იყოს წყალგადამგდები არხები, რომლებიდანაც მოხდება წყლის გადადინება უსაფრთხო ადგილებში.

მდინარის პირას დასახლებულ ადგილებზე, წყლის სტიქიისაგან თავდაცვის მიზნით, ყველაზე მისაღები და ადვილად მისაწვდომი მეთოდია წყალდიდობებისა და წყალმოვარდნების დატბორვის საზღვრების დადგენა და ამ ტერიტორიის საშიშ ზონად გამოცხადება, სადაც აიკრძალება სამოსახლო და სხვა ნაგებობების მშენებლობა და ყოველგვარი სამეურნეო და საყოფაცხოვრებო საქმიანობა.

გარემოს ეკოლოგიური მდგრადობის, მოსახლეობის უსაფრთხოების, წყალსამეურნეო ობიექტების (ჰიდროელექტროსადგურები, წყალმომარაგებისა და სარწყავი სისტემები), სარკინიგზო და საავტომობილო გზების, სასოფლო-სამეურნეო ნათესების დატბორვისა და სხვა საშიშროებისაგან თავდაცვისა და ზარალის შემცირების მიზნით, ყველაზე მნიშვნელოვანია წყალდიდობებისა და მათი მაქსიმალური ხარჯების პროგნოზირება. ჩვენ მიერ შემუშავებულია მდინარეთა წყალდიდობებისა და მათი მაქსიმალური ხარჯების გრძელვადიანი საპროგნოზო მეთოდები, რომლებიც აუცილებელია, აგრეთვე, წყლის რესურსების რაციონალურად გამოყენების დაგეგმარებისა და წყალსაცავების ეფექტური და უსაფრთხო ექსპლუატაციისათვის.

პროგნოზების შედგენით მართალია სტიქია ვერ აღიკვეთება, მაგრამ შეიძლება მისი ნეგატიური ზეგავლენის შემცირება. წყალდიდობების მაქსიმალური ხარჯების გრძელვადიანი პროგნოზის წინსწრება (1-3 თვე) საშუალებას იძლევა, მოსალოდნელი წყლის უდიდესი მაღალი პიკის შემთხვევაში, დროულად ჩატარდეს ყველა პრევენციული ღონისძიება, რათა დაცული იყოს ყველა ობიექტი და არ მოხდეს გაუთვალისწინებელი ზარალი და მსხვერპლი. ამიტომ მდინარეთა მაქსიმალური ხარჯების პროგნოზი, თუნდაც

საორინტაციოდ კონსულტაციის სახით, სასწრაფოდ უნდა გადაეცეს შესაბამის ორგანიზაციებს, რათა დროულად მოხდეს მოსახლეობის გაფრთხილება და, საჭიროების შემთხვევაში, ოპერატორები ჩატარდეს მათი ევაკუაცია და მატერიალური ფასეულობების უსაფრთხოების უზრუნველყოფა. ამასთან ერთად, უნდა მოხდეს წყალსაცავების თანდათანობითი დაცლა წყლის მაღალი ნაკადის მისაღებად.

ადსანიშნავია ის ფაქტი, რომ უპირველეს ცნობას მდინარეთა ხეობებში საშიში მოვლენების შესახებ იძლევა მთის მოსახლეობა, როცა ხდება ისეთი უჩვეულო მოვლენების განვითარება, როგორიცაა გამაყრუებელი და შემზარავი გუგუნი, ან მტვრის კორიანტელი, ან მდინარის დონეების შეწყვეტა ხეობის ჩახერგვის შემთხვევაში და სხვა. ასეთი ცნობების მიღებისთანავე, სასწრაფოდ უნდა გამოცხადდეს განგაში და მობილიზებული იქნეს ყველა შესაბამისი ორგანიზაცია საჭირო პრევენციული ღონისძიებების ჩასატარებლად.

სადღეისოდ, გლობალური დათბობის ფონზე, კავკასიონის მყინვარულ რეგიონებში, ზაფხულობით, მასობრივად ხდება მყინვარებისა და მარადი თოვლის დნობა და წვიმის საზღვარმა (4000 მ.) მაღლა აიწია. იქ, სადაც ადრე მხოლოდ თოვლი მოდიოდა, ახლა წვიმს და ამიტომ მყინვარები შეთხელებულია. ამ მიზეზით 2002 წელს მდ.კარმადონის ხეობაში მყინვარი „კოლკა“ უეცრად მოწყდა და იქ მყოფი მრავალი ტურისტი ადგილზე ჩამარხა.

ასეთი მოულოდნელი კატასტროფებისაგან დაზღვევის მიზნით, აუცილებელია ჰიდრომეტეოროლოგიურ ქსელთან ერთად შეიქმნას რადიოლოკაციური და დისტანციური ზონდირების ქსელი, რეგულარულად უნდა დამუშავდეს, აგრეთვე, დედამიწის ხელოვნური თანამგზავრებისა და აეროფოტოგადაღების სურათებიც. მათი სათანადო მეცნიერული ანალიზის საფუძველზე შესაძლებელი იქნება ანომალიური პროცესების პროგნოზის შედგენა.

დ ა ს კ ვ ნ ე ბ ი

1. შესწავლითია საქართველოს მდინარეთა წყალდიდობები და მათი მაქსიმალური ხარჯები. დაზუსტებულია მათი ნორმები, ექსტრემალური მნიშვნელობები, ცვალებადობის კოეფიციენტები და სხვა სტატისტიკური მახასიათებლები. დადგენილია წყალდიდობების დაწყების, დამთავრების თარიღები და ხანგრძლივობა, აგრეთვე პიკების დადგომის თარიღები.

შესწავლელ მდინარეთა წყალდიდობების ჩამონადენის განსაზღვრისათვის გარკვეულ ტერიტორიაზე მიღებულია მარტივი ემპირიული ფორმულები მათი აუზების ფართობისა ან საშუალო წლიური ჩამონადენის გათვალისწინებით.

2. 47 მნიშვნელოვანი პიდროკვეთისათვის გარკვეული კვლევის შედეგად გაანგარიშებულია მდინარეთა წყალდიდობების უდიდესი მაქსიმალური ხარჯების ალბათური მნიშვნელობები სხვადასხვა (0.01; 0.1; 1; 2; 10) %-იანი უზრუნველყოფით და შესაბამისი (1000, 100, 20, 10, 5) წლიანი განმეორებადობით.

3. წყალდიდობის ჩამონადენისა და უხვწყლიანი თვის პროცენტული წილის გათვალისწინებით წლიური ჩამონადენიდან მოხდა ტერიტორიის დარაიონება და შედგენილია რუკა, რომლის მიხედვით შეიძლება განისაზღვროს ნებისმიერი მდინარის წყალდიდობისა და მაქსიმალური წყლიანობის თვის ჩამონადენის მნიშვნელობა. რუკა გამოქვეყნებულია “საქართველოს ეროვნულ ატლასში”.

ყველა ზემოთ ჩამოთვლილ მონაცემებს აქვთ დიდი პრაქტიკული დანიშნულება საპროექტო ორგანიზაციებში წყალსამეურნეო გაანგარიშებებისათვის, განსაკუთრებით ეხლა, როცა საქართველოში რამდენიმე პიდროკვეთზე-და ხდება მხოლოდ წყლის დონეების გაზომვა.

4. კლიმატის გლობალური დათბობის მოქმედების შესაფასებლად მდინარეთა ჩამონადენზე, გაანგარიშებულია წყალმოვარდნის აქტივობის კოეფიციენტები, რომლებიც რამდენჯერმე აჭარბებს ადრე 1975 წლამდე არსებულ მონაცემებით გამოთვლილ მნიშვნელობებს. ეს მიუთითებს იმაზე, რომ იზრდება წყალდიდობებით გამოწვეული სტიქის ალბათობები.

გამოკვლეულია აგრეთვე მდინარეთა მაქსიმალური ხარჯების მრავალწლიური ცვლილების დინამიკა. კლიმატის ცვლილების ზემოქმედებით პიდროლოგიურ პროცესებში XX საუკუნის მეორე ნახევრიდან უკვე კარგად იკვეთება გარკვეული ტენდენციები, მაგრამ ჩვენს შემთხვევაში დაკვირვებათა მონაცემები მხოლოდ 1990 წლამდეა. მიუხედავად ამისა, მდინარეებზე მდინარეთა

ჩამონადენის ცვლილების ტენდენციებით მიღებულია ტრენდები და მათი შესაბამისი ანალიტიკური გამოსახულებები.

5. მოსალოდნელი სტიქიისაგან თავდაცვის მიზნით ყველაზე მნიშვნელოვანი არის წყალდიდობების გრძელვადიანი საპროგნოზო მეთოდების შემუშავება, რომლებიც აუცილებელია აგრეთვე წყლის რესურსების რაციონალური გამოყენებისა და წყალსაცავების ეფექტური და უსაფრთხო ექსპლუატაციისათვის. ნაშრომში აღწერილია ავტორის მიერ შემუშავებული პროგნოზირების მეთოდოლოგია, რომელიც ეყრდნობა ჩამონადენის მრავალფაქტორიან სტატისტიკურ მოდელს.

6. მდინარეთა მაქსიმალურ ხარჯებზე ფაქტორთა კომპლექსური მოქმედების სათანადო ანალიზით შედგენილ იქნა ოპტიმალური საპროგნოზო მოდელები, რომელთა განსაზღვრის შედეგად მიღებულია სხვადასხვა მონაცემების შემცველი საპროგნოზო განტოლებები, რაც საშუალებას იძლევა ოპერატიული პროგნოზების შედგენის დროს შეირჩეს ისინი არსებული ინფორმაციის, საჭირო წინსწრების ან სიზუსტის მიხედვით.

7. პროგნოზების შემუშავებით მართალია სტიქია არ აღიკვეთება, მაგრამ შეიძლება მისი ნეგატიური ზეგავლენის შერბილება. პროგნოზების წინსწრება (1 - 2 - 3 თვე) საშუალებას იძლევა მოსალოდნელი მაღალი პიკების შემთხვევაში დროულად ჩატარდეს ყველა პრევენციული ღონისძიება, რათა დაცულ იქნეს ყველა ობიექტი და არ მოხდეს გაუთვალისწინებელი ზარალი და მსხვერპლი. ამიტომ მდინარეთა მაქსიმალური ხარჯების პროგნოზი, თუნდაც საორიენტაციოდ კონსულტაციის სახით, სასწრაფოდ უნდა გადაეცეს შესაბამის ორგანიზაციებს, რათა დროულად მოხდეს მოსახლეობის გაფრთხილება და საჭიროების შემთხვევაში ოპერატიულად ჩატარდეს მათი ეგაპუაცია და მატერიალური ფასეულობების უსაფრთხოების უზრუნველყოფა. ამასთან ერთად უნდა მოხდეს წყალსაცავების თანდათანობითი დაცლა შემდგომში წყლის დიდი ნაკადის მისაღებად.

8. განხილულია წყალდიდობებით მიუწებული დიდი ზარალის მიზეზები და დასახულია მომავალში წყლის სტიქიის საშიშროების შერბილების გზები: მდინარეთა აუზებში ტყის საფარის გაფართოება, მცირე წყალსაცავების აშენება, მდინარეთა კალაპოტების გაწმენდა – გადრმავება, ამოღებული მასალით კი ნაპირდამცავი ნაგებობების გამაგრება – დაშენება, მთისძირა წყალგადამგდები არხების გაყვანა და წყალდიდობების დატორვის საზღვრების

დადგენა, სადაც აიკრძალება სამოსახლო და სხვა ნაგებობების მშენებლობა და სამეურნეო საქმიანობა.

9. პერსაექტივაში სტიქიური პიდრომეტეოროლოგიური საპროგნოზო მეთოდების სრულყოფისათვის აუცილებელია პიდრომეტეოროლოგიურ ქსელთან ერთად შეიქმნას რადიოლოკაციურ და დისტანციური ზონდირების ქსელი. აგრეთვე რეგულარულად უნდა შემუშავდეს თანამგზავრებისა და აეროფოტოგადაღების სურათებიც, რომელთა ანალიზით შესაძლებელი იქნება ანომალური პროცესების პროგნოზების შემუშავება. მაგრამ ახალი სახის ინფორმაციის საფუძველზე პიდროლოგიური პროგნოზების შესამუშავებლად მთის პირობებში საჭირო იქნება მონაცემების დაგროვება წლების განმავლობაში. მანამდე კი უნდა იმოქმედოს საპროგნოზო მეთოდებმა, რომლებიც ეყრდნობიან არსებულ სტანდარტულ დაკვირვების მონაცემს.

ლ 0 ტ ე რ ა ტ უ რ ა

1. ცომაია ვ., კატასტროფული წყალმოვარდნების მაქსიმალური ხარჯი მდინარე რიონზე, წიგნში: ეროზიულ-დგარცოფული მოვლენები და ზოგიერთი მომიჯნავე პრობლემები. თბილისი, საერთაშორისო კონფერენციის სამეცნიერო შრომათა კრებული. 2001, 224-228.
2. Водные Ресурсы Закавказья, Под редакцией Сванидзе Г.Г., Цомая В.Ш., Ленинград, Гидрометеоиздат, 1988, 264.
3. გაჩეჩილაძე გ., ცომაია ვ., ქიტიაშვილი ლ., გორგიჯანიძე ს., ბეგალიშვილი ნ.ნ. კატასტროფული წყალმოვარდნების წყლის მაქსიმალური ხარჯების გაანგარიშებისა და პროგნოზირების შესაძლებლობა ტებრუანვის პარამეტრების გამოყენების საფუძველზე დაკვირვების პუნქტების დახურვის პირობებში. პიდრომეტეოროლოგიის ინსტიტუტის შრომები, 2008, გ. 115, 417-425.
4. Цомая В.Ш. Исследование условий формирования и статистический анализ ливневых паводков рек черноморского побережья Аджарии. Тр. ЗакНИГМИ, 1986, вып. 85 (92), Москва, Гидрометеоиздат, 31-46.
5. ბასილაშვილი ვ., ტაბატაძე ჯ., ჯანელიძე მ., წყალდიდობა-წყალმოვარდნების კატასტროფული გამოვლინებები დასავლეთ საქართველოს მდინარეებზე. საერთაშორისო სამეცნიერო-ტექნიკური კონფერენციის მასალები, თბილისი, საქართველოს ტექნიკური უნივერსიტეტის პიდრომეტეოროლოგიის ინსტიტუტის შრომები, 2011, გ.117, 53-56.
6. ბასილაშვილი ვ., სალუქვაძე მ., ცომაია ვ., ხერხეულიძე გ. კატასტროფული წყალდიდობები, ღვარცოფები და თოვლის ზვავები საქართველოში და მათი უსაფრთხოება. საქართველოს ტექნიკური უნივერსიტეტი, თბილისი, 2012, 244.
7. Сванидзе Г.Г., Хмаладзе Г.Н. Паводки и наводнения, в кн. Опасные Гидрометеорологические явления на Кавказе. Ленинград, Гидрометеоиздат, 1983, 194-210.
8. ცანავა ლ., კატასტროფული წყალდიდობები მდინარე მტკვარზე, წიგნში: ეროზიულ-დგარცოფული მოვლენები და ზოგიერთი მომიჯნავე პრობლემები. თბილისი, საერთაშორისო კონფერენციის სამეცნიერო შრომათა კრებული, 2001, 220-223.
9. Ресурсы поверхностных вод СССР, Том 9, вып. 1, под редакцией Г.Н. Хмаладзе, Ленинград, Гидрометеоиздат, 1969, 313 с.

10. Ресурсы поверхностных вод СССР (Гидрографические описания рек, озёр и водохранилищ). Том 9, вып. 1. Под редакцией В.Ш. Цомая, Ленинград, Гидрометеоиздат, 1974, 577.
11. Государственный водный кадастр, Многолетние данные о режиме и ресурсах поверхностных вод суши. Том 6, Грузинская ССР, Ленинград, Гидрометеоиздат, 1987, 416.
12. Хмаладзе Г.Н. Гидрология внутренних вод г. Тбилиси. Труды ТбНИГМИ, Москва, Гидрометеоиздат, 1959, вып.6, 88-128.
13. Цомая В.Ш., Сресели С.С., Пицхелаури З.С. Наводнение на р. Ксани в пределах сел Ксовриси и Мухрани. Тр. ЗакНИГМИ, Москва, Гидрометеоиздат, 1992, вып. 84 (91), 57-74.
14. ბასილაშვილი ვ., ტაბატაძე ჯ., ჯანელიძე გ., კატასტროფული წყალდიდობები აღმოსავლეთ საქართველოში. საერთაშორისო კონფერენციის მასალები „გარემო და გლობალური დათბობა”, თბილისი, ვახუშტი ბაგრატიონის გეოგრაფიის ინსტიტუტი, შრომათა კრებული, 2011, ახალი სერია 3 (82), 241-246.
15. ელიზბარაშვილი ე. საქართველოს კლიმატური რესურსები, თბილისი, პიდრომეტეოროლოგიის ინსტიტუტი, 2007, 328.
16. Климат и климатические ресурсы Грузии, Ленинград, Гидрометеоиздат, Труды ЗакНИГМИ, 1971, вып. 44(50), 383.
17. ბასილაშვილი ვ., 2008: საქართველოს მდინარეთა წყალდიდობების მახასიათებლები და კატასტროფების თავიდან აცილების საკითხები, საერთაშორისო კონფერენციის მასალები „კლიმატი, ბუნებრივი რესურსები, სტიქიური კატასტროფები სამხრეთ გავკასიაში”, თბილისი, პიდრომეტეოროლოგიის ინსტიტუტის შრომები, გ. 115, 313-321.
18. ბასილაშვილი ვ. – წყალდიდობის ჩამონადენი (რუკა), წყალდიდობის დაწყების თარიღები (რუკა). საქართველოს ეროვნული ატლასი, თბილისი, 2012, გვ. 86.
19. ბასილაშვილი ვ. – ტერიტორიის დარაიონება ჩამონადენის შიდაწლიური განაწილების მიხედვით (რუკა). საქართველოს ეროვნული ატლასი, თბილისი, 2012, გვ. 84.
20. ბასილაშვილი ვ. – მდინარეთა ჩამონადენის შიდაწლიური განაწილება. საქართველოს ეროვნული ატლასი, თბილისი, 2012, გვ. 85.
21. Basilashvili Ts.Z. Method of mountainous river water flow forecasts. Annals of Agrarian Science. 2006, vol. 4, № 1, 75-80.

22. Basilashvili Ts.Z. The method of Working - out Hydrological Prognosis in Conditions of limited Information. Bulletin of the Georgian Academy of Sciences. vol.162, № 1, 2000, Tbilisi, 110-112.
23. Алексеев Г.А. Объективные методы выравнивания и нормализации корреляционных связей. Л., Гидрометеоиздат, 1971, 363с.
24. Езекиел М., Фокс К. Методы анализа корреляции и регрессий. М., Статистика, 1966, 557 с.
25. Дрейпер Н., Смит Г. Прикладной регрессионный анализ. М., Статистика, 1973, 392с.
26. Наставление по службе прогнозов. Раздел 3, часть 1, Гидрометеоиздат, Л., 1962.
27. Басилашвили Ц.З. Статистический анализ переменных и выбор предикторов для прогностических зависимостей. В книге: Аннотированный указатель алгоритмов и программ. Обнинск, ВНИИГМИ - МЦД, 1977, с. 43.
28. Басилашвили Ц.З., Плоткина И.Г. Определение многофакторных зависимостей с развертыванием уравнения, оценка их качества и расчёт вероятностных прогнозов. В книге: Аннотированный перечень новых поступлений в ОФАП Госкомгидромета. Обнинск, ВНИИГМИ - МЦД, 1985, вып. 4, с. 21.
29. ბასილაშვილი ც. მრავალფაქტორიანი სტატისტიკური მეთოდოლოგია წყალდიდობა – წყალმოვარდნების პროგნოზირებისათვის. “ტექნიკური უნივერსიტეტი”, თბილისი, 2013, 180.
30. ბასილაშვილი ც., მამასახლისი ჟ., ვანწელიძე ჯ. წყალდიდობის მაქსიმალური ხარჯების გრძელვადიანი პროგნოზირება რთული პიდროლოგიური რეკიმის პირობებში (მდ. რიონის მაგალითზე). წგ: აგრარული მეცნიერების პრობლემები, თბილისი – ერევანი, 1999, 293 – 297.
31. ბასილაშვილი ც. წყალდიდობის მაქსიმალური ხარჯების პროგნოზირება. პიდრომეტეოროლოგიის ინსტიტუტის შრომები, ტ. 101, თბილისი, 1996, 93 – 98.
32. სვანიძე გ., ცომაია ვ., მესხია რ. საქართველოს წყლის რესურსების მოწყვლადობა და ადაპტაციის დონისძიებები, თბილისი, პიდრომეტეოროლოგიის ინსტიტუტის შრომები, 2001, ტ. 106, 11-30.
33. Basilashvili Ts., Bolashvili N., Tabatadze D., Janelidze M., Floods on the mountain rivers and their safety 10th Baku International Congress “Energy, Ecology, Economy”, Baku, 2009, 214-217.
34. Basilashvili Ts.Z., Tabatadze J.G., Janelidze M.G., Ways of alleviating disasters caused by mountainous rivers flooding. Annals of Agrarian Science. 2010, Vol. № 4, 54-56.

35. Басилашвили Ц.З., Табатадзе Д.Г., Джанелидзе М.Г., Мероприятия по устраниению опасности водной стихии в горных условиях. В книге: География: Проблемы науки и образования. Санкт-Петербург, 2011, 74-76.
36. Tsisana Basilashvili, Jarji Tabatadze, Magda Janelidze, Prevention of High Water Floods of the Mountainous Rivers. The 2nd international geography symposium. GEOMED 2010, http://www.elsevier.com/wps/find/electronicproductdescription.cws_home/.
37. Basilashvili Tsisana, Tabatadze Jarji, Janelidze Magdana. River Water regulation under Modern Climate Change Conditions. Environment and Ecology in the Mediterranean Region. Book chapter by Cambridge Scholars Publishing. U.K. Editor Prof. Dr.Recep Efe, 2011, 347-352.
38. გობექია გ., ინჟინრულ-ეკოლოგიური მიდგომა წყლის რესურსების რაციონალური გამოყენებისა და დაცვის პრობლემებისადმი. თბილისი, “ენერგია”, 1996, № 2.
39. Колесников В.И., Экология и водные отношения Грузии. Тбилиси, Мецниереба, 1992, 182.
40. შირცხულავა ც., წყალდიდობა და მასთან ბრძოლა. თბილისი, “ცოდნა”, 1987, 31.
41. სვანიძე გ., ცომაია., მესხია რ. და სხვა, წყლის რესურსების მოწყველადობა. წიგნში: საქართველოს პირველი ეროვნული შეტყობინება გაეროს კლიმატის ცვლილების ჩარჩო კონვენციაზე. თბილისი, 1999, 93-100.
42. ბასილაშვილი ც. წყალსაცავებში ჩამდინარე წყლების პროგნოზირება შეზღუდული ინფორმაციის პირობებში. თბილისი, პიდრომეტეოროლოგიის ინსტიტუტის შრომები, 2001, გ.106, 170-176.
43. Basilashvili Ts., Forecasting of the river run-off under the lack of current hydrological information. Bulletin of the Georgian Academy of Sciences, Vol. 163, 2001, № 3, 498-500.
44. Басилашвили Ц.З., Половодья на р.Куре и их прогнозирование в целях рационального использования водных ресурсов и обеспечения безопасности природно-хозяйственных систем. Баку, Труды Географического общества Азербайджана, 2009, Том. XIV, 242-246.
45. Basilashvili Ts., Bolashvili N., Maximum discharges of the Mtkvari river and their forecasting for security of Tbilisi, Georgia. International Symposium on “Floods and Modern Methods of Control Measures”, Tbilisi, 2009, 37-45.